

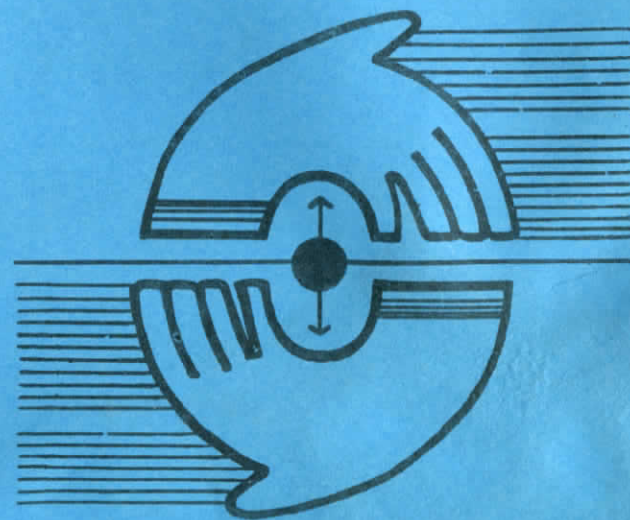
70к



Издательство  
Саратовского  
университета

Д818324

# ВОПРОСЫ ПРИКЛАДНОЙ ФИЗИКИ



ВОПРОСЫ ПРИКЛАДНОЙ ФИЗИКИ

Флуктуационные и диссипативные системы

Межузовский научный сборник

В ы п у с к I

Издательство Саратовского университета  
1989

УДК 519.95:536.7

В 748 ВОПРОСЫ ПРИКЛАДНОЙ ФИЗИКИ. Флукуационные и диссипативные системы. Межуз. науч. сб. Изд-во Саратов. ун-та. 1989. Вып. I. 80 с.

Рассмотрены флукуационные и диссипативные процессы в разнообразных физических системах. На основе введенных физико-статистических моделей определены вероятностные характеристики радиодизельских и оптических объектов. Приводятся расчеты процессов тепло- и массопереноса, термоактивационного разрушения. Представлены результаты теоретических и экспериментальных исследований.

Для специалистов в области флукуационных и диссипативных процессов, а также для аспирантов и студентов-физиков старших курсов.

Редакционная коллегия:

И.М.Блейнас, А.Д.Денискин, В.С.Кочелев (отв. редактор), О.Г.Мар-  
тынченко, Л.М.Минкин (отв. секретарь), В.В.Тучин, Г.М.Цымбалов,  
А.С.Шаповалов, В.Н.Шевцов, М.Г.Эпштейн.

В 2004040000 - 766/46 - 89 © Издательство  
176(02) - 89 Саратовского  
ISBN 5-292-00768-4 университета, 1989

A818324



УДК 538.56-535

В.М.Аликин, А.Ф.Голубеншев  
О СТАТИСТИЧЕСКОМ ОПИСАНИИ РЕЛЬЕФОВ  
КВАЗИПЕРИОДИЧЕСКИХ РАДИОФИЗИЧЕСКИХ И ОПТИЧЕСКИХ СТРУКТУР

Периодические структуры - широко распространенные элементы приборов и устройств радиопизики, оптики, электроники (в том числе квантовой), оптоэлектроники, рентгенооптики, ядерной физики. В качестве примеров можно назвать оптические дифракционные решетки с заданными законами амплитудной и фазовой модуляции, находящие многофункциональные применения периодически возмущенные волноводные системы интегральной оптики, тонкопленочные дифракционные интерференционные покрытия и замедляющие оптоэлектронные зеркала, электронно-фокусирующие и замедляющие оптоэлектронные СВЧ с длительным электронно-волновым взаимодействием, ускоряющие структуры мощных линейных ускорителей ионов и т.д. Природа периодического возмущения в перечисленных структурах может быть различной - рельеф, геометрическая модульность (сенционность), модуляция показателя преломления, поглощения, усечения.

Признаком идеальности (качества) структур является ее строгая периодичность. Однако на практике по технологическим причинам идеальные ячейки периодических структур не являются абсолютно строго идентичными и испытывают вероятностный разброс своих геометрических и физических характеристик. Тем или иным дестабилизирующим факторам подвержена любая технология.

Рельефные структуры оптического диапазона изготавливаются путем механической нарезки, травления или напыления в вакууме через маску, а также голографическими способами. Качество гравируемых оптических решеток определяется степенью постоянства рельефа структуры и слабостью параметров работы дельтальной машины [1]. На воспроизводимость параметров голографических ре-

и магнитных ячеек, а также сборки приводят к нарушению симметрии распределения индукции магнитного поля вдоль оси электронной линзы [9,10]. Из-за несовершенства геометрии замедляющих систем возникает флуктуация их электродинамических характеристик при переходе от одной ячейке к другой [11]. Случайные отклонения при изготовлении ускоряющих модулей и установке сорванных из них секций в высокоэнергетической части линейных ускорителей понов могут негативно повлиять на динамику ускоренного пучка [12].

В работах, учитывающих несовершенство "периодических" структур, вместо турминов "периодическая" и "период" как приложения (уточнения) используются соответственно понятия "квазипериодическая" и "квазипериод". Статистика "квазипериода" в рамках одной из статистических моделей подробно рассмотрена в [11,13].

Под категорию квазипериодических структур можно, очевидно, подвести не только целенаправленно формируемые структуры как функциональные компоненты различных устройств, но и те, которые возникают неконтролируемо в результате случайных нестабильностей технологических режимов изготовления регулярных (в идеале) объектов. Так, флуктуации температуры и скорости вытяжки приводят к экспериментально наблюдаемым нежелательным вариациям диаметра и распределения показателя преломления волоконных световодов [14,15]. Квазипериодические микрорельефы могут возникнуть при обработке оптических поверхностей (их полировании, напылении покрытий [16]). Периодические структуры на поверхности металлов, полупроводников и диэлектриков, возникающие под действием мощного оптического излучения [17], фотоиндуцированное релаксационное оптическое излучение [17], фотоиндуцированное релаксационное оптическое излучение при действии поляризованного когерентного излучения на тонкие фоточувствительные слои [16], также могут найти свое рассмотрение как квазипериодические планарные структуры.

Учет фактора отсутствия строгой периодичности в реальных структурах приводит к естественной постановке ряда взаимосвязанных задач:

анализа влияния случайного разброса физико-геометрических параметров квазипериодических структур на процессы в них физических процессов;

оптимизации профиля структуры или сборки периодической системы из отдельных секций с целью максимального устранения влияния

шесток влияют случайные дестабилизирующие явления, возникающие в процессе синтеза слоя светочувствительного покрытия на оптической заготовке, его экспонирования и проявления (например, отклонения от стационарности интерференционной картины и равномерности освещенности рабочей зоны, наличие отражений света во время регистрации голограмм, внутренняя светочувствительность слоя, отклонения от оптимальных времен экспонирования к последующей технологической обработке, появление локальных оптических неоднородностей), а также несовершенство оптической заготовки (ее шероховатость и пористость) [2,3].

Для записи рельефных голографических решеток в тонкопленочных регистрационных средах на основе теллового механизма регистрации (с испарением пленки с поверхности подложки) необходима соответствующая оптимизация оптического импульсного воздействия, периода интерференционной картины, плотности энергии воздействия пучков, характеристики тонкопленочной системы [4]. Хотя существуют отработанные экспериментальные методики травления поверхностей волноводной пленки и подложки через предварительно подготовленную фоторезистивную маску, воспроизводимость рельефа гофрированной структуры не является стабильной: имеет место заметные вариации глубины гофра вдоль одного штриха, при переходе от одного штриха к другому, от одной решетки к другой [5]. Строгая регулярность распределения показателя преломления в термостимулируемых решетках [6] и решетках, образованных в результате диффузии [7], определяется, очевидно, качеством эквидистантности базовых элементов решеток и полюсов диффузанта этих структур.

Несмотря на достигнутые успехи в изготовлении многослойных тонкопленочных структур, реально обеспечиваемых простейшими чистотой модуляцией физических характеристик твердого тела с периодом в несколько десятков или сотен ангстрем, их параметры (коэффициенты отражения  $M-C$  рентгеновских зеркал) еще далеки от теоретического предела. Технологические несовершенства могут проявляться в случайном разбросе толщин слоев, образовании межслойных шероховатостей со статистическими свойствами, взаимном проникновении материалов за счет имплантации атомов при нанесении слоев, а также во взаимной диффузии материалов слоев и их химического взаимодействия [8].

Магнитная неоднородность материала в транспортируемых системах приборов СВЧ, дефекты изготовления полюсных наконечников

ния квазипериодичности; установления связи между статистиками "первичных" (атрибутов квазипериодических систем) и "выходных" (относящихся к отдельному узлу или устройству в целом) характеристик;

построения теории воспроизводимости параметров функциональных элементов и прибора в целом при массовом производстве;

установления обоснованных допусков на отклонения "первичных" параметров различных функциональных элементов;

прогнозирование процента выхода годных конструкций (серийности) и их надежности (немаловажных показателей для экономики);

диагностирования отдельных функциональных элементов с целью определения степени их отклонения от "эталона" (причем, на возможно более ранней стадии их создания).

Для решения очерченной выше задачи статистической модели рассматриваемой квазипериодической структуры. Несмотря на очевидную разнородность по компонентам и назначению названных выше объектов, профили квазипериодического возмущения многих из них могут анализироваться с точки зрения единых модельных представлений. Введем аппроксимирующие функции одной линейной, которые могут описывать профили отражательных гравированных и голографических дифракционных решеток с гладкой формой штриха [19]; законы амплитудной и фазовой модуляции одномерных оптических транспарантов; профили гофрированных оптических волноводов с различной формой штриха (в том числе, используемых в качестве спектрально-селективных элементов в приборах квантовой электроники [20-23]); распределение дифракционного покрытия; распределение электродинамических характеристик вдоль СВЧ замедляющей системы; квазипериодический рельеф на оптической поверхности; возникшей в результате ее полировки (нанесения покрытия); пространственную модуляцию энергоотделения на поверхности конденсированной среды под действием мощного оптического излучения и т.д.

Итак, рассмотрим одномерную структуру с профилем  $Z(x)$ . В зависимости от изучаемой структуры  $Z(x)$  может изображать себе члене дифракционной решетки или гофрированного волновода, закон модуляции и т.д. Точки  $Z(x)$  отмечают границы отдельных ячеек, композиция которых образует денную квазипериодическую структуру.

Точки  $Z_k$  внутри отдельных ячеек отделяет области положительных и отрицательных значений  $Z(x)$ . Выбор подсобного "среднего" уровня для отсчета  $Z(x)$  позволяет учитывать флуктуации геометрии как "выступов", так и "впадин". При отсутствии флуктуаций уровня "впадин" можно рассматривать сугубо положительные профили  $Z(x)$ . Величины  $d_k = Z_k - Z_{k-1}$  и  $d_k = Z_k - Z_{k-2}$  обозначают величины соответствующих "полупериодов", так что длина  $K$ -й ячейки  $d_k = d_k + d_{k-1}$ .

С учетом технологических погрешностей формирования структуры функции  $Z(x)$  следует рассматривать как случайную, что определяется случайный характер местоположения точек  $Z_k, Z_k$ ; случайный характер величин  $d_k, d_k$ ; случайную геометрию профиля на отдельных ячейках структуры.

С целью конкретизации вероятностного поведения выделенных выше случайных параметров предположим вероятностную идентичность и в то же время независимость условий формирования отдельных ячеек квазипериодической системы. Это позволяет описать случайные характеристики отдельной ячейки функциями и законами распределения, не зависящими от номера ячейки. Так, в предположении статистической независимости случайных величин  $d_k$  и  $d_k$  величины  $d_k = d_k + d_k$  и  $d_k = d_k + d_k$  имеют смысл сумм независимых случайных величин и описываются соответствующими композиционными распределениями вероятностей. Далее, форму "выступов" и "впадин" можно описать единообразно с помощью соответствующих случайных функций. Деформацию профиля будем учитывать следующими образом. Положим, что заданный профиль ячейки сохраняется на протяжении всей системы, но его геометрические параметры случайным образом варьируются в пределах каждой ячейки: "расширены" или "сжаты" импульса, задающего профиль, определяются случайным характером величин  $d_k$  и  $d_k$ , а за флуктуации его амплитуды ответственны некоторые Бесомогатские параметры-сложения  $-d_k$  и  $d_k$ .

В этих предположениях профиль структуры  $Z(x)$  может быть описан случайной функцией:

$$Z(x) = \sum_{k=1}^N d_k \delta(x - d_k) + d_k \delta(x - d_k) \quad (1)$$

которая может трактоваться как непрерывная последовательность импульсов, следующих друг за другом. Здесь  $d_k$  и  $d_k$  - детерминированные функции, задающие соответственно форму положительных

Винеровский спектр  $Z(x)$  определяется обратным преобразованием Фурье от (3).

Будем рассматривать симметричные профили, когда  $V_2(x) = V_2(-x) = |x|^\alpha, M(\omega) = M(\omega^*) = \alpha, M(\xi) = M(\xi^*) = \alpha/2$ . считая одинаково распределенными  $\alpha_1$  и  $\alpha_2$ , а также  $\alpha_1$  и  $\alpha_2$ . Вводя в рассмотрение  $\tilde{V}(\omega)$  (преобразование Фурье функции  $V(x)$ ), для винеровского спектра профиля квазиериодической структуры получим:

$$\int_{-\infty}^{\infty} \int_{-\infty}^{\infty} S_Z(\omega) = (1-\delta(\omega)) M(\xi) \tilde{V}(\omega \xi) / \xi^2$$

$$\left| \begin{array}{l} M(\xi) \tilde{V}(\omega \xi) \\ M(\xi) \tilde{V}(\omega \xi) \\ M(\xi) \tilde{V}(\omega \xi) \end{array} \right|, \quad (4)$$

где  $\delta = \delta(\omega/\xi)$  - коэффициент вариации "амплитуды" гофра, а усреднение ведется по случайной величине  $\xi$  (полупериоду структуры). Формула (4) записана для произвольного дифференциального закона  $f(\xi)$  распределения величины полупериода структуры и произвольной функции-фиксатора  $V(x)$  профиля. Если конкретизовать  $f(\xi)$  и  $V(x)$ , выражение для спектра будет в явном виде содержать информацию о статистических характеристиках разброса параметров (полупериода и амплитуды), определенных профилем структуры. В таблице приводятся функции  $V(x)$ , определенные на "открытых" интервалах (0,1),  $\gamma$  их преобразования Фурье  $\tilde{V}(\omega)$  для некоторых характерных профилей квазиериодической структуры - синусоидального, прямоугольного, огибающего треугольного и симметрично трапециoidalного ( $\alpha = 1 - \beta \gamma \omega^2$ ). При записи  $V(x)$  использована функция

$$\tilde{V}(\omega) = \begin{cases} 1 & \text{для } 0 \leq \omega \leq \alpha \\ 0 & \text{для других значений } \omega \end{cases}$$

При переходе к  $\tilde{V}(\omega \xi)$  в выражении для  $S_Z(\omega)$  достаточно заменить  $\omega$  на  $\omega \xi$ .

Таким образом, дано общее модальное представление для различных типов одномерных квазиериодических структур со случайными вариациями параметров и рассчитаны основные флуктуационные характеристики профилей таких структур - корреляционная функция и винеровский спектр.

и отрицательной частотой импульса  $\kappa$ , по определению, отличные от нуля лишь в пределах своих полупериодов, то есть  $V_2(\xi) = |V_2(\xi)| = 0$  для  $\xi < 0$  и  $\xi > 1$ ;  $\alpha_1$  и  $\alpha_2$  - "амплитуды" положительной и отрицательной частот  $\kappa$ -го импульса. В общем случае несимметрично положительной и отрицательной частот импульсы их формы описываются различными функциями  $V_1$  и  $V_2$ . При наличии такой симметрии для задания формы обеих частот импульса может использоваться одна функция-фиксатор -  $V$ :

$$Z(x) = \sum_{\kappa} \left[ \alpha_{\kappa} V \left( \frac{x - x_{\kappa}}{\alpha_{\kappa}} \right) - \beta_{\kappa} V \left( \frac{x - x_{\kappa} - \alpha_{\kappa}}{\alpha_{\kappa}} \right) \right]$$

Проведем расчет статистических характеристик случайной функции  $Z(x)$ . "Расщепляя" в (1) переменные  $\alpha_1, \alpha_2$  и  $x_{\kappa}$ , получим:

$$Z(x) = \int_{-\infty}^{\infty} dt \sum_{\kappa} \left[ \alpha_{\kappa} V_1 \left( \frac{x-t}{\alpha_{\kappa}} \right) - \beta_{\kappa} V_2 \left( \frac{x-t-\alpha_{\kappa}}{\alpha_{\kappa}} \right) \right] f_{\kappa}(x-t)$$

Учитывая, что

$$M[V(x_2 - x_1, t)] = f_{\kappa}(x-t)$$

- плотность вероятности случайной величины  $x_{\kappa}$  (для начальной фиксированной точки  $x_1$  имеем  $f_{\kappa}(x-t) = \delta(x-t-x_{\kappa})$ ),

$$f_{\kappa}(x-t) = \sum_{\kappa} f_{\kappa}(x-t)$$

- "плотность восстановления",

$$\lim_{x \rightarrow \infty} \int_0^x Q(x-u) du = \int_0^x Q(x-u) du$$

- предел, определяемый узловой теоремой восстановления [24] ( $\alpha$  - среднее значение случайной величины  $\alpha_1$ ), запишем выражение для статистических характеристик  $Z(x)$  в асимптотическом приближении [11]. Математическое ожидание

$$M\{Z(x)\} = \int_{-\infty}^{\infty} M \left[ \alpha V_1 \left( \frac{x-t}{\alpha} \right) - \beta V_2 \left( \frac{x-t-\alpha}{\alpha} \right) \right] dx, \quad (2)$$

где случайные величины  $\alpha, \beta, \gamma$  и  $\xi$  имеют законы распределения, сопоставимые с вероятностными законами соответственно величин  $\alpha_1, \beta_1, \alpha_2, \beta_2$ .

Автокорреляционная функция определяется как

$$C_Z(\xi) = \int_{-\infty}^{\infty} M \left[ \left[ \alpha V_1 \left( \frac{x+\xi}{\alpha} \right) - \beta V_2 \left( \frac{x+\xi-\alpha}{\alpha} \right) \right] \left[ \alpha V_1 \left( \frac{x}{\alpha} \right) - \beta V_2 \left( \frac{x-\alpha}{\alpha} \right) \right] \right] dx.$$

$$= \int_{-\infty}^{\infty} \left[ \alpha V_1(x/\alpha) - \beta V_2(x/\alpha) \right] dx.$$

Характеристики профилей

Форма гофра	Спектр $\sqrt{V(\omega)}$
Сinusoidalная, $V(x) = \cos \pi x / \text{rect}(x)$	$\frac{2 \cos(\omega/2)}{\pi} \frac{1}{1 - (\omega/\pi)^2} e^{-j\omega/2}$
Прямоугольная, $V(x) = \text{rect}(x)$	$\frac{1}{\omega} (e^{-j\omega} - 1)$
Трапециальная, $V(x) = 2x \text{rect}(2x) + (2-2x) \text{rect}(2x-1)$	$-\frac{2}{\omega^2} (e^{-j\omega/2} - 1)^2$
Тrapeциальная, $V(x) = x \text{tg} \alpha \text{rect}(x/\alpha) + \text{rect}((x-x_1)/(x_2-x_1)) + (1-x) \text{tg} \alpha \text{rect}((x-x_2)/(1-x_2))$	$\frac{\text{tg} \alpha}{\omega^2} (e^{-j\omega x_2} - e^{-j\omega x_1}) - \frac{e^{-j\omega} - 1}{\omega}$

Прикладная направленность полученных соотношений (2)-(4) может быть связана с решением задачи диагностирования качества структуры с периодически возмущенными характеристиками (геометри, распределения показателя преломления или диэлектрической проницаемости и пр.).

Л и т е р а т у р а

1. Борн М., Вольф Э. Основы оптики. М., 1970.
2. Селезнев В.А., Афанасьева В.Л., Аутно О.А. Голографические дифракционные решетки с частотой штрихов  $3600 \text{ мм}^{-1}$  // Оптико-механическая промышленность. 1982. № 6. С. 60.
3. Толунова М.К., Васильева Н.А., Курякова А.М., Парамонова Т.М., Шарова Л.Б. Особенности голограмм, записанных в слое задубленной обрешеченной желатине, проявленных буферными растворами // Оптико-механическая промышленность. 1987. № 8. С. 39-41.
4. Проценская И.Д., Пешко И.И., Сальнова Е.И., Хланя А.И. Сверхрельефных голографических решеток в тонких пленках прозрачно-неоднородными пучками // ЭТФ. 1987. Т. 57. № 11. С. 2227-2231.
5. Спихальский А.А. Стабилизация характеристик распреде-

ленных брегговских зеркал // ЭТФ. 1987. Т. 57. № 8. С. 1665-1668.  
6. Андрушко Л.М., Вознесенский В.А., Фелинский Г.С. Дифракция поверхностных оптических волн на термостимулированной фазовой решетке в титан-диффузных волноводах в нитрате лития // ЭТФ. 1987. Т. 57. № 1. С. 176-177.

7. Войтенко И.Г., Редько В.Л., Томов А.В. Исследование дифракционных решеток в нитрате лития, полученных диффузией титана и железа // ЭТФ. 1997. Т. 57. № 1. С. 139-141.

8. Платонов Е.А., Полухин Н.И., Селашенко Н.Н., Фраерман А.А. Рентгенооптические исследования характеристик многослойных структур // ЭТФ. 1987. Т. 57. № 11. С. 2192-2199.

9. Голубенцев А.Ф., Глейзер В.В., Минкин Л.М. Деформация электронного пучка в квазипериодическом магнитном поле // Вопросы электроники СВЧ: Мелвуз. науч. сб. Саратов, 1977. Вып. 10.

10. Васичев Е.И. Особенности формирования фокусирующего магнитного поля в многощелевой линзе // Оптико-механическая промышленность. 1982. № 10. С. 19-21.

11. Голубенцев А.Ф., Аникин В.М., Денисов Ю.И. Статистические характеристики замедляющей системы со случайными нарушениями периодичности структуры // Изв. вузов. Радиофизика. 1982. Т. 25. № 3. С. 322-327.

12. Сеничев Ю.В., Шапошникова Е.И. Особенности равновесного движения в линейном ускорителе со ступенчатым изменением фазовой скорости // ЭТФ. 1987. Т. 57. № 6. С. 1092-1100.

13. Голубенцев А.Ф., Аникин В.М., Денисов Ю.И. О модуляции "периода" замедляющей системы, вызванной производственными дефектами изготовления / Саратов, 1982. Деп. в ЦНИИ "Электроника". Реп. № 7807/82.

14. Мидвинтер Дж.Э. Волоконные световоды для передачи информации. М., 1983.

15. Голубенцев А.Ф., Аникин В.М., Денисов Ю.И. О статистическом описании оптических волокон со случайными флуктуациями параметров расщепления показателя преломления // Оптика и спектроскопия. 1984. Т. 56. № 5. С. 974-975.

16. Вахитов Ф.А., Замин Е.М., Тагиров В.Б. Сравнительные исследования оптических свойств медных зеркал, полученных различными способами // Оптико-механическая промышленность. 1987. № 9. С. 36-39.

17. Азманов С.А., Емельянов В.И., Коротеев П.И., Семизногов В.Д. Воздействие мощного лазерного излучения на поверхность по-

относном растяжении образцов силой, увеличивающейся во времени по линейному закону.

Время до разрушения при относном растяжении по закону

$$\sigma(\dot{\epsilon}) = \sigma'(\dot{\epsilon}) \frac{\dot{\epsilon} \tau}{\sigma(\dot{\epsilon}) \tau} = 1, \quad (1)$$

где  $\sigma_p$  — время до разрушения,  $\sigma'(\dot{\epsilon})$  — напряжение при растяжении в момент времени  $\tau$ ,  $\tau$  — температура образца,  $\sigma(\dot{\epsilon})$  — долговечность образца при ползучести.

Соотношение (1) связывает время до разрушения при динамических испытаниях с параметрами разрушения, входящими в уравнение для долговечности при ползучести:

$$\dot{\epsilon} = \dot{\epsilon}_0 \exp \left( \frac{U_0 - \sigma \tau}{RT} \right), \quad (2)$$

Уравнение (1) может быть представлено в виде

$$F(\sigma, \tau) \sigma(\dot{\epsilon}) \tau = \sigma_p, \quad (3)$$

где  $F(\sigma, \tau)$  — предел прочности образца, однозначно связанный с  $\dot{\epsilon}_0$  соотношением  $\sigma(\dot{\epsilon}) \tau = \sigma_p$ .

Зависимость (3) позволяет экспериментально вычислить параметры разрушения  $\sigma_p$ ,  $\dot{\epsilon}_0$  с этой целью по данным температурной зависимости предела прочности, взятым из [2-4], в соответствии с уравнением (3) строились семейства кривых  $\dot{\epsilon} = F(U_0, \tau)$  для различных значений  $\dot{\epsilon}_0$ , причем параметром семейства являлась температура испытаний  $\tau$ . Величина  $\dot{\epsilon}_0$  варьировалась в пределах  $10^{-8} - 10^{-16}$  с. При определенном значении  $\dot{\epsilon}_0$  кривые  $\dot{\epsilon}$  пересекаются в одной точке, координаты которой определяют значения искомого параметра.

В качестве примера на рис. 1 показано семейство кривых  $\dot{\epsilon}$ , полученное для вольтрама при  $\sigma_p = 20$  кг/мм<sup>2</sup> с и  $\dot{\epsilon}_0 = 10^{-13}$  с. Пересечение кривых в одной точке характерно и для других электровакуумных материалов.

Существует критическая температура  $T_{cr}$ , относительно которой семейство кривых  $\dot{\epsilon}$  можно разделить на два подсемейства. В отличие от кривых  $\dot{\epsilon}$  при  $T < T_{cr}$ , которые пересекаются при  $\dot{\epsilon}_0 = 0$ , кривые второго подсемейства пересекаются при  $\dot{\epsilon}_0 \neq 0$ , что отражает переход от термодинамического разрушения к диффузионному механизму. Существование температурной границы показано на рис. 2, где представлена зависимость  $\dot{\epsilon}$  вольтрама от температуры испытаний  $T$  и  $\dot{\epsilon}_0$ , соответствующих

лупроводников и металлов: палейно-оптические эффекты и нелинейно-оптическая диагностика // УФН. 1985. Т. 147. № 4. С. 675-745.

18. Агеев Д.А., Мгославский В.К. Дифракционная решетка. Индуцированная поляризованным светом в тонких пленках  $dy-dy(z) //$  Оптика и спектроскопия. 1984. Т. 57. № 5. С. 916-920.

19. Дмитриева Л.А., Голубенко И.В., Савицкий Г.М. Дифракционная эффективность голографических решеток симметричных профилей // Опτικο-механическая промышленность. 1985. № 1. С. 4-6.

20. Авруцкий И.А., Голубенко Г.А., Скутков В.А., Тшенко А.В. Спектральные и лазерные характеристики зеркала с гофрированным волноводом на его поверхности // Квантовая электроника. 1986. Т. 13. № 8. С. 1629.

21. Авруцкий И.А., Скутков В.А. Отражение света от поверхности двусторонне гофрированного волновода и особенности распространения света в нем // Квантовая электроника. 1987. Т. 14. № 6. С. 1140.

22. Спихальский А.А. Асимметричные распределенные обратные окле зеркала // Квантовая электроника. 1986. Т. 13. № 11. С. 2322.

23. Спихальский А.А. Улучшение характеристик волноводного рашегатого тризатора // Квантовая электроника. 1987. Т. 14. № 7. С. 1415-1419.

24. Кокс Л., Смит В. Теория восстановления. М., 1967.

УДК 621.3

А.А.Скашов  
ОПРЕДЕЛЕНИЕ ТЕРМОАКТИВАЦИОННЫХ ПАРАМЕТРОВ РАЗРУШЕНИЯ ДИНАМИЧЕСКИМ НАГРУЖЕНИЕМ

При прогнозировании длительной прочности электровакуумных материалов необходимо знание параметров разрушения. В [1] описан способ определения постоянной времени  $\tau$ , энергии  $U_0$  и объема  $V$  активации процесса разрушения в условиях ползучести материалов. Однако этот метод требует больших затрат времени на испытания. Существуют два пути сокращения времени испытаний: использование установок с одновременным испытанием большого количества образцов и проведение испытаний в динамических режимах нагружения. В данной работе описан способ определения параметров разрушения по результатам испытаний на долговечность при



точке пересечения кривых  $\delta$  на рис. 1. При  $T_{cr} = 1550$  °С величина  $\delta$  резко падает, что соответствует переходу к диффузионному механизму разрушения. В соответствии с описанным методом были найдены параметры разрушения для цинка, меди, алюминия, никеля и вольфрама. Величина скорости погружения  $\dot{\epsilon} = 20$  кг/мм<sup>2</sup>.с. Зависимость  $\delta_c(T)$  обрабатывалась согласно (3) для случая, когда соотношение (2) представлялось в виде

$$\delta_c = \delta_c \left[ \exp\left(\frac{U_c - \delta_c^2}{RT}\right) - \exp\left(\frac{U_c - \delta_c^2}{2RT}\right) \right]^{-1}, \quad (4)$$

который отличается дополнительным членом, учитывающим восстановление ланне термически разорванных связей при высокой температуре. Зависимость  $\delta$  от температуры учитывалась по формуле  $\delta = \delta_c - C_p T$ , где  $\delta_c$  - средняя теплоемкость при постоянном давлении. Результаты расчетов по (4) приведены в таблице.

Термоактивационные параметры разрушения

Материал	$\delta$ , ккал.мм <sup>2</sup> моль.кг	$U_c$ , ккал/моль	$T_{cr}$ , к	$\delta_c$ , с	формула (4)	формула (6)
Цинк	1,5	35	450	-14	-14	-12
Алюминий	2,5	48	625	-16	-16	-13
Медь	2,5	73	840	-16	-16	-14
Никель	1,9	93	1200	-15	-15	-12
Вольфрам	0,55	143	1550	-16	-16	-13

Значения  $\delta_c$  не совпадают с периодом тепловых колебаний атомов [1]. Это несоответствие исчезает при учете в (4) трехмерности тепловых колебаний атомов в узлах кристаллической решетки.

Наиболее просто это можно сделать, выбрав в качестве модели твердого тела систему связанных гармонических осцилляторов [5]. В рамках этой модели число степеней свободы  $2S$  однозначно определяет теплоемкость твердого тела при постоянном объеме:  $C_v = S k$ . С учетом этого вероятность флуктуации полной энергии осциллятора при  $T > T_c$  будет равна [5]:

$$W = \frac{15kT \exp(-E/T)}{7(C_v/k)} \exp(-E/T), \quad (5)$$

где  $f(T)$  - полная гамма-функция. При одномерном характере колебаний, когда  $C_v = k$ , (5) принимает вид (2):

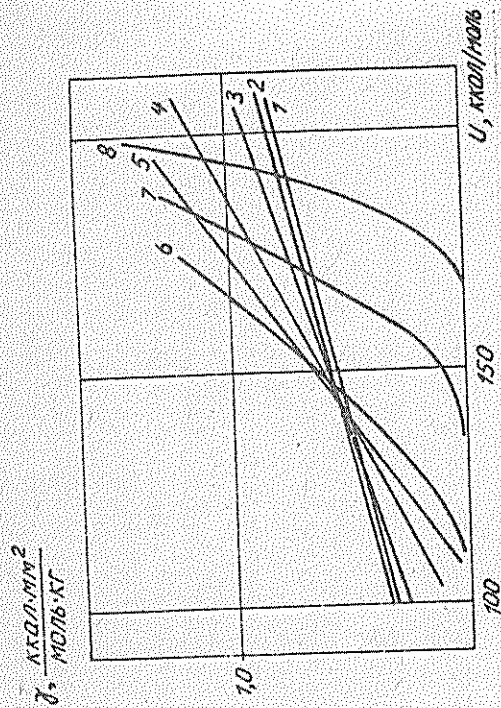


Рис. 1. Семейство кривых  $\delta$  для вольфрама при температуре (по Кельвину): 1 - 293, 2 - 473, 3 - 673, 4 - 1073, 5 - 1273, 6 - 1473, 7 - 1773, 8 - 2073

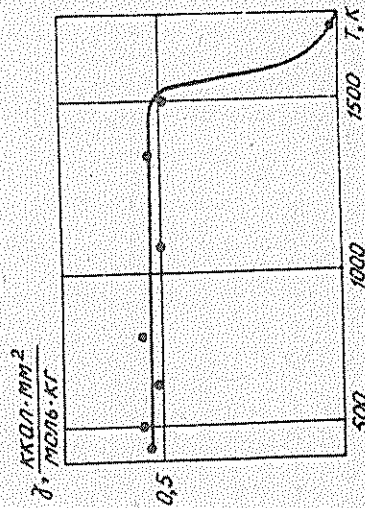


Рис. 2. Зависимость объема активации  $\delta$  вольфрама от температуры

$$\tau = \tau_0 \left( \frac{C_v}{R} \right)^{\frac{1}{2}} \left( \frac{U - \delta \sigma}{R T} \right)^{-1} \left[ \exp \left( \frac{U - \delta \sigma}{R T} \right) - \exp \left( \frac{U - \delta \sigma}{R T} \right) \right]^{-1} \quad (6)$$

Соотношение (6) отличается от (2) сомножителем при  $\tau_0$ . Оно было использовано при расчете термомultipлиционных параметров аналогично (4). В таблице приведены значения  $\tau_0$ , которые оказываются соизмеримыми с периодом тепловых колебаний атомов в узлах решетки.

Изложенный метод может быть использован для ускоренного определения термомultipлиционных параметров разрушения, замечен в ряде случаев традиционный метод испытаний на ползучесть при высоких температурах.

**Л и т е р а т у р а**

1. Ратель В.Р., Слуцкер А.И., Томалецкий Э.Е. Кинетическая природа прочности твердых тел. М., 1974.
2. Лебедницкий М.А. Электровакуумные материалы. М., Л., 1966.
3. Свойства элементов. Ч. 1. Физические свойства: Справочник. М., 1976.
4. Уикс К.Е., Блок Ф.Е. Термические свойства 65 элементов, их оксидов, галогенидов, карбонидов и нитридов. М., 1965.
5. Мелвин-Хэмилтон Э.А. Физическая химия. Изд. I. М., 1962.

УДК 621.391.822

А.С. Шаповалов

**К ВОПРОСУ ОБ УСТАНОВЛЕНИИ СТАЦИОНАРНОГО РЕЖИМА ДИФФУЗИИ ГАЗА В ТВЕРДОМ ТЕЛЕ**

Развитие современной радиоэлектронной техники (радиолокационной, навигационной, измерительной и т.д.) требует создания СВЧ генераторов, обладающих высокой энергетическими, диапазоновыми, шумовыми характеристиками, а также высокой надежностью, виброустойчивостью, малой массой и габаритами [1-10]. Большинство указанных требований удовлетворяют СВЧ генераторы на основе полупроводниковых диодов с отрицательным сопротивлением (ПД, диодов Ганна, т.д.). Однако проблема создания генератора, удовлетворяющего высоким требованиям по комплексу параметров (в том чис-

ле по уровню флуктуаций генерируемого сигнала), в полной мере еще не решена.

Одним из эффективных средств снижения шумов выходного сигнала является синхронизация генератора внешним маломощным источником СВЧ колебаний. Теория шумов синхронизированных твердотельных генераторов довольно детально разработана и описана в литературе, в том числе в работах Хурокавы [11-13], но в ней имеются вопросы, требующие дополнительного исследования, например, выяснение степени влияния на шум синхронизированного твердотельного генератора прочности предельного цикла, неэкзотичности генератора и корреляции квадратурных компонент собственных шумов полупроводниковых диодов, получение выражения для взаимной спектральной плотности амплитудно-фазовых флуктуаций сигнала.

Именно эти задачи поставлены в данной работе. Результаты анализа носят общий характер и справедливы для твердотельных генераторов, использующих различные типы диодов.

Эквивалентная схема простейшей модели твердотельного генератора, рассмотренная в [11], и принимаемая в качестве аналитической схемы в данной работе, представляет собой замкнутый контур, который содержит последовательно включенные элементы: отрицательное сопротивление полупроводникового диода  $-R$ , внутреннее сопротивление  $R_1$ , сопротивляемость нагрузки  $R_2$ , которая обычно представляет impedance волновода или коаксиальной линии, индуктивность  $S$  контура, ЭДС  $e(t)$  и  $i(t)$ , описывающие соответствующую шуму к синхронизирующий сигнал. Уравнение Кирхгофа для данной схемы имеет вид

$$-i R_1 - (R_2 + R) i - \int_{-\infty}^t i d\tau = e(t) - E(t). \quad (1)$$

Преобразуя высшими гармониками, выражения для тока можно представить в виде колебания с медленно меняющейся амплитудой  $A(t)$  и фазой  $\varphi(t)$ :

$$i(t) = A(t) \exp(i\varphi(t)).$$

Используем в (1) правила дифференцирования и интегрирования функций, описывающих колебания с медленно меняющейся амплитудой и фазой [11]; умножив указанное выражение сначала на  $\exp(-i\varphi(t))$ , а затем на  $\exp(i\varphi(t))$ , наконец, усредним полученный результат за период колебаний при наличии текущего времени. Получим

$$-\frac{1}{T} \int_{-\infty}^{\infty} \frac{dA(t)}{dt} dt + \frac{1}{T} \int_{-\infty}^{\infty} \frac{d\varphi(t)}{dt} dt = - \frac{e_s(t) - E_s(t)}{A} \quad (2)$$

$$\left( L + \frac{L_0}{\omega^2 C} \right) \frac{dH}{dt} + (R_0 + R_0 - R)H = E_0(t) + E_c(t), \quad (3)$$

где  $\psi_c(t)$ ,  $\psi_s(t)$  — квадратные компоненты шума;  $E_c(t)$ ,  $E_s(t)$  — квадратные компоненты синхросигнала;

$$E_c = \frac{2}{T} \int_{-T}^T E(t) \cos(\omega t + \varphi) dt, \quad T = \frac{2\pi}{\omega},$$

$$E_s = -\frac{2}{T} \int_{-T}^T E(t) \sin(\omega t + \varphi) dt,$$

$$E_0 = \frac{2}{T} \int_{-T}^T E(t) \cos(\omega t + \varphi) dt, \quad (4)$$

$$E_s = -\frac{2}{T} \int_{-T}^T E(t) \sin(\omega t + \varphi) dt, \quad (5)$$

$$\bar{E} = \frac{2}{AT} \int_{-T}^T R H \cos^2(\omega t + \varphi) dt$$

— среднее за период значения модуля отрицательного сопротивления диеда.

Пронормируем и преобразуем уравнение (3). Модуль отрицательного сопротивления зависит от амплитуды колебаний. Если она флуктуирует, величину  $R$  можно разложить в ряд в окрестности среднего значения  $R_0$ . Тогда коэффициент при  $A$  в уравнении (3) примет вид

$$R_0 + R_0 - \bar{E}(H) = R_0 - R_0 - \bar{E}(H_0) - \left( \frac{\partial \bar{E}}{\partial H} \right)_0 dH. \quad (6)$$

Если на генератор не воздействуют ни шумовой, ни синхронизирующий сигнал,  $F(t) = 0$ ,  $E(t) = 0$ , то, как следует из (3), стационарная амплитуда колебаний  $H = H_0 = \text{const}$  наблюдается, если

$$R_0 + R_0 - \bar{E}(H_0) = 0, \quad (7)$$

Таким образом, величина  $R_0$  определяется выражением (7). С учетом (7) в режиме колебаний с установившейся амплитудой соотношение (6) упрощается:

$$E_0 + R_0 - \bar{E}(H) = - \left( \frac{\partial \bar{E}}{\partial H} \right)_0 dH. \quad (8)$$

Уравнение (3) принимает следующий вид:

$$\left( L + \frac{L_0}{\omega^2 C} \right) \frac{dH}{dt} - A \left( \frac{\partial \bar{E}}{\partial H} \right)_0 dH = E_c(t) - E_s(t). \quad (9)$$

Введем в рассмотрение относительные флуктуации амплитуды  $\alpha = \frac{dA}{A}$ . Согласно (9), уравнение для  $\alpha$  имеет вид

$$\frac{d\alpha}{dt} - A_0 \left( \frac{\partial \bar{E}}{\partial H} \right)_0 \frac{1}{L + \frac{L_0}{\omega^2 C}} \alpha = \frac{E_c(t) - E_s(t)}{A_0 \left( L + \frac{L_0}{\omega^2 C} \right)}. \quad (10)$$

Коэффициент при  $\alpha$ , равный

$$A_0 = -A_0 \left( \frac{\partial \bar{E}}{\partial H} \right)_0 / \left( L + \frac{L_0}{\omega^2 C} \right), \quad (11)$$

по определению представляет собой прочность предельного цикла. С использованием этого параметра уравнение (10) запишется как

$$\frac{d\alpha}{dt} + \beta \alpha = \frac{E_c(t) - E_s(t)}{A_0 \left( L + \frac{L_0}{\omega^2 C} \right)}. \quad (12)$$

Пусть  $E_c(t) = 0$ ,  $E_s(t) = 0$ . Тогда из (12) следует, что начальная флуктуация амплитуды  $\alpha_0$  изменяется во времени по закону  $\alpha(t) = \alpha_0 e^{-\beta t}$ .

Если  $R_0 < 0$ , то  $\alpha(t)$  безгранично нарастает и стабильный режим работы не устанавливается. Если же  $R_0 > 0$ , то  $\alpha(t)$ , экспоненциально убывая, стремится к нулю. Устанавливается постоянная амплитуда. Параметр  $\beta$ , таким образом, характеризует скорость спада любых возмущений амплитуды от ее стационарного значения  $A_0$ .

Теперь проанализируем уравнение (2). Подставим в него  $A = A_0 + \alpha A_0 = A_0(1 + \alpha)$  и, сохранив лишь члены первого порядка малости, получим:

$$\frac{d\alpha}{dt} + \frac{\alpha(1 - \beta)}{\omega_0 C} = \frac{E_c(t) - E_s(t)}{A_0(1 + \alpha)} + \frac{\alpha}{L + \frac{L_0}{\omega_0 C}}. \quad (13)$$

Видно, что неизокронность генератора равна

$$\beta = \omega_0 \left( L + \frac{L_0}{\omega_0 C} \right) / \left( L + \frac{L_0}{\omega_0 C} \right). \quad (14)$$

При  $E_c(t) = 0$ ,  $E_s(t) = 0$  стационарные колебания, когда частота постоянна, а  $\alpha = 0$ , устанавливаются в случае выполнения условия

$$\omega L - \frac{L_0}{\omega C} = 0. \quad (15)$$

Выражение (15) определяет частоту стационарных колебаний  $\omega = \omega_0 = \sqrt{L/L_0}$ . Подставляя (15) в (14), приходим к заключению, что на частоте генерации  $\omega = \omega_0$  коэффициент неизокронности рассмотренной модели генератора равен нулю, то есть исследуемый генератор неизокронный. С учетом этого факта уравнение (13) примет вид

$$\frac{d\alpha}{dt} - \frac{\alpha}{2L_0} \left( L + \frac{L_0}{\omega_0 C} \right) = \frac{E_c(t) - E_s(t)}{A_0}. \quad (16)$$

а флуктуационное уравнение для амплитуды окончательно запишется как

$$\frac{dA}{dt} + R_0 A = \frac{E_c(t) - E_s(t)}{A_0} A, \quad (17)$$

где  $R_0$  определяется выражением (11) и при  $\omega = \omega_0$  равно

$$R_0 = -\frac{E_c(t) - E_s(t)}{A_0}.$$

Приним в (16), (17) величину  $E_c(t)$ , равную нулю, и проведем сверточный анализ полученных уравнений, негрудно найти выражения

для спектральных плотностей флуктуаций амплитуды и фаз генерируемого сигнала в автономном режиме работы анализируемой модели:

$$S_{\omega}(\omega) = \frac{1}{2L^2 \omega^2} \frac{\partial S_{\omega}(\omega)}{\partial \omega^2} \quad (18)$$

$$S_{\varphi}(\omega) = \frac{1}{2L^2 \omega^2} \frac{\partial S_{\varphi}(\omega)}{\partial \omega^2} \quad (19)$$

где  $S_{\omega}(\omega)$  и  $S_{\varphi}(\omega)$  — спектральные плотности квадратурных компонент шума;  $\Omega$  — эквивалентная круговая частота модуляции амплитуды и фазы сигнала. Как известно [14, 15],

$$S_{\omega}(\omega) = S_{\omega}(\omega) = S_{\omega}(\omega) \cdot S_{\varphi}(\omega) \cdot S_{\omega}(\omega - \Omega) \cdot S_{\varphi}(\omega - \Omega)$$

где  $S_{\omega}(\omega)$  — спектральная плотность флуктуирующей напряженности источника шумов, флуктуации частоты  $\omega(t)$ , связанные с флуктуациями фазы  $\varphi(t)$  соотношением  $\partial \varphi / \partial t = \omega(t) - \omega_0$ , характеризуются спектральной плотностью  $S_{\omega}(\omega) = \Delta^2 \cdot S_{\varphi}(\omega)$ .

Рассмотрим работу генератора в режиме синхронизации в отсутствие шумов. Предположим, что  $e(t) = 0$ , а  $\dot{\varphi}(t) = \epsilon \cdot \cos \omega_0 t$  представляет собой синхронизирующий сигнал, амплитуда которого  $\epsilon \ll \omega_0$  мала. Если генератор синхронизирован, то его частота колебаний равна частоте синхронизирующего сигнала:  $\omega = \omega_0$ . В случае, когда амплитуда синхронизирующего сигнала  $\epsilon$  мала, амплитуда колебаний, генерируемого в режиме синхронизации, будет мало отличаться от амплитуды  $A_0$  в режиме свободных колебаний.

При этих условиях интеграл, стоящий в правой части уравнения (5), будет равен

$$\int_{-\infty}^{\infty} \epsilon \cos \omega_0 t \sin(\omega t - \varphi) \cdot \epsilon \cos \omega_0 t \cos \omega_0 t \cdot \omega_0 \varphi \quad (20)$$

Учитывая (20), проанализируем уравнение (2) в установившемся режиме, когда  $\frac{d\varphi}{dt} = 0$ ,  $\varphi = \varphi_0$ ,  $\dot{\omega} = \omega_0$ ,  $\omega = \omega_0$ . Получим:

$$\Delta \omega_0 = -\epsilon \cdot \sin \varphi_0 / (2A_0 \omega_0) \quad (21)$$

Величина  $\Delta \omega_0$  дает связь частотной расстройки синхронизирующего сигнала  $\omega_0$  с собственной частотой синхронизируемого генератора  $\omega_0$  с фазой  $\varphi_0$  колебаний, устанавливаемых в режиме синхронизации. Если в (21) положить  $\sin \varphi_0 = 1$ , найдем абсолютную величину максимально возможной расстройки, то есть полуширину полосы синхронизации

$$\Delta \omega_0 = \epsilon / (2A_0 \omega_0)$$

В общем же случае различие собственной частоты генератора и частоты синхросигнала удовлетворяет условию  $\Delta \omega_0 \leq \epsilon / (2A_0 \omega_0)$ .

Предположим, что по каким-то причинам (например, за счет флуктуаций) сдвиг фаз сигнала  $\varphi$  изменился от уровня  $\varphi_0$  на некоторую величину  $\Delta \varphi$ . Подставим  $\varphi_0 + \Delta \varphi$  в уравнение (2) и проанализируем зависимость от времени для  $\Delta \varphi$ :

$$\frac{d(\Delta \varphi)}{dt} + \frac{\epsilon \cos \varphi_0}{2A_0 \omega_0} \Delta \varphi = 0$$

Отсюда следует, что  $\Delta \varphi$  будет уменьшаться и захват будет стабильным, если

$$A_0 = \frac{\epsilon \cos \varphi_0}{2A_0 \omega_0} > 0 \quad (22)$$

Синхронизирующий сигнал при этом действует на величину  $\Delta \varphi$  подобно некоторой возмущающей силе, а величина  $A_0$  играет роль фазовой прочности предельного цикла.

Теперь обратимся к уравнению (3) в режиме отапливаемой синхронизации, когда  $S_{\omega}(\omega) = 0$  и  $\frac{d\omega}{dt} = 0$ . Пусть  $A = A_0 + \Delta A$ , тогда согласно (4), (8) и (9),

$$\Delta A_0 = \frac{\epsilon \cos \varphi_0}{A_0 \cdot \frac{\partial \varphi}{\partial A}}$$

Ранее было показано, что свободные режимы соответствуют случаю, когда  $A_0 > 0$ ,  $f(\frac{\partial \varphi}{\partial A}) > 0$ ,  $\cos \varphi_0 > 0$ . Следовательно, в режиме синхронизации амплитуда колебаний выше, чем в режиме свободных колебаний, и захват от величины  $\varphi_0$ , определяемой расстройкой собственной частоты генератора и частоты синхросигнала.

Рассмотрим шумовые свойства генератора в режиме синхронизации. В автономном режиме работы величина  $\varphi$  может быть любой, но в режиме синхронизации она должна находиться вблизи некоторого значения  $\varphi_0$ . В уравнениях (2), (8) положим

$$\varphi = \varphi_0 + \varphi, \quad \omega = \omega_0 + \Delta \omega_0, \quad (23)$$

$$A = A_0 (1 + \alpha), \quad \dot{\varphi}(t) = \alpha_0 \cos \omega_0 t, \quad (24)$$

Синхросигнал, как следует из (23), представляется идеальным модуль-амплитудным колебанием, не содержащим шумов. Правые части уравнений (4) и (5) примут вид

$$\dot{\varphi} = \alpha_0 \cos \omega_0 t - \alpha_0 \sin \varphi_0 \cdot \varphi, \quad (24)$$

$$\dot{\omega} = -\alpha_0 \sin \varphi_0 - \alpha_0 \cos \varphi_0 \cdot \varphi. \quad (25)$$

Покажем эволюцию (23)-(25) в (2) и (9). С учетом (11) и (22) получим следующие уравнения для флуктуирующей амплитуды и фазы сигнала в режиме синхронизации:

$$\frac{d\varphi}{dt} + A_0 \varphi = -\frac{\epsilon \sin \varphi_0}{2A_0 \omega_0}, \quad (26)$$

$$\frac{\omega_1^2 \omega_2}{\omega_1^2 + \omega_2^2} + \frac{\omega_1 \omega_2}{\omega_1^2 + \omega_2^2} \frac{\omega_1 \omega_2}{\omega_1^2 + \omega_2^2} = \frac{\omega_1^2 + \omega_2^2}{\omega_1^2 + \omega_2^2} \frac{\omega_1 \omega_2}{\omega_1^2 + \omega_2^2} \frac{\omega_1 \omega_2}{\omega_1^2 + \omega_2^2} e_s \quad (27)$$

Спектральный анализ уравнения (26) приводит к следующему выражению для спектральной плотности флуктуирующей фазы:

$$S_{\varphi}(\Omega) = \frac{1}{(2L\Lambda_0)^2} \frac{S_{\varphi}(\Omega)}{\Omega^2 + \Omega_0^2} \quad (28)$$

где  $R_{\varphi}$  играет роль "восстанавливающей силы". Для  $\Omega \ll R_{\varphi}$  наблюдается существенное подавление фазовых шумов.

Из выражения (28) следует, что спектральная плотность флуктуирующей фазы сигнала синхронизируемого генератора, найденная без учета шумов синхросигнала, не зависит от амплитудной плотности передельного цикла генератора и корреляции квадратурных компонент его собственных источников шумов. Существенное влияние на величину  $S_{\varphi}(\Omega)$  оказывает величина  $R_{\varphi}$ , характеризующая взаимодействие на фазовые шум генератора синхронизируемого сигнала.

Спектральная плотность флуктуирующей частоты в режиме синхронизации определяется выражением

$$S_{\omega}(\Omega) = \frac{1}{(2L\Lambda_0)^2} \frac{\Omega^2}{\Omega^2 + \Omega_0^2} S_{\varepsilon_s}(\Omega)$$

и также не зависит от  $R_{\varphi}$  и корреляции квадратурных компонент шума дикторов.

Проводя спектральный анализ уравнения (27), нетрудно получить выражение для спектральной плотности флуктуирующей амплитуды:

$$S_{\omega}(\Omega) = \frac{1}{(2L\Lambda_0)^2} \frac{S_{\omega}(\Omega)}{\Omega^2 + \Omega_0^2} + \frac{\varepsilon_s \omega_1 \omega_2}{(2L\Lambda_0)^2} \times \frac{\varepsilon_s \omega_1 \omega_2 S_{\omega}(\Omega) + 2 \cdot \Omega \cdot \text{Im} S_{\varepsilon_s \varepsilon_s}(\Omega)}{(\Omega^2 + \Omega_0^2) (\Omega_0^2 + \Omega^2)} \quad (29)$$

где  $S_{\varepsilon_s \varepsilon_s}(\Omega)$  - важная спектральная плотность квадратурных компонент шума дикторов, определяемая формулой [15]

$$S_{\varepsilon_s \varepsilon_s}(\Omega) = -j S_{\varepsilon}(\omega_0 + \Omega) - S_{\varepsilon}(\omega_0 - \Omega) \quad (30)$$

Проводя анализ (29), вводя в рассмотрение полуширину полосы синхронизации  $\Theta$  и частоту расстройки синхронизируемого и синхронизирующего генератора  $\Delta \omega_0 = \omega_2 - \omega_1 = -\omega_0$  и  $\omega_0 / (2L\Lambda_0)$ . Используя эти обозначения, можно получить два варианта записи конечного результата:

$$S_{\omega}(\Omega) = \frac{1}{(2L\Lambda_0)^2} \frac{S_{\omega}(\Omega)}{\Omega^2 + \Omega_0^2} + \frac{(\Delta \omega_0)^2}{(2L\Lambda_0)^2} \frac{S_{\omega}(\Omega)}{(\Omega_0^2 + \Omega^2)} - \frac{1}{(2L\Lambda_0)^2} \frac{2 \cdot \Omega \cdot \Delta \omega_0 \cdot \text{Im} S_{\varepsilon_s \varepsilon_s}(\Omega)}{(\Omega_0^2 + \Omega^2)} \quad (30)$$

$$S_{\omega}(\Omega) = \frac{1}{(2L\Lambda_0)^2} \frac{(\Omega_0^2 + \Omega^2) S_{\omega}(\Omega)}{(\Omega_0^2 + \Omega^2)} - \frac{1}{(2L\Lambda_0)^2} \frac{2 \cdot \Omega \cdot \Delta \omega_0 \cdot \text{Im} S_{\varepsilon_s \varepsilon_s}(\Omega)}{(\Omega_0^2 + \Omega^2)} \quad (31)$$

Как следует из выражений (30) и (31), в общем случае, когда расстройка  $\Delta \omega_0$  частот синхросигнала и синхронизируемого генератора отлична от нуля, уровень амплитудных шумов синхронизируемого генератора выше аналогичной величины в режиме свободных колебаний. Дополнительный амплитудный шум, возникающий в генераторе в режиме синхронизации, обуславливается как спектральной плотностью квадратурных компонент шума, так и взаимной спектральной плотностью квадратурных компонент. Увеличение амплитудных шумов в режиме синхронизации объясняется тем, что амплитуда колебаний синхронизируемого генератора зависит от соотношения частот  $\omega_1$  и  $\omega_2$  (от частотной расстройки). По этой причине флуктуации частоты (фазы) генератора трансформируются во флуктуации амплитуды.

Полученные соотношения показывают, что вклад спектральной плотности квадратурных компонент в полный уровень амплитудного шума всегда положительный. Вклад взаимной спектральной плотности квадратурных компонент в результирующей уровень амплитудных шумов может быть как положительным, так и отрицательным. Положительный знак третьего слагаемого в (30), то есть дополнительного увеличения шумов за счет корреляции квадратурных компонент, наблюдается тогда, когда частота расстройки  $\Delta \omega_0$  и взаимная спектральная плотность  $\text{Im} S_{\varepsilon_s \varepsilon_s}(\Omega)$  имеют разные знаки. В противном случае корреляция квадратурных компонент приводит к уменьшению шумов. В частности, эффект уменьшения шумов будет наблюдаться, если

$$\omega_1 > \omega_0, \Delta \omega_0 > 0 \quad \text{и} \quad \text{Im} S_{\varepsilon_s \varepsilon_s}(\Omega) > 0, S_{\varepsilon}(\omega_0 + \Omega) < S_{\varepsilon}(\omega_0 - \Omega),$$

$$\omega_1 < \omega_0, \Delta \omega_0 < 0 \quad \text{и} \quad \text{Im} S_{\varepsilon_s \varepsilon_s}(\Omega) < 0, S_{\varepsilon}(\omega_0 + \Omega) > S_{\varepsilon}(\omega_0 - \Omega).$$

или

Таким образом, в отличие от  $S_n(\Omega)$  вклад  $S_{\Sigma} \varepsilon_s(\Omega)$  в дополни-  
тельные амплитудные шумы, появляющиеся при синхронизации, явля-  
ется неоднозначным.

Из выражений для  $S_{\Sigma}(\Omega)$  следует также, что влияние прочно-  
сти предельного цикла генератора на амплитудные шумы как в режи-  
ме свободных колебаний, так и в режиме синхронизации является  
одинаковым. С ростом  $R_0$  в одинаковой степени появляются и шу-  
мы, наблюдающиеся в автономном режиме, и дополнительные ампли-  
тудные шумы, возникающие в режиме синхронизации. Характерно,  
что при частотной расстройке  $\Delta\omega_0 \neq 0$  шумы синхронизированного  
генератора точно совпадают с его шумами в автономном режиме, то  
есть увеличения амплитудных шумов генератора за счет синхронизации не происходит.

Предыдущие расчеты были проведены без учета шумов синхро-  
низируемого сигнала. Теперь предположим, что синхронизирующий  
сигнал  $E(t)$  сам содержит флуктуации амплитуды и фазы, и его  
можно представить в виде

$$E(t) = [a_0 + \Delta a(t)] \cos[\omega_0 t + \psi(t)], \quad (32)$$

где  $\Delta a(t)$  — флуктуации амплитуды синхронизирующего сигнала;  $\psi(t)$  — флуктуа-  
ции фазы синхронизирующего сигнала.

Подставим выражения (32) в соотношения (4) и (5):

$$F_c(t) = (a_0 + \Delta a) \cos(\varphi - \psi), \quad (33)$$

$$F_s(t) = (a_0 + \Delta a) \sin(\varphi - \psi). \quad (34)$$

Обозначим флуктуации фазы выходного сигнала, генерируемого в  
условиях одновременного воздействия на генератор собственных  
шумов и шумов синхронизирующего сигнала, величиной  $\delta$ . Подставим в (2) и  
(9) выражения (33), (34) и следующие соотношения:

$$\omega = \omega_s = \omega_0 + \Delta\omega_0, \quad A = A_0(1 + \alpha) + \Delta A_0, \quad \omega_0^2 = 1/\mu C,$$

$$\Delta\omega_0 = -\frac{a_0 \varepsilon_0 R_0 P_0}{2LA_0}, \quad \Delta A_0 = \frac{a_0 \varepsilon_0 R_0 P_0}{A_0 \left(\frac{\partial F_c}{\partial A}\right)_0}, \quad \varphi = \varphi_0 + \delta.$$

Пренебрегая величинами второго и выше порядков малости, получим:

$$\frac{d\delta}{dt} + R_0 \delta = \frac{\varepsilon_s}{2LA_0} + R_0 \psi, \quad (35)$$

$$\frac{d\psi}{dt} + R_0 \psi + \frac{a_0 \varepsilon_0 R_0 P_0}{2LA_0} \delta = \frac{\varepsilon_c}{2LA_0} - \frac{a_0 \varepsilon_0 R_0 P_0}{2LA_0} \psi + R_0 \psi, \quad (36)$$

где  $\beta = \Delta a/a_0$ .

Используя стандартные методы расчета спектра флуктуаций,  
из (35) найдем следующее выражение для спектральной плотности  
флуктуаций фазы:

$$S_{\varphi}(\Omega) = \frac{1}{4L^2 A_0^2} \frac{S_n(\Omega) + (a_0 \varepsilon_0 R_0)^2 S_{\psi}(\Omega)}{R_0^2 + \Omega^2}, \quad (37)$$

где  $S_{\psi}(\Omega)$  — спектральная плотность флуктуаций фазы синхронизи-  
рующего сигнала. Как следует из (37), величина  $S_{\varphi}(\Omega)$  не зави-  
сит от  $\beta$  и  $\varepsilon_c \varepsilon_s(\Omega)$ . При  $\Omega \ll R_0$  уровень фазовых флуктуаций  
генерируемого сигнала  $S_{\varphi}(\Omega)$  практически совпадает с уровнем  
фазовых флуктуаций синхронизирующего сигнала. Действительно, в соответстви-  
и с (19)  $S_{\psi}(\Omega) \sim \frac{1}{\Omega^2}$ , и первым слагаемым в числителе равенства  
(37) в этом случае можно пренебречь.

При  $\Omega \gg R_0$  в числителе (37) можно пренебречь вторым сла-  
гаемым, что приведет к совпадению (37) с выражением (28), опре-  
деляющим спектральную плотность фазовых флуктуаций сигнала ге-  
нератора, синхронизированного идеальным монохроматическим коле-  
банием. Наибольшее влияние шумов синхронизации наблюдается при  
 $\cos \varphi = 1$ , то есть при наибольшем  $R_0$  и наименьшем  $\Delta\omega_0$ .

При  $\psi = 0$  из (37) следует выражение (28), а при  $\psi = 0$   
 $\alpha_0 = 0$  — выражение (19).

Для определения уровня амплитудных флуктуаций в рассмотрен-  
ном случае из уравнения (36) для  $\delta$  исключим фазовые флуктуа-  
ции  $\psi$ , использованное для этого равенство (35). Пренебрегая ам-  
плитудными шумами синхронизирующего сигнала, получим:

$$\frac{d^2 \delta}{dt^2} + (R_0 + R_0) \frac{d\delta}{dt} + R_0 P_0 \delta = \frac{P_0}{2LA_0} \varepsilon_c + \frac{1}{2LA_0} \varepsilon_c' + \frac{1}{2LA_0} \varepsilon_s - \Delta\omega_0 \psi'. \quad (38)$$

Спектральная плотность флуктуаций амплитуды сигнала, рас-  
считанная на основе (38), имеет вид:

$$S_{\delta}(\Omega) = \frac{S_n(\Omega)}{(2LA_0)^2 (R_0^2 + \Omega^2)} +$$

$$+ \frac{\Delta\omega_0^2}{(2LA_0)^2} \frac{S_n(\Omega)}{(R_0^2 + \Omega^2)} -$$

$$- \frac{2a_0 \Delta\omega_0 \sin \varphi_0 \varepsilon_s(\Omega)}{(2LA_0)^2 (R_0^2 + \Omega^2) (R_0^2 + \Omega^2)} + \frac{P_0^2 \Delta\omega_0^2 S_{\psi}(\Omega)}{(R_0^2 + \Omega^2) (R_0^2 + \Omega^2)}, \quad (39)$$

Если объединить два первых слагаемых в правой части (39), величину  $S_{\omega}(\omega)$  можно выразить через полужирную половину синхронизации:

$$S_{\omega}(\omega) = \frac{(B^2 + \omega^2) S_{\omega}(\omega)}{(2\Delta\omega)^2 (\rho^2 + \omega^2) (\rho_0^2 + \omega^2)} - \frac{2\alpha\Delta\omega_0 \text{Im} S_{\omega} S_{\omega}(\omega)}{(2\Delta\omega)^2 (\rho^2 + \omega^2) (\rho_0^2 + \omega^2)} \quad (40)$$

Из выражений (39), (40) следует, что фазовый шум синхронизации при частотной расстройке  $\Delta\omega \neq 0$  приводит к увеличению уровня шума выходного сигнала синхронизированного генератора. В указанном случае к амплитудным шумам автономного генератора (см. первое слагаемое выражения (39)) добавляется шум синхронизации трех видов: шум, вызванный синхронизацией и определенное количество квадратурных компонент шума диода (второе слагаемое в (39)); шум, вызванный синхронизацией и определенное количество взаимной спектральной плотности квадратурных компонент шума диода (третье слагаемое в (39)); шум, вызванный синхронизацией и определенное количество фазовых флуктуаций синхросигнала (четвертое слагаемое в (39)). Особенность слагаемого, обусловленного корреляцией квадратурных компонент шума, состоит в том, что это единственное слагаемое, которое может менять знак и приводить как к увеличению, так и к уменьшению амплитудных шумов выходного сигнала. Все остальные виды шумов синхронизации могут приводить только к увеличению амплитудного шума. Анализ абсолютной величины третьего слагаемого в выражении (39) показывает, что при  $\Delta\omega \neq 0$  и достаточно высоких частотах отстройке  $\omega$  от нулевой корреляция квадратурных компонент поточников шума может оказывать существенное влияние на уровень амплитудных флуктуаций.

Прочность предельного шума  $S_{\omega}$  действует на все виды помеховых шумов, вызываемых эффектом синхронизации, в той же степени, что и на амплитудные шумы автономного генератора.

При  $\Delta\omega = 0$  дополнительные шум, вызванные синхронизацией, отсутствуют. При  $\Delta\omega \neq 0$ , но при  $\omega = 0$  из (39), (40) следует соотношение (30), (31), а при  $\omega = 0$ ,  $\alpha = 0$  — выражение (16).

Совместный спектральный анализ флуктуационных уравнений

(35) и (36) дает возможность определить взаимную спектральную плотность амплитудно-фазовых флуктуаций сигнала генератора, синхронизированного колебанием, содержащим шум:

$$S_{\psi\omega}(\omega) = \frac{(2\Delta\omega)^2 (\rho^2 + \omega^2) (\rho_0^2 + \omega^2)}{(2\Delta\omega)^2 (\rho^2 + \omega^2) (\rho_0^2 + \omega^2)} \left\{ \Delta\omega_0 \rho_0 S_{\omega}(\omega) - (2\Delta\omega)^2 \rho_0 \alpha S_{\psi\omega}(\omega) + \alpha (\rho_0 + \rho) \text{Im} S_{\omega} S_{\psi}(\omega) - j \left[ \alpha \omega_0 \rho_0 S_{\omega}(\omega) + (2\Delta\omega)^2 \rho_0 \rho_0 S_{\psi\omega}(\omega) \right] \text{Im} S_{\omega} S_{\psi}(\omega) \right\} \quad (41)$$

В общем случае вклад во взаимную спектральную плотность вносят шум, пропорциональные спектральной плотности квадратурных компонент, взаимной спектральной плотности квадратурных компонент внутренних поточников шумов генератора, спектральной плотности флуктуации фазы синхросигнала. Увеличение прочности предельного шума  $\rho_0$  приводит к уменьшению всех компонент, входящих в  $S_{\psi\omega} = 0$ , но в разной степени.

При  $\Delta\omega = 0$  корреляция  $\alpha$  и  $\beta$  обуславливается только корреляцией квадратурных компонент шумов диодов, а выражение для  $S_{\psi\omega}(\omega)$  имеет вид:

$$S_{\psi\omega}(\omega) = \frac{(2\Delta\omega)^2 (\rho_0 + \omega) (\rho_0 + \omega)}{(2\Delta\omega)^2 (\rho_0^2 + \omega^2) (\rho_0^2 + \omega^2)} \text{Im} S_{\omega} S_{\psi}(\omega)$$

Отметим, что из выражения (41) можно получить взаимную спектральную плотность амплитудно-фазовых флуктуаций сигнала генератора во всех режимах, рассмотренных ранее. Взаимная спектральная плотность  $S_{\psi\omega}(\omega)$  в автономном режиме работы получается из (41) при  $\alpha = \Delta\omega_0 = \rho_0 = S_{\psi}(\omega) = 0$

$$S_{\psi\omega}(\omega) = \frac{(\rho_0 - \omega) \text{Im} S_{\omega} S_{\psi}(\omega)}{2(\Delta\omega)^2 (\rho_0^2 + \omega^2)}$$

При  $S_{\psi}(\omega) = 0$  из (41) вытекает взаимная спектральная плотность амплитудно-фазовых флуктуаций в режиме синхронизации генератора идеальным монотонно-частотным синхросигналом.

Таким образом, проведено уточнение рассмотренных ранее Куравой формулы параметров синхронизированного генератора, которое достигается за счет учета корреляции квадратурных компонент собственных поточников шумов генератора. Получено выражение для взаимной спектральной плотности амплитудно-частотных флуктуаций. Определено влияние на шумовые параметры синхронизированного генератора прочности предельного шума. Вследствие

С.Ю.Гольдман, Ю.И.Ленисов, Л.М.Минкин  
 ОБ УСТАНОВЛЕНИИ СТАЦИОНАРНОГО РЕЖИМА  
 ДИФФУЗИИ ГАЗА В ТВЕРДОМ ТЕЛЕ

В работе рассмотрены некоторые аспекты диффузионного переноса газов в твердых телах в условиях однородного температурного поля. Вопросы газодиффузии, в силу их безусловной практической значимости, посвящено множество исследований и накоплен весьма большой фактический и теоретический материал. Однако представляется, что вопрос, относящийся к процессу установления стационарного режима газоточения через твердое тело, в некоторой степени остается недостаточно конкретизирован.

Кинетика установления стационарного массопотока в твердом образце, контактирующем с газовой фазой, играет существенную роль в работе целого ряда электро- и газоразрядных приборов, функционального мембран и фильтров, процессах газообмена в почве и т.д. Переходный процесс является важной характеристикой газодиффузии, поэтому его тщательный анализ необходим при рассмотрении всего комплекса задач газоточения в твердых материалах.

Поставленная задача решается на основе обобщенных феноменологических представлений, не выделяющих структурных и статистических свойств твердого тела, что позволяет распространить полученные результаты и сделанные выводы на довольно широкий класс твердых материалов и газов. Причем в качестве твердого тела может рассматриваться и капиллярно-пористая структура, например, порво-грунты или плазменно-напыленные покрытия. В этом случае под коэффициентом диффузии понимается его эффективное значение.

Рассмотрим диффузию газов через некоторое твердое тело, контактирующее с одной стороны с газосодержащим объемом, а с другой — с вакуумным баком (или с этой стороны данного газа не имеется).

Пусть тело представляет собой плоскопараллельную пластинку, бесконечную в направлении декартовых координат  $Y$  и  $Z$ . Так что краевые эффекты можно пренебречь, а рассматриваемая задача становится одномерной. Массопоток газов через пластинку описывается уравнением концентрацииной диффузии Фика

$$\partial p(x,t)/\partial t = D \partial^2 p(x,t)/\partial x^2 \quad (1)$$

изотропности использованной модели остается не выясненным. Вопрос о влиянии на шумные характеристики синхронизированного генератора его нелинейности. Для его решения необходимо использование более сложной модели твердотельного генератора.

Л и т е р а т у р а

1. Малахов А.Н. Флуктуации в автоколебательных системах. М., 1966.
2. Голант М.Б., Бобровский Е.Л. Генераторы СВЧ малой мощности: Вопросы оптимизации параметров. М., 1977.
3. Коршилов С.А., Савицкий В.А., Уман С.Д. Шумы клистронных генераторов малой мощности. М., 1972.
4. Талер А.С., Вольф-Перлов В.М. Лавинно-пролетные диоды и их применение в технике СВЧ. М., 1968.
5. Давыдов Н.С., Данюшевский М.З. Диодные генераторы и усилители СВЧ. М., 1986.
6. Бисерман Л.И. Широкодиапазонные генераторы на негетронах. М., 1982.
7. Величковский И.А. Состояние и тенденции развития звуковых полупроводниковых СВЧ приборов. Ч. 2. Обзор по электронной технике. Сер. I. Электроника СВЧ. М., 1976. Вып. 17 (587).
8. Шилкоп З.Я. Состояние разработок и динамика развития звуковых СВЧ-приборов на мекдонико-переходных диодах в 1974-1978 гг. Обзор по электронной технике. Сер. I. Электроника СВЧ. М., 1979. Вып. 12 (644).
9. Щустова О.Ф. Зарубежные перспективные и стабилизированные генераторы на ЛДЦ. Обзор по электронной технике. Сер. I. Электроника СВЧ. М., 1976. Вып. 12.
10. Фомин Н.Н. Синхронизация диодных генераторов СВЧ. М., 1974.
11. Kurokawa K. Noise in Synchronized oscillators. IEEE Trans. on MTT. 1968. V. MTT - 16. P. 234-240.
12. Kurokawa K. Стабильность генераторов с внешней синхронизацией. // ТИЭР. 1972. Т.60. № 7. С. 185-187.
13. Kurokawa K. Принудительная синхронизация твердотельных СВЧ генераторов // ТИЭР. 1973. Т.61. № 10. С.12-40.
14. Thaler H. J., Ulrich G., Weidmann G. Noise in Traveling Wave amplifiers and oscillators. IEEE Trans. on MTT, 1971. V. MTT - 19. P. 692-705.
15. Залуд В., Кулапов В. Шумы в полупроводниковых устройствах. М., 1977.



где  $\rho(x, t)$  - плотность газа в образце, а  $t$  - время. Ось  $X$  перпендикулярна плоскости образца.

Считал, что газосодержащие и вакуумные объемы достаточно велики, определим крайние условия как

$$\rho(x, 0) = \rho_0, \quad \rho(x, a) = 0, \quad 0 \leq x \leq a, \quad (2)$$

где  $\rho_0$  - плотность газа на поверхности образца, контактирующей с газосодержащим объемом;  $a$  - толщина пластинки. Плотность газа на указанной поверхности терпит разрыв первого рода: плотность газа в газовой фазе  $\rho_0$  не равна плотности газа на этой границе. Скачок плотности определяет параметр растворимости ( $\rho_0$  - давление в газовой фазе) [1].

Решение уравнения (1) при крайних условиях первого рода в форме (2) [1]:

$$\rho(x, t) = \rho_0 \sum_{n=1}^{\infty} \frac{1}{n} \sin \frac{n\pi x}{a} \exp \left( -\frac{n^2 \pi^2 D t}{a^2} \right). \quad (3)$$

Уравнение (3) позволяет определить поток и массу газа, переносимую через единичную площадку внутренней ( $x=0$ ) и внешней ( $x=a$ ) границ плоскостной пластинки, обозначаемые соответственно как  $j_1, m_1, j_2, m_2$ . Масса газа, находящегося в образце, определяется как  $m_0 = m_1 - m_2$ , а изменение массы газа в нем в единицу времени - как  $j_1 - j_2$ .

Таким образом,

$$j_1 = -D \left( \frac{\partial \rho}{\partial x} \right)_{x=0} = \frac{D \rho_0}{a} \left[ 1 + 2 \sum_{n=1}^{\infty} \exp \left( -\frac{n^2 \pi^2 D t}{a^2} \right) \right], \quad (4)$$

$$j_2 = D \left( \frac{\partial \rho}{\partial x} \right)_{x=a} = \frac{D \rho_0}{a} \left[ 1 + 2 \sum_{n=1}^{\infty} (-1)^n \exp \left( -\frac{n^2 \pi^2 D t}{a^2} \right) \right] \quad (5)$$

и, следовательно,

$$j_1 - j_2 = \frac{4D \rho_0}{a} \sum_{n=1}^{\infty} \exp \left[ -\frac{n^2 \pi^2 D t}{a^2} \right]. \quad (6)$$

Поскольку  $m = \int_0^a \rho dx$ , то

$$m_1 = \frac{D \rho_0}{a} \int_0^a \left[ 1 + 2 \sum_{n=1}^{\infty} \exp \left( -\frac{n^2 \pi^2 D t}{a^2} \right) \right] dx, \quad (7)$$

$$m_2 = \frac{D \rho_0}{a} \int_0^a \left[ 1 - 2 \sum_{n=1}^{\infty} (-1)^n \exp \left( -\frac{n^2 \pi^2 D t}{a^2} \right) \right] dx, \quad (8)$$

и, соответственно,

$$m_3 = \frac{D \rho_0}{a} \int_0^a \left[ 1 - \frac{8}{\pi^2} \sum_{n=1}^{\infty} \frac{1}{(2n-1)^2} \exp \left( -\frac{n^2 \pi^2 D t}{a^2} \right) \right] dx. \quad (9)$$

В начальный момент времени в условиях стационарного потока на массопереносе газов через внутреннюю границу пластинки равен переносу газов через полубесконечную пластинку [1]:

$$m_1'(t) = 2 \sqrt{\frac{D \rho_0}{\pi t}}. \quad (10)$$

При большом  $t$  (в условиях стационарного газопотока) соотношение (7) преобразуется к виду

$$m_1''(t) = \frac{D \rho_0}{a} \left( t + \frac{2D \rho_0^2}{\pi^2} \sum_{n=1}^{\infty} \frac{1}{n^2} \right).$$

Учитывая, что  $\sum_{n=1}^{\infty} \frac{1}{n^2} = \frac{\pi^2}{6}$ , получим:

$$m_1''(t) = D \rho_0 \left( t + \frac{2D \rho_0^2}{\pi^2} \right), \quad (11)$$

$$m_2''(t) = \frac{D \rho_0}{a} \left( t + \frac{2D \rho_0^2}{\pi^2} \sum_{n=1}^{\infty} (-1)^n \frac{1}{n^2} \right),$$

и так как  $\sum_{n=1}^{\infty} (-1)^n \frac{1}{n^2} = -\frac{\pi^2}{12}$ , то

$$m_2''(t) = \frac{D \rho_0}{a} \left( t - \frac{D \rho_0^2}{6} \right), \quad (12)$$

а потому

$$m_3''(t) = m_1''(t) - m_2''(t) = \frac{D \rho_0}{a},$$

что, кстати, следует и из соотношения (9) при  $t \rightarrow \infty$ .

Соотношения (10) и (11) позволяют определить момент времени  $t_{\text{ст}}$ , до которого (при расчете  $m_1(t)$ ) вполне можно пользоваться выражением (10), а после которого - соотношением (11). Указанное время можно интерпретировать как "время установления" стационарного газопотока через границу твердого тела - газовая фаза. Приравняв правые части (10) и (11), получим квадратное уравнение относительно  $\sqrt{t}$ , приложенное решение которого определит

$$t_{\text{ст}} = \frac{D \rho_0^2}{\pi^2 D}. \quad (13)$$

С точностью до постоянного множителя соотношение (13) может быть получено методом теории размерности; кроме того, известно, что постоянная времени переходных диффузионных процессов пропорциональна  $a^2/\nu_0$  [2].

Характерно время установления стационарного газопотока в силикатных и кобальтовых им материалах может быть весьма велико (рис. 1), что, безусловно, должно учитываться при рассмотрении явлений, связанных с газополечением через поглощающие структуры.

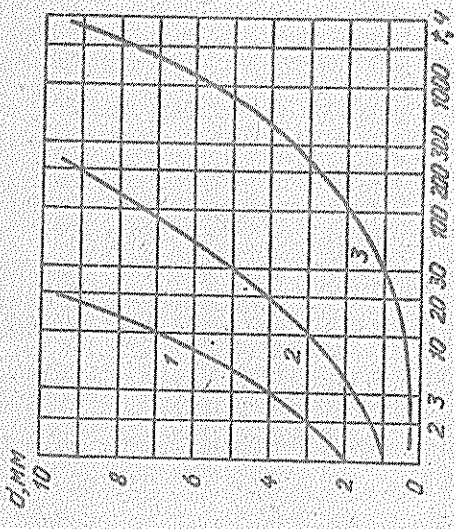


Рис. 1. Зависимость  $\tau_{\%}$  от толщины твердого образца  $d$  при коэффициенте диффузии  $D$  (м<sup>2</sup>/с): 1 -  $3,8 \cdot 10^{-12}$ , 2 -  $6,1 \cdot 10^{-11}$ , 3 -  $2,5 \cdot 10^{-12}$ .

Характер временного изменения безразмерных функций  $j_0^{\circ} = \frac{j_0}{j_0^{\infty}}$ ,  $\frac{m_0 - m_0^{\infty}}{m_0 - m_0^{\infty}}$  ( $\kappa, \nu = 1, 2, 3$ ) отрезает графики на рис. 2, 3. Указанный на рис. 2 параметр  $\tau$  определяет время, через которое величина  $j_0^{\circ}$  достигнет 5% от предельного значения, к которому она асимптотически приближается, и может рассматриваться как характеристика времени прохождения газа от внутрен-

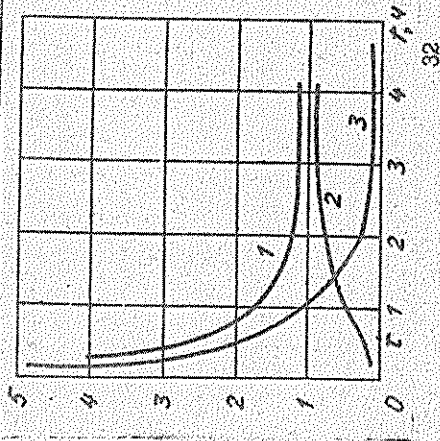


Рис. 2. Безразмерные характеристики диффузии газа ( $d = 3 \cdot 10^{-3}$  м,  $D = 0,38 \cdot 10^{-10}$  м<sup>2</sup>/с): 1 -  $j_0^{\circ}$ , 2 -  $j_0^{\circ}$ , 3 -  $j_0^{\circ}$ .

ней до внешней поверхности образца. На рис. 3 указаны промежуток времени  $\tau_{\%}$ , который определен графическим методом. Этот момент характеризует переход от кривой 4 к кривой 5 при их композиции для построения зависимости  $m_0(t)/m_0^{\infty}$  и соответствует условному "переходу к стационарному состоянию" значений функции  $m_0(t)/m_0^{\infty}$ . Величина  $\tau_{\%}$ , отмеченная на рис. 3, весьма близка к значению  $\tau_{\%}$ , определенному по данным рис. 1.

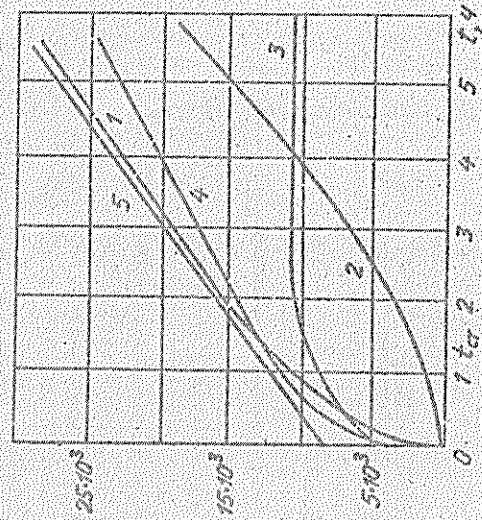


Рис. 3. Безразмерные характеристики диффузии газа ( $d = 3 \cdot 10^{-3}$  м,  $D = 3,6 \cdot 10^{-10}$  м<sup>2</sup>/с): 1 -  $m_0^{\circ}$ , 2 -  $m_0^{\circ}$ , 3 -  $m_0^{\circ}$ , 4 -  $m_0(t)/m_0^{\infty}$ , 5 -  $m_0(t)/m_0^{\infty}$ .

Таким образом, получены довольно простые соотношения, позволяющие определить время установления стационарного режима диффузионного газотечения через твердый материал произвольной толщины, а также найти мгновенное значение массы газа, сосредоточенной в газопроницаемом образце.

#### Л и т е р а т у р а

1. Берднер Р. Диффузия в твердых телах. М., 1948.
2. Килом: А.К., Килон И.К. Молекулярная физика. М., 1976.

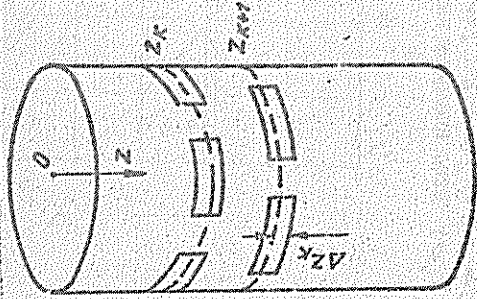
ВЫЧИСЛЕНИЕ ЭФФЕКТИВНОГО КОЭФФИЦИЕНТА ТЕПЛОПРОВОДНОСТИ  
ДЛЯ ПЕРФОРИРОВАННОЙ ЦИЛИНДРИЧЕСКОЙ ОБОЛОЧКИ

Рассмотрим тонкую цилиндрическую оболочку с перфорациями в форме щелей (рисунок), прорезанных по периметру оболочки. С точки зрения теории теплопроводности цилиндрическую оболочку с перфорациями можно рассматривать как оболочку с переменным по длине оболочки сечением  $S(z)$ .

Пусть оболочка имеет  $N$  рядов перфораций. В каждом ряду перфораций располагаются прокатовыми образом, однако их общий линейный размер по периметру оболочки одинаков для каждого ряда. Обозначим через  $z_k$  координату середины одной перфорации в  $k$ -м ряду, а через  $\Delta z_k$  - половину ширины щели перфорации. Тогда зависимость площади поперечного сечения оболочки от  $z$  можно представить в виде такой функции:

$$S(z) = \begin{cases} S_0 & \text{для } 0 \leq z < z_1 - \Delta z_1, \\ S_1 & \text{для } z_1 - \Delta z_1 \leq z_1 + \Delta z_1, \\ S_0 & \text{для } z_1 + \Delta z_1 \leq z < z_2 - \Delta z_2, \\ S_2 & \text{для } z_2 - \Delta z_2 \leq z_2 + \Delta z_2, \\ \dots & \dots \\ S_0 & \text{для } z_{N-1} + \Delta z_{N-1} \leq z \leq L \end{cases}$$

Расположение перфораций на цилиндрической оболочке



Здесь  $S_0 = 2\pi R_0 R_1$  - площадь поперечного сечения сплошной оболочки ( $R_0$  - толщина оболочки,  $R_1$  - радиус ее средней поверхности);  $S_k = 2\pi R_1 (R_0 - \psi_k)$ , где  $\psi_k$  - суммарный угловой размер всех перфораций в одном ряду оболочки.

Сдвигаясь стационарное дифференциальное уравнение теплопроводности, описывающее распределение температур по длине оболочки с переменным сечением, имеет вид

$$\frac{d}{dz} \left[ S(z) \frac{dT}{dz} \right] + \frac{q_0(z)}{S(z)} = 0,$$

где  $q_0(z)$  - полный результирующий лучистый поток, излучаемый поверхностью цилиндрической оболочки,  $\lambda$  - коэффициент теплопроводности материала оболочки.

Решением уравнения (1) является функция

$$T(z) = - \frac{q_0(z)}{2\lambda} \int_0^z \frac{1}{S(\xi)} d\xi + C_1 \sqrt{S(z)} + C_2, \quad (2)$$

$$\text{где } C_1 = \int_0^z \frac{q_0(\xi)}{S(\xi)} d\xi, \quad C_2(z) = \int_0^z \frac{q_0(\xi)}{S(\xi)} d\xi, \quad (3)$$

$$C_3 = [T_2 - T_1 + \frac{q_0(z)}{2\lambda} \int_0^z \frac{1}{S(\xi)} d\xi] / \sqrt{S(z)},$$

$T_1$  и  $T_2$  - граничные значения температуры оболочки в сечениях  $z=0$  и  $z=L$ .

Используя равенство (2), полным потоком тепла теплопроводности через поперечное сечение оболочки по формуле

$$q(z) = -\lambda \frac{dT}{dz} S(z). \quad (4)$$

После простых преобразований получаем выражение

$$q_1(z) = \frac{q_0(z)}{2\lambda} (T_1 - T_2) + C_1 q_0 \left( \frac{z}{S(z)} - \sqrt{S(z)} \right),$$

где

$$\sqrt{S(z)} = \frac{z}{R_1} \sqrt{S(z)}.$$

Коэффициенты  $\frac{q_0(z)}{2\lambda}$  и  $\sqrt{S(z)}$  вычисляются по формулам (3) с использованием заданной зависимости для  $S(z)$ . Опуская промежуточные выкладки, приведем окончательный результат:

$$q_1(z) = 2(S_0 - S_1) / S_0 S_1 \sum_{k=1}^N R_k \Delta z_k + e^{\frac{q_0(z)}{2\lambda} S_0},$$

$$q_2(z) = 2(S_0 - S_1) / S_0 S_1 N \Delta z_k + e / S_0.$$

Следовательно,  $\sqrt{S(z)}$  определяется в виде

$$\sqrt{S(z)} = \frac{1}{2} \left[ \frac{1 + 4 \left( \frac{S_0 - S_1}{S_0} - 1 \right) \frac{q_0(z)}{2\lambda} R_k \Delta z_k / e}{1 + 2 \left( \frac{S_0 - S_1}{S_0} - 1 \right) N \Delta z_k / e} \right].$$

Для оболочки без перфораций тепловой поток рассчитывается по формуле

$$q_0(z) = \lambda \frac{dT}{dz} S_0 + q_0 \left( \frac{z}{S_0} - \frac{1}{2} \right). \quad (5)$$

Сопоставляя (4) и (5) и учитывая, что коэффициент теплопроводности от 0,5, приходим к выводу, что для перфорированной оболочки можно ввести эффективное значение коэффициента теплопроводности

$$\lambda_{\text{эфф}} = \lambda / \left[ 1 + 2 \left( \frac{S_0}{S_1} - 1 \right) N \Delta z_k / e \right],$$

который позволяет, во-первых, провести элементарный элементарный расчет эффективности перфораций, а, во-вторых, дает возможность при определении температурного поля в перфорированных обожженных рассматривать их как сплошные с коэффициентом теплопроводности  $\lambda_{\text{эф}}$ .

УДК 621.3

С.Б.Мокеев, В.А.Давыдов

ТРЕХМЕРНАЯ НЕЛИНЕЙНАЯ МОДЕЛЬ АНАЛИЗА ТЕПЛООВОГО РЕЖИМА ВЧ ПАКЕТА СО СПИРАЛЬНОЙ ЗАМЕДЛЯЮЩЕЙ СИСТЕМОЙ

Анализ теплового режима ВЧ пакета со спиральной замедляющей системой (СЗ) посвящено большое количество публикаций. На смену одномерным математическим моделям, основанным на методе электротепловой аналогии [1], пришли более точные модели, основанные на решении задач стационарной теплопроводности: двухмерные [2,3], нелинейные двумерные [4], трехмерные нелинейные [5]. Существенным недостатком указанных математических моделей является предположение о равномерности выделения тепловой нагрузки на СЗ, что не соответствует характеру ВЧ нагрева и токососаждения в ЛВБ [6]. В работе [7] это предположение было снято, однако преимущественно получены о том, что коэффициент теплопроводности материалов ВЧ пакета от температур не зависит. Это предположение также может привести к существенной погрешности при определении температурной зависимости коэффициента теплопроводности керамики от температуры [9].

В основу предлагаемого в настоящей работе метода анализа температурного поля ВЧ блока положена следующая модель: выгибы спиралы заменяются системой колец (рис. 1), на которые по известному закону  $\varphi(\xi)$  оседает тепловой поток. В дальнейшем температурный поток распространяется по системе только за счет теплопроводности, и на внешней поверхности корпуса происходит конвективный теплообмен. Предполагается также, что зависимость коэффициента теплопроводности диэлектрических спиралей от температуры выражается законом  $\lambda = \lambda_0 \exp(-\beta T)$ . Такой закон хорошо описывает указанную зависимость для опора из алмаза, окиси берилла, окиси алюминия [10].

Решение задачи строится методом частных областей с уче-

том того, что система обладает симметрией порядка  $2N$  ( $N$  - число стержней). Для построения решений в частных областях 1, 2, 3/ введем кусочно-постоянные функции распределения тепловых потоков на границах сопряженных областей 1 - 2 и 2 - 3:

$$z = z_0 + \varphi_{12}, \quad \varphi_{12} \in [0, \varphi], \quad \varphi \in [0, \frac{\pi}{2}], \quad (1)$$

$$z = z_0 + \varphi_{23}, \quad \varphi_{23} \in [0, \varphi], \quad \varphi \in [0, \frac{\pi}{2}]. \quad (2)$$

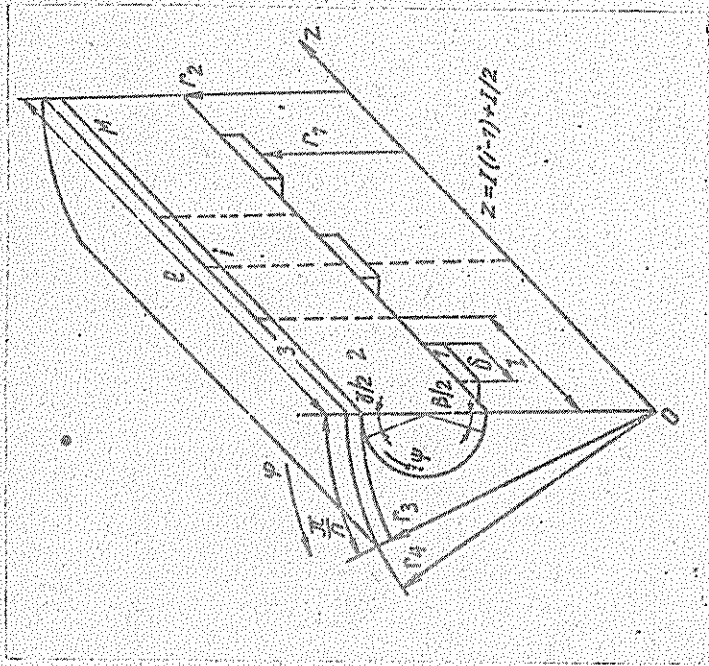


Рис. 1. ВЧ пакет со спиральной СЗ: 1 - виток, 2 - опорный стержень, 3 - обаллон

В области I решение краевой задачи Неймана строится методом разделения переменных и имеет вид

$$U_{1i} = \sum_{k=1}^{\infty} (A_{1k}^i \xi^k + B_{1k}^i \xi^{-k}) \cos(k\varphi) + C_{1k}^i \exp(-\beta z);$$

$$A_{1k}^i \xi^{k-1} - B_{1k}^i \xi^{-k-1} = 0;$$

$$A_{1k}^i \xi_0^{k-1} - B_{1k}^i \xi_0^{-k-1} = \frac{\beta \varphi_{12} \xi_0^{k-1} \cos(k\varphi)}{\beta(\xi_0 - \xi_0^{-1}) \lambda_0 \exp(-\beta z_0)}; \quad A_{1k}^i = -\frac{\beta \varphi_{12}}{\lambda_0}; \quad (3)$$



A818324

где  $C_0^i$  - неизменная константа:  $\mu = \mu \pi$ ;  $\varphi_i = \beta(\xi_3 - \xi_2) / (4r_2)$ ;  
номер витка  $i = 1, 2, \dots, M$ ;

$$P_i = \frac{Q_i}{2\pi r_2 \delta} = \frac{r_1 \delta (\xi_3 - \xi_2) \pi}{4\pi r_2 \delta}$$

( $Q_i$  - тепловая нагрузка на  $i$ -й виток (Вт), являющаяся кусочно-  
постоянной представлением закона  $Q(\xi)$ ).

Для определения температурного поля в области [2] использо-  
вана постановка, линейризуемая краевую задачу [4]. Это позволи-  
ло задачу Наймана для области 2 также решить методом разделения  
переменных:

$$Q_2(\xi_0, \varphi, z) = -\frac{1}{2} C_0 \sum_{m=0}^{\infty} \sum_{n=1}^{\infty} (A_{2m} \cos(m\varphi) + B_{2m} \sin(m\varphi)) \times$$

$$\frac{2\pi I_m \cos(\frac{m\pi}{2M} z_0) \cos(\frac{m\pi}{2M} z)}{\cos(\frac{m\pi}{2M} z_0) \cos(\frac{m\pi}{2M} z)} \sum_{k=1}^{\infty} \frac{A_k}{k} \cos(kr_2 \varphi) + \sum_{k=1}^{\infty} \frac{B_k}{k} \cos(kr_2 \varphi) \cos(\frac{m\pi}{2M} z) + C,$$

где  $A_{2m} = \frac{2\pi r_2 \delta C_0}{m \pi r_2 \delta} \sum_{i=1}^M \cos(\frac{m\pi}{2M} (z_i - z_0)) \cos(\frac{m\pi}{2M} (z_i - z_0)) P_{2i}$  -

$$- \sin(\frac{m\pi}{2M} z) \cdot \cos(\frac{m\pi}{2M} (z_i - z_0)) \sin(\frac{m\pi}{2M} z) \cdot (-1)^m P_{2i},$$

$$B_{2m} = \frac{2\pi r_2 \delta C_0}{m \pi r_2 \delta} \sum_{i=1}^M P_{2i} \cos(\frac{m\pi}{2M} (z_i - z_0)) \cos(\frac{m\pi}{2M} (z_i - z_0)) - z,$$

$B_{2m} = 0$ ,

$$A_{2m} = \frac{2\pi r_2 \delta C_0}{m \pi r_2 \delta} \sum_{i=1}^M \cos(\frac{m\pi}{2M} (z_i - z_0)) \cos(\frac{m\pi}{2M} (z_i - z_0)) \cos(\frac{m\pi}{2M} (z_i - z_0)) P_{2i},$$

$$C_2 = \frac{2\pi r_2 \delta C_0}{m \pi r_2 \delta} \sum_{i=1}^M [1 - \cos(\frac{m\pi}{2M} z)] \sin(\frac{m\pi}{2M} z) \cos(\frac{m\pi}{2M} (z_i - z_0)) P_{2i},$$

$$C_2 = \frac{2\pi r_2 \delta C_0}{m \pi r_2 \delta} \sum_{i=1}^M \cos(\frac{m\pi}{2M} (z_i - z_0)) \cos(\frac{m\pi}{2M} (z_i - z_0)) C_{2m} = \begin{cases} 2\pi r_2 \delta C_0 & \text{при } m=0, \\ 0 & \text{при } m \neq 0. \end{cases}$$

С целью построения решения в области 3 уравнение теплопро-  
водности интегрируется по горизонтальному  $z$ ; с учетом этого приходим  
к следующей краевой задаче:

$$- \frac{C_0}{2} \sum_{i=1}^M \frac{P_{2i}}{r_2} \cos(\frac{m\pi}{2M} z) \cos(\frac{m\pi}{2M} z) + \frac{1}{2} (C_1 - C_2) \sum_{i=1}^M P_{2i} = 0,$$

$$\frac{\partial Q_2}{\partial z} \Big|_{z=0} = \frac{\partial Q_2}{\partial z} \Big|_{z=c} = \frac{\partial Q_2}{\partial r} \Big|_{r=0} = \frac{\partial Q_2}{\partial r} \Big|_{r=r_2} = 0,$$

где  $\delta \mu (\varphi, z)$  - распределение приведенного коэффициента теплопро-  
водности на внешней поверхности баллона:

$$\delta \mu (\varphi, z) = \begin{cases} \delta \mu_j, & z \in [(j-1)l, jl], j=1, 2, \dots, M, \varphi \in [\alpha_j, \frac{2\pi - \alpha_j}{2}], \\ 0, & z \in [0, l], \varphi \in [\frac{\alpha_j - \alpha_{j+1}}{2}, \frac{\alpha_j + \alpha_{j+1}}{2}]. \end{cases}$$

Введение функции  $\delta \mu$  позволяет существенно приблизить  
расчетную модель к реальной конструкции, поскольку учитываются  
возможность учета особенностей магнитной пермидической фокусируе-  
мой системы, магнитных окончаний, элементов тепловода. Ре-  
шение для области 3 строится методом конечных разностей (рис.2):

$$Q_j - Q_{j+p-1} = 0, j=1, 2, \dots, p;$$

$$Q_j - Q_{j+1} = 0, j=(i-1)p+1 \dots i, i=2, 3, \dots, p+1;$$

$$Q_{j-1} - Q_j = 0, j=i(p+1)-2 \dots i, i=2, 3, \dots, p+1;$$

$$Q_{j-p-1} - Q_j = 0, j=(M+1)(p+2)-1, \dots, Mp+2, (p+1)M;$$

$$\delta_1 Q_{j-p-1} + \delta_2 Q_{j-1} + \delta_3 Q_j + \delta_4 Q_{j+1} + \delta_5 Q_{j+p-1} = E, j=p+2; (5)$$

$$\delta_1 Q_{j-p-1} + \delta_2 Q_{j-1} + \delta_3 Q_j + \delta_4 Q_{j+1} + \delta_5 Q_{j+p-1} = E, j=M(p+2);$$

$$\delta_1 Q_{j-p-1} + \delta_2 Q_{j-1} + \delta_3 Q_j + \delta_4 Q_{j+1} + \delta_5 Q_{j+p-1} = E, j=i(p+2)-2$$

$$\delta_1 Q_{j-p-1} + \delta_2 Q_{j-1} + \delta_3 Q_j + \delta_4 Q_{j+1} + \delta_5 Q_{j+p-1} = 0, j=p+3, \dots, 2(p+1);$$

$$\delta_1 Q_{j-p-1} + \delta_2 Q_{j-1} + \delta_3 Q_j + \delta_4 Q_{j+1} + \delta_5 Q_{j+p-1} = 0, j=M(p+2)+1, (M+1)(p+2)-3;$$

$$\delta_1 Q_{j-p-1} + \delta_2 Q_{j-1} + \delta_3 Q_j + \delta_4 Q_{j+1} + \delta_5 Q_{j+p-1} = 0, j=(i-1)p+2i-2+k$$

$$i=3, k=1, 2, \dots, p-1, i=4, k=1, 2, \dots, p-2, \dots, i=p-1,$$

где

$$\delta_1 = \delta_5 = \frac{2\pi r_2 \delta}{2\pi r_2 \delta} \cos(\frac{m\pi}{2M} z); \delta_2 = \delta_4 = \frac{1}{2}; \delta_3 = \frac{2\pi r_2 \delta}{2\pi r_2 \delta}.$$

$$C_2 = \frac{2\pi r_2 \delta C_0}{m \pi r_2 \delta} \sum_{i=1}^M \frac{P_{2i}}{r_2} \cos(\frac{m\pi}{2M} z) \cos(\frac{m\pi}{2M} z); F_2 = -\frac{\delta_1^2 C_2}{2\pi r_2 \delta}$$

Символ  $\zeta$  относится к углам, отмеченным на рис. 2 кружками;  $\zeta_i$ ,  $\zeta_{2i}$  - шаг разбиений по координатам  $\xi$  и  $\eta$ ;  $\vartheta = 1, 2, \dots, M$ .

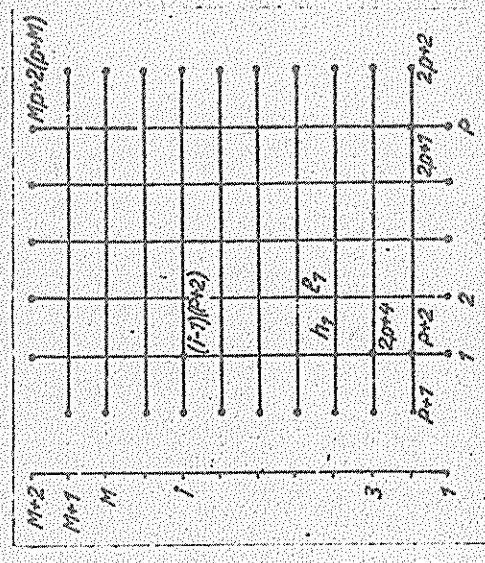


Рис. 2. Сеточная аппроксимация, использованная для расчета температурного поля корпуса ВЧ пакета

Для определения неизвестных граничных условий (2) рассмотрим  $\zeta$ -й угол сварки частотных резонаторов для областей 2 и 3. Температура стержня в этой точке может быть определена по формуле

$$\vartheta_{\zeta i}(\zeta = \rho_{\zeta}, \xi = 1) = \frac{1}{2} \sum_{\vartheta=1}^M \vartheta_{\zeta i}(\rho_{\zeta}, \xi = 1, \zeta = \vartheta, M, \zeta) \quad (6)$$

где  $\zeta_{1/2}$  - удельное термическое сопротивление контакта стержня-корпуса.

В соответствии с (6) формулируется задача минимизации функции многих переменных [10]. Необходимо найти такой набор  $\vartheta_{\zeta i}, C$ , который позволит получить минимум функции

$$F = \sum_{\zeta=1}^{M+2} \sum_{i=1}^N \vartheta_{\zeta i}^2 \left( \frac{1}{2} \sum_{\vartheta=1}^M \vartheta_{\zeta i}(\rho_{\zeta}, \xi = 1, \zeta = \vartheta, M, \zeta) + \vartheta_{\zeta i}(\zeta = \rho_{\zeta}, \xi = 1) \right)^2 \quad (7)$$

в (M+1)-матрице параметризации  $\{\vartheta_{\zeta i}, \vartheta_{\zeta i}, \vartheta_{\zeta i}, \vartheta_{\zeta i}\} = M, \sqrt{C}, C$  где  $C = 0$ , если выполняются необходимые условия существования второй краевой задачи (итерации по замкнутому контуру от теплового потока равны нулю);  $C = 1$ , если условие не выполняется ( $\vartheta_{\zeta i}, C$  - ищные граничные значения параметров  $\vartheta_{\zeta i}, C$ ).

$\vartheta_{\zeta i}, C$  - верхние границы варьируемых параметров  $\vartheta_{\zeta i}, C$ . Подстановкой найденных величин  $\vartheta_{\zeta i}$  и  $C$  в соотношения (4), (5) позволят определить температурные поля в областях 2 и 3.

Для определения температурного поля витков ЭС используется условие сопряжения областей 1 и 2:

$$\vartheta_{\zeta i}(\zeta = \rho_{\zeta}, \xi = \rho_{\zeta}) = \vartheta_{\zeta i}(\zeta = \rho_{\zeta}, \xi = 1) + \frac{1}{2} \sum_{\vartheta=1}^M \vartheta_{\zeta i}(\rho_{\zeta}, \xi = \rho_{\zeta}, \zeta = \vartheta, M, \zeta) \quad (8)$$

где  $\zeta_{1/2}$  - удельное термическое сопротивление контакта витков ЭС со стержнем ( $\zeta = 1, 2, \dots, M$ ). Из этого условия найдены неизвестные константы  $C_{\zeta i}$ :

$$C_{\zeta i} = \vartheta_{\zeta i}(\zeta = \rho_{\zeta}, \xi = \rho_{\zeta}) - \frac{1}{2} \sum_{\vartheta=1}^M \vartheta_{\zeta i}(\rho_{\zeta}, \xi = \rho_{\zeta}, \zeta = \vartheta, M, \zeta) \quad (9)$$

Знание констант  $C_{\zeta i}$  позволяет по формуле (3) определить распределение температуры по виткам ЭС.

В соответствии с описанной методикой была составлена программа-анализ, ориентированная на ЭМ БЭСМ-6. Составление численных результатов анализа температурного поля ЛВЭО по предложенной модели и по модели, описанной в работе [7], показало, что пренебрежение нелинейной зависимостью коэффициента теплопроводности керамики от температуры приводит к 15-25 %-ной погрешности в определении максимальной температуры спиралей.

Л и т е р а т у р а

1. Jackson J.A. Some aspects of circuit dissipation in High Power CW helix TWT. Part I: General theory. IEEE Trans. 1969, Vol. AP-16, #9, 86.
2. Крустачев К.И. Расчет температуры в "гладкой" замкнутой системе, и внутренней поверхности которой подводится поток тепла // Электронная техника. Сер. 1. Электроника СВЧ. 1970. № 12. С. 86-88.
3. Крустачев К.И. Расчет температуры в круглых диэлектрических отрезках в линейном приближении // Электронная техника. Сер. 1. Электроника СВЧ. 1971. № 3. С. 70-75.
4. Крустачев К.И. Мелкоинерционный геттоновый режим секторных круглых диэлектрических опор // Электронная техника. Сер. 1. Электроника СВЧ. 1972. № 7. С. 18-22.
5. Крустачев К.И., Рамалорт Г.И. Расчет температурного режима спиралей в ЛВЭО круглых опорных стержнях // Изв. вузов. Радиотехника. 1978. Т. 22. № 10. С. 99-104.
6. Юли А.М., Ильина Е.М., Маньяк И.А. Нелинейные явления в СВЧ приборах О-плана с итерными взаимодействиями. М., 1975.

7. Дашковский В.А. Модель расчета температурного поля ВЧ пакета со спиральной замедляющей системой // Электронная техника. Сер. I. Электроника СВЧ. 1980. № 7 (319). С. 7.

8. Espinosa R.J. Improved TWTs for broadband jamming //

Microwaves, 1969. Vol. 8. № 11. P. 52-58.

9. Кржижановский Р.Е., Штерн В.М. Теплофизические свойства неметаллических материалов. Л., 1973.

10. Митрофанов В.Б. Об одном алгоритме многомерного случайного поиска. Препринт ИИМ АН СССР. М., 1974.

УДК 621.3.032.21

А.С.Лановелов

### ЭКСПЕРИМЕНТАЛЬНЫЕ ИССЛЕДОВАНИЯ И ОБЪЕМНАЯ МОДЕЛЬ НЕОДНОРОДНОГО ЭМИТТЕРА

Анализ основных тенденций развития электронной техники показывает [1-17], что многие вакуумные приборы СВЧ в обозримом будущем не будут заменены твердотельными приборами. В частности, это относится к ЛВВ, используемым в передатчиках космической связи [1-4]. По этой причине представляется существенной практический интерес дальнейшие теоретические и экспериментальные исследования таких важных элементов вакуумных электронных приборов, как эмиттеры электронов. Примененные находят эмиттеры различных типов и принципов действия: термокатоды, холодные катоды [12, 16, 17], фотокатоды [18], вторично-электронные катоды [12] и др. Так, является перспективным использование металлоканионных термокатодов в новых типах электронных приборов — в вакуумных интегральных схемах [1]. Оксидный катод находит широкое применение в ламинесцентных дисплеях [15], холодный катод — в плазменных приборах ультрамалого размера [12] и т.д.

Одной из важнейших особенностей современных эффективных термокатодов является их неоднородность, то есть пространственное и временное изменение их физико-химических свойств. Рассмотрены некоторые экспериментальные результаты исследования термокатодов, которые показывают существование нескольких видов неоднородностей, оспаривая возможность их математического описания в рамках обобщенной модели неоднородного эмиттера, определяем степень их влияния на выходные параметры электронных приборов. Хотя рассматриваемая модель для определенности и описывает эмиттеры термокатодов, многие выводы из экспериментальных результатов, а также методы обобщенной модели эмиттера оудут, видимо, справедливы и для других видов катодов.

Многочисленные экспериментальные исследования термокатодов обнаружили неоднородность их эмиссионной способности (плотности тока эмиссии) вдоль поверхности катода [19-30]. Так, в [24] торцевой оксидный катод диаметром 3,2 мм с толстой оксидной пленкой 65 мкм исследовался методом эмиссионной микроскопии. Эмиссионные микротоки показали, что его эмитирующая поверхность пятнистая. При этом размеры эмитирующих зерен лежат в пределах от 1,5 до 5 мкм. Аналогичные экспериментальные результаты по эмиссионной неоднородности поверхности катода получены в работах [19] [25-27] для оксидного катода, а в работах [19] [23, 28] — для  $L$ -катода.

В 29 неоднородности эмиссии оксидного  $L$ -катода и эмиссионного катода исследовалась методом сканирующего отверстия. В этих экспериментах фиксировался ток, поступающий на коллектор через небольшие отверстия в аноде. Диаметр отверстия составлял 10 мкм. Для сканирования катод перемещался параллельно аноду. Полученные кривые, характеризующие зависимость плотности тока эмиссии от положения сканируемого отверстия, имеют пульсирующий характер. Типичный пример плотности тока для оксидного катода составляет примерно 1,5-2, а для  $L$ -катода — 3-6.

В работах [31-33] производилось экспериментальное исследование распределения работы выхода вдоль поверхности оксидного катода. Для характеристики соответствующей неоднородности катоды автор вводит в рассмотрение плотность распределения  $B(\varphi)$  площади поверхности катода по работе выхода  $\varphi$  [31]. Соответствующие кривые определялись при помощи дуэргатного графического дифференцирования кривых задержки. Экспериментальные кривые  $B(\varphi)$  имеют колоколообразную форму. При температуре катода  $T = 1230$  К кривая лежит между точками  $\varphi = 2,5$  эВ и  $\varphi = 3,5$  эВ, то есть ширина ее основания составляет примерно 1 эВ. С уменьшением температуры  $T$  кривые  $B(\varphi)$  сменяются в область более узких значений работы выхода и сужаются. При  $T = 740$  К кривая располагается между точками  $\varphi = 1,75$  эВ и  $\varphi = 2,25$  эВ. По численные данные свидетельствуют о существенной неоднородности поверхности катода по работе выхода. В [33] распределение работы выхода по поверхности оксидного катода исследовалось путем сканирования поверхности катода тонким световым лучом диаметра 50 мкм и измерения фототока с освещенной поверхности. Зафиксированный разброс значений работы выхода составил 0,13 эВ.

Экспериментально исследовалось и распределение скоростей

эмитированных электронов [20, 22, 34-36]. Изучение тангенциальных скоростей электронов, эмитированных реальным оксидным катодом, показало, что величина разброса этих скоростей может существенно превышать соответствующую величину для идеального оксидного катода, то есть величину тангенциальной скорости электронов. Так, в [34] для определения тангенциальных скоростей электронов в аноде экспериментальной лампы было сделано отверстие диаметром 40 мкм, а на расстоянии 7,5 см от анода расположен флуоресцирующий экран. О величине тангенциальной составляющей кинетической энергии электронов можно было судить по размерам светящегося пятна на экране. Эксперименты показали, что для оксидного катода, полученного путем напыления, тангенциальные составляющие кинетической энергии электронов могут достигать 10 эВ. За счет механического огибания поверхности покрытки, а также за счет использования покрытки, полученного катодоразом, эту величину можно существенно уменьшить, например, до 0,5 эВ.

Экспериментальное исследование нормальных составляющих скоростей электронов, эмитированных оксидным катодом, проводилось методом задерживающего потенциала, показывая [20, 35], что эффективная электронная температура, характеризующая величину продольных скоростей электронов, может достигать 1100 К, а ширина кривой распределения электронов по энергии — 2,5-5 эВ. Характерно, что кривая распределения в этом случае имеет довольно широкую плоскую центральную часть. Аналогичные исследования проводились другим методом — на основе использования спектрометра энергии заряженных частиц [36]. Ширина основания кривой распределения составляла примерно 0,5 эВ. Для оксидных оксидных катодов здесь была получена эквивалентная электронная температура, তবে более высокая, чем температура, найденная при термокатодном методе.

Экспериментальные исследования профилей шумов эффективных термокатодов показывают, что в ряде случаев они могут быть аналогичны эмиссии и на 1-2 порядка превышать теоретические значения. Определены формулы Поткина [37-40]. Это обстоятельство, по-видимому, свидетельствует о том, что помимо пространственной неоднородности эмиссии в указанных случаях может иметь место и временная неоднородность, то есть дополнительные неупорядоченные флуктуации эмиссионной способности катода, вызванные такими процессами, как колебания потенциального барьера, адсорбция атомов остаточных газов, огибание оксидного слоя, восстановление окиси бария металлами керна, образование газиточного ба-



рия и его диффузия на поверхность. Эмиссия катода определяется динамическими эмиссионными центрами, а изменение эмиссии при токовосстанове объясняется разрушением эмиссионных центров при электронной бомбардировке эмиттера [41, 42]. Физические процессы всех этих процессов можно трактовать как непрерывную смену эмиссионных состояний эмиттера.

Неоднородности и нерегулярности, обнаруженные экспериментально, влияют на эмиссионные и шумовые свойства термокатодов и приборов, созданных на их основе. Испытательный характер эмиссии является дисперсион (разрос) тока эмиссии, а также изменяет спектральную плотность флукуирующей центра тяжести электронного пучка или спектральную плотность флукуирующей поперечной тока электронного луча. Последние характеристики влияют на шумовые параметры ряда СВЧ приборов, в частности, на шумовые характеристики электронно-лучевых приборов М-типа.

Неоднородность эмиссионных состояний термокатода ведет к возрастанию такого важного параметра катода, как спектральная плотность флукуирующей продольной тока луча, определяющую шумовые свойства ряда СВЧ приборов О и II типов.

Повышение дисперсии тангенциальных и нормальных скоростей электронов, как правило, объясняется неэмпирецистическими флукуирующей поверхности, геометрической нерегулярностью поверхности, существованием микрорельефа и поперечного падения напряженности на катодной искровке, изменением работы выхода вдоль поверхности катода. Увеличение дисперсии электронных скоростей влечет за собой увеличение спектральной плотности флукуирующей продольной и поперечной скоростей электронного пучка, формулировку электронного пучка с данным катодом.

В реальном катоде все перечисленные акты неоднородностей присутствуют одновременно. В связи с этим возникает необходимость в создании такой обобщенной модели неоднородного эмиттера, которая позволила бы осуществлять одновременный учет влияния отмеченных неоднородностей на все основные шумовые и эмиссионные параметры катода. К ним относятся спектральные плотности флукуирующей продольной и поперечной составляющих тока и скорости электронного пучка, а также средние значения и дисперсия тока эмиссии. В работах [44-46] содержится целый ряд моделей, позволяющих оценить дисперсию тока и спектральную плотность флукуирующей продольной составляющей тока и скорости электронного пучка, эмиттированного неоднородным катодом. Однако в них не отражены модели, позволяющие оценить спектральные плотности

флукуирующей поперечной составляющей тока и скорости пучка. Без этих величин рассмотрение флукуирующих параметров катодов носит незаконченный характер. Кроме того, в указанных работах со-держится множество моделей, соответствующих различным режимам работы многих типов термокатодов. Очевидно, есть смысл выделить наиболее типичные и удобные математические и физические модели и, в первую очередь, рассмотреть модель неоднородного эмиттера, позволяющую учесть все основные виды неоднородностей. Рассмотрим одну из возможных реализаций решения этой задачи.

Для описания эмиссионных и шумовых свойств неоднородного катода сформируем основные черты его обобщенной модели. Будем считать, что флукуирующая поверхность катода представляет собой совокупность круглых перекрывающихся зерен различных типов. Обозначим через  $R(z)$  функцию распределения зерен по величине их радиуса. Плотность тока эмиссии зерен является случайной величиной, распределенной по некоему закону. С физической точки зрения флукуирующее зерно может представлять собой выходное отверстие полого шероховатого катода или плоский эмиссионный центр (элемент) гладкого катода. При заданных геометрических размерах катода число и площадь активных и пассивных центров от образца к образцу будет меняться и означать дисперсию тока эмиссии. Кроме того, в зависимости от типа поверхности характер флукуирующей поверхности тока эмиссии отдельных полюсов, на которые может быть разбит, например, ленточный катод, будут различны. Следовательно, плотность распределения поперечной координаты точки вылета электрона определяется по равномерным законом (как обычно предполагается), а ступенчатой функцией, состоящей из I-образных импульсов разной высоты, число которых равно числу флукуирующих полюсов, на которые разбивается катод. Описанный "деформации" закона распределения координаты точки эмиссии электрона сдвигается на величину спектральной плотности флукуирующей центра тяжести (или поперечного тока) электронного пучка.

Будем также считать, что описываемая модель катода характеризуется множеством эмиссионных состояний, параметр интенсивности которых  $\lambda$  является случайной величиной [44]. Принадлежность к какому-либо состоянию эмиссионных состояний имеет случайный характер параметра интенсивности и может описываться функцией экспоненциального закона. Будем также считать, что описываемая модель катода и учесть влияние шума эмиссионных состояний на величину спектральной плотности флукуирующей продольной составляющей тока электронного пучка.

Согласно модели эмитирующей поверхности катода градиенты неквантованной, вследствие чего происходит ускорение электронов в порах шероховатого катода или в приповерхностной области катода со слаженным (слабо выраженным) рельефом. Отмечено ускорение электронов определяется случайным потенциалом и приводит к изменению спектральной плотности флуктуаций как продольной, так и поперечной составляющих скорости электронного пучка. Для упрощения расчетов будем предполагать, что микрорельеф эмитирующей поверхности представляет собой совокупность выпуклостей и впадин, состоящих из элементарных площадок, ориентированных относительно отсчетной плоскости [46] (касательной к эмитирующей поверхности) двояким образом: или параллельно (горизонтально), или перпендикулярно (вертикально). Выходом в отсчетную плоскость тех электронов, которые эмитированы в ориентированных элементах поверхности, будем пренебрегать. Таким образом, в соответствии с моделям все электроны, поступающие в отсчетную плоскость, эмитированы горизонтальными элементами, находящимися на различной глубине от отсчетной плоскости. Поэтому плотности распределения нормальных и тангенциальных (относительно отсчетной плоскости) составляющих начальных скоростей электронов на любом эмитирующем элементе катода будут попутны друг другу, как и на идеальном катоде. Продолжительное составление будем считать распределенным по закону Гаусса, тангенциальное — по закону Гаусса [22, 23].

Для облегчения рассуждений будем полагать, что изменение продольных и поперечных скоростей электронов при ускорении их перед попаданием в отсчетную плоскость можно опускать введением эквивалентных продольного  $U_{\parallel}$  и поперечного  $U_{\perp}$  потенциалов, которые носят случайный характер.

Значения параметров  $\lambda$ ,  $\varphi_{\parallel}$  и  $\varphi_{\perp}$  полнотельно и определенно множеством факторов. Поэтому наиболее обоснованном с математической точки зрения законом распределения для них является, пожалуй, усеченный нормальный закон. Однако при расчетах использования этого закона часто вводят к математическим трудностям и громоздким выражениям. Поэтому вместо усеченного нормального распределения целесообразно ввести близкий к нему по виду кривой гамма-распределение или его частный случай — закон Эрланга. В дальнейшем будет предполагаться, что плотности вероятности параметра  $\lambda$  описывается гамма-распределением, а величин  $\varphi_{\parallel}$  и  $\varphi_{\perp}$  распределены по закону Эрланга [47].

Основные положения, характеризующие обобщенную модель неоднородного эмиттера, позволяют оценить все ее эмиссионные и шумовые параметры. Среднее значение и дисперсия тока эмиссии неоднородного эмиттера [44]:

$$I = S D e d_0 \bar{z}^2 j, \quad (1)$$

$$D(I) = 4 d_0^2 j^2 \iint \iint f(\alpha) f(\beta) / (2 \pi \cos \alpha \cos \beta) \int d\alpha \int d\beta \int dS_1 dS_2 \quad (2)$$

где  $e$  — заряд электрона,  $d_0$  — диаметр эмиттера,  $dS_1$  и  $dS_2$  — площадь эмиттера,  $z^2$  — средний квадрат радиуса зерна,  $j$  и  $j^2$  — среднее значение и средний квадрат плотности тока.

Расчитаем спектральную плотность флуктуаций центра тяжести электронного пучка (поперечного тока) на неоднородном катоде. Если тангенциальную относительно поверхности катода координату центра тяжести электронного пучка  $Y$  звесты методом моментов и уравнивания поперечных координат  $z$  точек эмиссии отдельных электронов [48], то, проводя рассуждения, аналогичные приведенным в [49], трудно получить следующую связь спектральной плотности флуктуаций  $Y$  с дисперсией электронных координат  $Y_{eY}$ :

$$S_Y(\omega) = e D^2 Y_{eY} / (2 \pi I_0), \quad (3)$$

где  $\omega$  — круговая частота,  $e$  — абсолютная величина заряда электрона,  $I_0$  — постоянная составляющая тока эмиссии.

Для равномерного закона распределения величины  $z$ , характерного для однородного катода,  $D(Y_{eY}) = e^2/4z_0^2$ , где  $e$  — интервал определения случайной величины (поперечный размер катода). Соответственно спектральная плотность

$$S_Y(\omega) = e e^2 / (2 \pi I_0 z_0^2). \quad (4)$$

Соотношение (4) совпадает с аналогичным выражением для  $S_Y(\omega)$ , полученным в [50] другим способом.

Поперечные смещения положения луча приводят к возникновению случайного поперечного тока. Для нахождения его спектральной плотности можно воспользоваться связью переменных составляющих координат  $Y$  и тока  $I$  пучка, полученной в теории электронно-лучевых приборов М-типа на основе модели тонкого электронного луча [51]:  $\bar{z}^2 = \beta e^2 I_0 / Y$ , где  $\beta e = u_0 / c$ ,  $u_0$  — постоянная составляющая скорости электронного потока. Тогда

$$S_Y(\omega) = \beta e^2 I_0^2 S_Y(\omega). \quad (5)$$

В случае неоднородного катода плотность распределения  $\rho(\omega)$  не описывается законом равномерной плотности, а может быть аппроксимирована ступенчатой кривой. Разобьем мысленно ленточный катод, поперечные границы которого проходят через точки  $y = z \frac{\omega}{2}$ , на три полосу, перпендикулярные оси  $y$ , и предположим, что в пределах каждой полосы величина  $\rho(\omega)$  не изменяется, то есть плотность вероятности описывается соотношением:

$$\rho(\omega) = \begin{cases} C_1 & \text{при } 0 \leq \omega \leq \omega/2, \\ C_2 & \text{при } \omega/2 < \omega \leq \omega, \\ C_3 & \text{при } -\omega/2 \leq \omega < -\omega/2, \end{cases}$$

где  $1/C_1 \leq C_2$  и  $C_3$  - постоянные величины.

Введем в рассмотрение два параметра, характеризующих неоднородный катод:  $g = \frac{C_2}{C_1}$  - параметр неоднородности эмиссионной способности катода и  $\sigma = \frac{C_3}{C_1}$  - параметр неоднородности поверхности. Величина  $g$  характеризует перепад эмиссионной способности эмиттера вдоль его поверхности. Величина  $\sigma$  дает отношение площади периферийной области катода, вмещающей аномальную эмиссионную способность, ко всей площади катода.

Используя условия нормировки, найдем:

$$C_1 = \frac{2}{1 + \sigma(g-1)}, \quad C_2 = \frac{2}{1 + \sigma(g-1)} \cdot g$$

Расчет дисперсии координаты  $y$  точки вылета электрона и спектральной плотности флуктуирующей центра тяжести  $Y$  электронного луча приводит к следующим выражениям:

$$D(y) = \frac{e^2}{2\pi I_0} \cdot \sigma, \quad (6)$$

где  $\sigma = g(1 - \sigma^2(g-1)) / [2(1 + \sigma(g-1))]$  - коэффициент, характеризующий изменение спектральной плотности флуктуирующей центра тяжести электронного луча по сравнению с аналогичной величиной для однородного эмиттера. Подставляя (6) в (5), получим спектральную плотность флуктуирующей поперечной тока. От выражения для однородного катода она отличается множителем  $\sigma$ .

Кривые зависимости коэффициента  $\sigma$  от параметра эмиссионной неоднородности  $g$  для различных значений параметра неоднородности  $\sigma$  показаны на рис. 1. Увеличение шумов наблюдается лишь при  $g > 1$ . Реальные значения  $\sigma$  в этом случае могут достигать значений 1,5 - 2. При  $g < 1$  катод имеет меньшие эквивалентные поперечные размеры, поэтому значения  $\sigma$  оказываются меньше единицы.

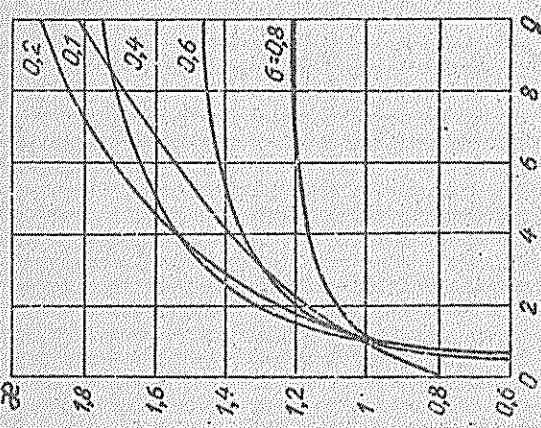


Рис. 1. Зависимость коэффициента  $\sigma$  от параметра эмиссионной неоднородности эмиттера  $g$  ( $\sigma = 0,1; 0,2; 0,4; 0,6; 0,8$ )

Согласно [49] в синхронном режиме работы ЛБМ-усилителя основной вклад в коэффициент шума вносит флуктуация смещения электронного луча. Вклад этих величин в избыточный коэффициент шума на несколько порядков превышает аналогичную величину, обусловленную флуктуациями продольной и поперечной скоростей электронного луча. При  $\sigma = 1,5 - 2$  вклад флуктуирующей поперечной смещений в избыточный коэффициент шума усилителя о неоднородным катодом увеличивается также в 1,5 - 2 раза, то есть на 2 - 3 дБ по сравнению с соответствующей величиной для ЛБМ с однородным катодом.

Расмотрим флуктуации продольного тона (шумовой) на неоднородном катоде, характерным набором непрерывным набором следующих друг за другом эмиссионных состояний. Если условную плотность вероятности интервала времени  $\tau$  между последовательными моментами вылета электронов принять экспоненциальной, а параметр  $\lambda$  этого распределения считать случайной величиной, распределенной по гамма-закону, безусловная плотность вероятности интервала  $\tau$  примет вид [45]

$$F(\xi) = \begin{cases} \lambda_0 c (\xi - 1)^{\lambda_0} e^{-\lambda_0 (\xi - 1)} & \text{при } \xi \geq 0, \\ 0 & \text{при } \xi < 0, \end{cases} \quad (7)$$

где  $\lambda_0$  - мода распределения  $\lambda$ ,  $c$  - параметр формы.

Спектральная плотность флуктуаций продольного тока в режиме смены эмиссионных состояний определится выражением [44]

$$S_{i_z}(\omega) = \frac{e^2 I_0}{2\pi} D_z^2, \quad (8)$$

где  $D_z^2$  - квадрат коэффициента вариации интервала. Для плотности распределения (7) величина  $D_z^2$  определяется коэффициентом вариации  $D_\lambda$  параметра  $\lambda$ :

$$D_z^2 = \begin{cases} (1 - 2D_\lambda^2) & \text{при } D_\lambda^2 < 0.5, \\ 0 & \text{при } D_\lambda^2 \geq 0.5, \end{cases} \quad (9)$$

притом  $D_\lambda^2 = 1/2c$ . Не вытекает (9) вытекает, что с ростом  $D_\lambda$  коэффициент  $D_z^2$  увеличения флуктуаций продольного тока непрерывно возрастает. Для реальных значений  $D_\lambda$  величина  $D_z^2$  может достигать 10 и более единиц. Это означает, что рассматриваемый тип неоднородности катода может на порядок увеличивать вклад флуктуаций продольной составляющей тока в избыточный коэффициент шума ЛБМ [43].

Минимальный коэффициент шума ЛБВ-усилителя типа 0, как известно, равен

$$F_{min} = 1 + \frac{2T}{eT} (S - \Pi), \quad (10)$$

где  $S$  и  $\Pi$  - шумовые инварианты пучка,  $T$  - температура входной цепи. В отсутствие корреляции флуктуаций тока и скорости на катоде

$$S = \sqrt{S_{i_z}(\omega) S_{v_z}(\omega)}, \quad \Pi = 0,$$

где  $S_{i_z}(\omega)$  - спектральная плотность флуктуаций кинетического потенциала. При увеличении  $S_{i_z}(\omega)$  на порядок минимальное значение избыточного коэффициента шума ЛБВ0, как следует из (10), возрастает примерно в 3 раза, то есть на 5 дБ.

Следующим важным параметром эмиттера является спектральная плотность флуктуаций нормальной по отношению к осевой плоскости (назовем ее продольной) составляющей скорости электронного пучка. Если продольная скорость пучка  $v_z$  определяется методом "мгновенного ускорения" продольных скоростей  $\mathcal{U}_z$  электронов, то воспользовавшись катодки, введенной в [49], можно к следующему выражению для спектральной плотности:

$$S_{v_z}(\omega) = e^2 \mathcal{F}\{u_z\} / (2\pi T), \quad (11)$$

где  $\mathcal{F}\{u_z\}$  - дисперсия продольной скорости электронов. Для релеевского закона распределения скоростей  $u_z$  из выражения (11) следует формула Ренжа [48].

Продольная скорость электрона в отчетной плоскости анодного катода связана с его начальной скоростью в точке эмиссии  $u_{0z}$  и эквивалентным продольным ускорением  $\mathcal{U}_z$  соотношением

$$u_z^2 = \sqrt{u_{0z}^2 + 2\mathcal{U}_z u_{0z}}, \quad (12)$$

где  $\rho = \frac{e}{m}$ ,  $m$  - масса электрона. Принимая в качестве законов распределения  $u_{0z}$  и  $\mathcal{U}_z$  плотности распределения Ренжа  $Q(u_{0z})$  и Эрланга  $\theta(u_z)$ , функцию распределения  $f(u_z)$ , плотность распределения  $\mathcal{F}\{u_z\}$  и дисперсию  $\mathcal{D}\{u_z\}$  скорости электрона в отчетной плоскости можно рассчитать с помощью соотношений:

$$f(u_z) = \int_0^{u_z^2/2\mathcal{U}_z} \sqrt{u_{0z}^2 - 2\mathcal{U}_z u_{0z}} Q(u_{0z}) Q(u_z) du_{0z}, \quad \mathcal{F}\{u_z\} = \frac{e^2 f(u_z)}{2\mathcal{U}_z}, \quad (13)$$

$$\mathcal{D}\{u_z\} = \overline{u_z^2} - \overline{u_z}^2; \quad (14)$$

$$\overline{u_z} = \int_0^{\infty} \int_0^{\infty} \sqrt{u_{0z}^2 + 2\mathcal{U}_z u_{0z}} \theta(u_{0z}) \theta(u_z) du_{0z} du_z, \quad (15)$$

$$\overline{u_z^2} = \int_0^{\infty} \int_0^{\infty} (u_{0z}^2 + 2\mathcal{U}_z u_{0z}) Q(u_{0z}) \theta(u_z) du_{0z} du_z, \quad (16)$$

$$\theta(u_{0z}) = \begin{cases} \frac{1}{\mathcal{U}_z} e^{-\frac{u_{0z}^2}{2\mathcal{U}_z}} & \text{при } u_{0z} \geq 0, \\ 0 & \text{при } u_{0z} < 0, \end{cases}$$

$$\theta(u_z) = \begin{cases} 4 \frac{u_z}{\mathcal{U}_z} e^{-2 \frac{u_z^2}{\mathcal{U}_z}} & \text{при } u_z \geq 0, \\ 0 & \text{при } u_z < 0, \end{cases} \quad (17)$$

$\mathcal{U}_z = kT/m$ ,  $\lambda$  - постоянная Больцмана,  $T$  - абсолютная температура катода,  $\mathcal{U}_z$  - среднее значение продольного ускорения потенциала.

Расчет  $f(u_z)$ ,  $\mathcal{F}\{u_z\}$  представляет интерес в том случае, когда предполагается сопоставление этих функций с аналогичными функциями для однородного эмиттера или статистическое моделирование "скоростного" шума на ЭВМ. Перед данной работой такая задача не ставилась; ограничимся расчетом чистовых характеристик.

Вычисление (13) ведет к интегралам, не выражаемым в элементарных функциях. В связи с этим разложим (12), входящее в (14), в ряд по степеням  $\lambda_{\text{ср}} - \lambda_{\text{ср}0}$  и  $\lambda_{\text{ср}} - \lambda_{\text{ср}0}$  и ограничимся первыми тремя членами разложения [52]:

$$U_{\text{ср}} = \sqrt{U_{\text{ср}0}^2 + 2 \lambda_{\text{ср}0} \lambda_{\text{ср}} + \lambda_{\text{ср}}^2} + \frac{U_{\text{ср}0} (\lambda_{\text{ср}} - \lambda_{\text{ср}0})}{\sqrt{U_{\text{ср}0}^2 + 2 \lambda_{\text{ср}0} \lambda_{\text{ср}} + \lambda_{\text{ср}}^2}} + \frac{2 \lambda_{\text{ср}0} \lambda_{\text{ср}} (\lambda_{\text{ср}} - \lambda_{\text{ср}0})}{2 (\lambda_{\text{ср}0}^2 + 2 \lambda_{\text{ср}0} \lambda_{\text{ср}} + \lambda_{\text{ср}}^2)^{3/2}} + \dots \quad (18)$$

Подставив (16)-(18) в (14) и проведя соответствующие вычисления, находим:

$$\lambda_{\text{ср}} = \sqrt{\frac{2}{\pi}} \sigma \lambda_{\text{ср}0} \quad (19)$$

где  $\lambda_{\text{ср}} = [\pi^2 (\sigma^2 + \lambda_{\text{ср}0}^2) \lambda_{\text{ср}} + \lambda_{\text{ср}0}^2] / \sqrt{\pi^2 (\sigma^2 + \lambda_{\text{ср}0}^2)}$  - коэффициент, показывающий увеличение средней скорости электронов вследствие неэквипотенциальности эмитирующей поверхности;  $\sigma = e R_{\text{ср}} / (c \lambda_{\text{ср}})$  - параметр неэквипотенциальности эмиттера. Зависимость коэффициента  $\lambda_{\text{ср}}$  от параметра неэквипотенциальности  $\sigma$  графически изображена на рис. 2 (кривая 1). С изменением  $\sigma$  от 0 до 10 параметр  $\lambda_{\text{ср}}$  возрастает от 1 до 3.

Подстановка в (13) соотношения (19), а также результата расчета  $\lambda_{\text{ср}}$ , вычисленного на основе (15), дает скалярную величину дисперсии продольной скорости электронов на несфокусированном катоде:

$$D(\lambda_{\text{ср}}) = \frac{4 - \pi}{2} \sigma^2 \lambda_{\text{ср}}^2$$

где  $\lambda_{\text{ср}}^2 = \frac{2}{\pi^2} [2 (\lambda_{\text{ср}0}^2 + \lambda_{\text{ср}}^2) - \frac{2}{\pi} \lambda_{\text{ср}}^2]$  - коэффициент, характеризующий увеличение дисперсии скорости электронов на несфокусированном катоде по сравнению с аналогичной величиной для однородного катода. Зависимость  $\lambda_{\text{ср}}^2$  от  $\sigma$  показана на рис. 2 (кривая 2). Для реальных значений  $\sigma$ , когда  $\lambda_{\text{ср}} \approx 1$  В, параметр увеличения дисперсии скорости может достигать 4-5 единиц.

Согласно (11), спектральная плотность флуктуаций продольной скорости электронного пучка на однородном катоде в  $\lambda_{\text{ср}}$  раз превышает уровень, определяемый формулой Рунга для однородного катода:

$$S_{\text{ср}}(\omega) = \frac{e^2 \lambda_{\text{ср}}^2}{4 \pi^2 c} \frac{4 - \pi}{2} \sigma^2 \lambda_{\text{ср}}^2 \quad (20)$$

Величина  $\lambda_{\text{ср}}^2$  показывает, во сколько раз увеличивается за счет неэквипотенциальности катода вклад флуктуаций продольной скорости пуч-

ка в излучении коэффициент шума ЛВВ М-типа [43, 51]. Проведенные данные можно использовать также для оценки влияния неэквипотенциальности эмиттера на минимальное значение излученного коэффициента шума электронно-лучевых усилителей типа О, например, ЛВВО. Увеличение минимального излученного коэффициента шума прибора с неоднородным катодом по сравнению с аналогичной величиной усилителя с однородным катодом равно  $\sqrt{\lambda_{\text{ср}}}$  [44]. Зависимость величины  $\sqrt{\lambda_{\text{ср}}}$  от  $\sigma$  выстроена кривой 3 на рис. 2. Для реальных значений  $\sigma$  величина  $\sqrt{\lambda_{\text{ср}}}$  может достигать 3-5 дБ, т.е. 5-7 дБ.

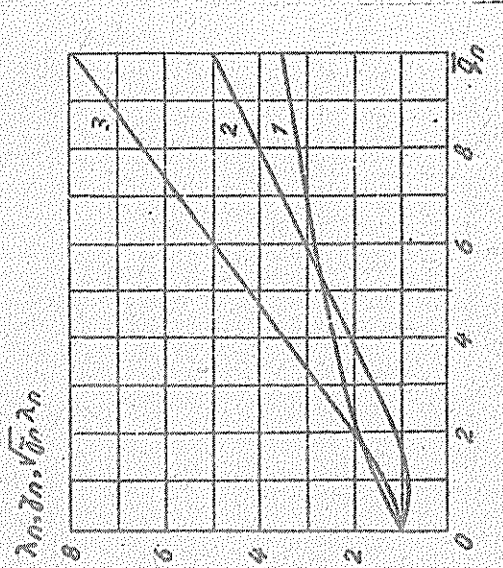


Рис. 2. Коэффициенты увеличения: 1 - средней скорости, 2 - дисперсии скорости электронов, 3 - минимального излученного коэффициента шума ЛВВО

Последним шумовым параметром, который необходимо обсудить на основе обобщенной модели неоднородного катода, является спектральная плотность  $S_{\text{ср}}(\omega)$  флуктуаций поперечной составляющей скорости  $v_{\text{ср}}$  электронного пучка. Она определяется дисперсией  $D(v_{\text{ср}})$  поперечной скорости электронов  $v_{\text{ср}}$  и описывается выражением [49], аналогичным (10):

$$S_{\text{ср}}(\omega) = e D(v_{\text{ср}}) / (2 \pi \lambda_{\text{ср}}) \quad (21)$$

Обычно предполагается [22], что тангенциальные (попереч-

ные) составляющие начальной скорости электронов в точке эмиссии распределены по нормальному закону:

$$W(\alpha, \psi) = \frac{1}{\sqrt{2\pi} \sigma} e^{-\frac{\alpha^2 + \psi^2}{2\sigma^2}} \quad (22)$$

Выражение (22) справедливо именно для проекций  $u_{ax} = u_{ax0}$ ,  $u_{ay} = u_{ay0}$  начальной скорости, а не для абсолютной величины  $\sqrt{u_{ax}^2 + u_{ay}^2}$  поперечной скорости электронов. Покупль поперечной скорости распределен по закону Гаусса [53, 54]. Таким образом, видко  $\mathcal{E}$ -фактическое обозначает направление одной из поперечных осей координат  $\psi$  или  $\mathcal{E}$ .

Для расчета дисперсии поперечной проекции скорости электронов выражение (12) мало пригодно. Оно не учитывает различия ориентаций горизонтальных компонентов начальной скорости и вектора напряженности электрического поля, обусловленного волнами эмитирующей поверхности и обусловленного квазипотенциально-стью катода, поперечная проекция скорости электронов изменяется. Однако в отличие от предыдущего случая этот эффект зависит от направления поля и может приводить как к ускорению, так и к торможению электронов в поперечном направлении. Чтобы получить возможность учитывать распределение вектора напряженности по направлению, определим эквивалентный поперечный потенциал  $\mathcal{E}$

$$\mathcal{E} = u_{ax}^2 / (2 \eta)$$

где  $u_{ax}$  - абсолютная величина дополнительной поперечной компоненты скорости, возникающей под действием электрического поля в процессе движения электрона от точки эмиссии до отсчетной плоскости.

Результативнее значение поперечной проекции скорости электронов в отсчетной плоскости может быть записано так:

$$u_{ax} = u_{ax0} + \sqrt{2 \eta \mathcal{E}} \cos \psi \quad (23)$$

где  $\psi$  - угол между осью  $\mathcal{E}$  и направлением поперечной компоненты электрического поля. Угол  $\psi$  является случайной величиной. Если распределение поперечного электрического поля изотропное, величина  $\psi$ , очевидно, будет распределена с равномерной плотностью в интервале  $(0, \pi)$ :

$$W(\psi) = \begin{cases} 1/\pi & \text{при } 0 \leq \psi \leq \pi, \\ 0 & \text{при } \psi < 0, \psi > \pi. \end{cases} \quad (24)$$

С учетом того, что величина  $\mathcal{E}$  распределена по закону Эрланга (17), найдем:

$$D(u_{ax}) = \overline{u_{ax}^2} - \overline{u_{ax}}^2 = \sigma^2 \mathcal{E} \quad (25)$$

где  $\mathcal{E} = \overline{u_{ax}^2} - \overline{u_{ax}}^2$ ,  $\overline{u_{ax}^2}$  - среднее значение эквивалент-

ного поперечного ускоряющего потенциала). Параметр  $\mathcal{E}$  в этих выражениях характеризует поперечную неэквипотенциальность катода, а коэффициент  $\mathcal{E}$  - увеличение дисперсии поперечной скорости электронов за счет неоднородности эмиттера.

Подставляя (25) в (21), получим выражение для спектральной плотности флуктуирующей поперечной скорости электронного луча на катоде:

$$S_{\mathcal{E}}(\omega) = \frac{e k T_c}{2 \eta m_0 \sigma^2} \mathcal{E} \quad (27)$$

Для иллюстрации влияния описанного эффекта на шумовые свойства приборов отметим, что увеличение спектральной плотности  $S_{\mathcal{E}}(\omega)$  в  $\mathcal{E}$  раз приводит к увеличению вклада флуктуирующей поперечной скорости в избыточный коэффициент шума ЛЭМ-усилителя также в  $\mathcal{E}$  раз. Из выражения (26) следует, что для  $\mathcal{E} \approx 1$  в  $\mathcal{E}$  раз увеличивается  $S_{\mathcal{E}}(\omega)$  и вклад в избыточный коэффициент усилителя достигает 10 единиц.

Проведенные расчеты показали возможность описания и учета основных видов неоднородности современных катодов на основе введенной обобщенной модели неоднородного эмиттера. Соответствующие эмиссионные и шумовые параметры неоднородных эмиттеров могут быть определены с помощью соотношений (1), (2), (6), (8), (20) и (27).

Л и т е р а т у р а

1. Козлов В.М., Технологии и свойства металлокординских катодов для СВЧ приборов. Обзор по электронной технике. Сер. I. Электроника СВЧ. М., 1980. Вып. 6(709).
2. Козлов В.М. Эмиссионные свойства и долговечность металлокординских катодов для СВЧ приборов. Обзоры по электронной технике. Сер. I. Электроника СВЧ. М., 1983. Вып. 8(941).
3. Стратос Р., Бретлинг И., Метивье Р. Лампы бегущей волны для спутниковой связи // ТМЭР. 1977. Т. 65. № 3. С. 123-139.
4. Bretting J. Stand der Technik und Einsatz von Satelliten-Manderfeldrohren fur neue Richtichten - Satelliten - Systeme // Raumfahrt - Prag. 1980. Т. 57, № 4. Р. 127-138.
5. Тесленко Л.Ф., Мамтакова А.И., Катоды. Ч. I. Оксидные катоды. Обзоры по электронной технике. Сер. I. Электроника СВЧ. М., 1985. Вып. 14(1154).
6. Губарева Е.Г., Кузнецова О.Ф., Катоды. Ч. II. Металлокординские катоды. Обзоры по электронной технике. Сер. I. Электроника СВЧ. М., 1986. Вып. 12 (1201).

7. Иванова А.В., Свешликина И.А., Кузнецова С.Д. Катоды. Ч. III. Холодные и боридные катоды. Обзор по электронной технике. Сер. I. Электроника СВЧ. М., 1986. Вып. 14(1210).
8. Лебедикская А.Д., Маштаева А.И., Иванова А.В. Катоды. Ч. IV. Подогреватели. Обзор по электронной технике. Сер. I. Электроника СВЧ. М., 1986. Вып. 15(1211).
9. Глухова В.В., Иванова А.В., Тесленко Л.Ф., Кузнецова О.Ф. Катоды. Ч. V. Горючие катодные узлы. Обзор по электронной технике. Сер. I. Электроника СВЧ. М., 1986. Вып. 18(1223).
10. Тесленко Л.Ф., Глухова В.В., Кузнецова О.Ф., Шваренко В.В. Катоды. Ч. VI. Катодные узлы с цилиндрической поверхностью катода. Способы изготовления катодных узлов. Обзор по электронной технике. Сер. I. Электроника СВЧ. М., 1986. Вып. 19(1225).
11. Ашкинази Л.А., Коржавый А.П. Термоэлектронные и ртучно-электронные катоды для ЭВМ. Обзор по электронной технике. Сер. I. Электроника СВЧ. М., 1986. Вып. 8(1234).
12. Коржавый А.П., Рожков А.М., Прохоров А.Н. Некоторые вопросы люмино-электронной эмиссии твердых тел и разрядных катодных катодов квантовых приборов. Обзор по электронной технике. Сер. 6. Материалы. М., 1986. Вып. 4(1194).
13. Коржавый А.П., Редета Х.Л. Материалы для катодов с низким значением первого критического потенциала. Обзор по электронной технике. Сер. 6. Материалы. М., 1987. Вып. 2(1269).
14. Cronin P.L. Aspects of modern dispenser cathodes. Microwave Journal, 1979. V. 22. № 9. P. 57-62.
15. Itoh S., Yokoyama M., Morimoto K. Poisonous gas effects on the emission of oxide-coated cathodes // J. Vac. Sci. and Technol., 1987. V. 15. № 6. P. 3430-3450.
16. Бондаренко Б.В., Рыбаков Ю.А., Шенн Е.П., Шуля А.А. Автоэлектронные катоды и приборы на их основе. Обзор по электронной технике. Сер. 4. Электровакуумные и газоразрядные приборы. М., 1981. Вып. 4(814).
17. Бондаренко Б.В. Состояние и некоторые пути дальнейшего развития автоэмиссионной электроники // Радиотехника и электроника, 1983. Т. 28. № 12. С. 2305-2312.
18. Собослана Н.А., Меламид А.Е. Фотоэлектронные приборы. М., 1974.
19. Дружинин А.В., Кондрашенков И.А., Негразов В.М. Электронная неоднородность эффективных термонадодов // Изв. АН СССР. Сер. физическая. 1969. Т. 33. № 5. С. 411-420.
20. Мойжес Б.Я. Физические процессы в оксидном катоде. М., 1968.
21. Красникова М.В., Мойжес Б.Я. Об эмиссионной однородности оксидного катода // АЭФ. 1968. Т. 38. № 12. С. 2096-2100.
22. Добрецов Л.Н., Голомкова М.В. Эмиссионная электроника. М., 1966.
23. Шум в электронных приборах / Под ред. Л.Д. Сяуллина и Г.А. Хауса. М., Л., 1964.
24. Sandoz A. Emission mechanism of oxide-cathode in the thermionic emission microscope // Internat. J. Electronics. 1965. First series. V. XVII. № 4. P. 349-368.
25. Шинкин Б.В., Дубинина Е.М., Митуркина К.А. Электронно-оптическое исследование оксидных катодов // Радиотехника и электроника. 1965. Т. 10. № 7. С. 1295-1299.
26. Шинкин Б.В., Дубинина Е.М., Митуркина К.А. Электронно-оптические исследования оксидных катодов // Изв. АН СССР. Сер. физическая. 1966. Т. 30. № 5. С. 873-876.
27. Спизак Г.В., Дубинина Е.М., Сбитыникова И.С., Прямкова И.А., Биноградцев Д.И. Развитие методов электронной микроскопии для наблюдения микрогеометрии и центров эмиссии термонадодов // Радиотехника и электроника. 1958. Т. 3. № 8. С. 1077-1083.
28. Дружинин А.В. Методика определения работы выхода электродов поверхности термонадодов // Изв. АН СССР. Сер. физическая. 1961. Т. 25. № 6. С. 730-734.
29. Janasz G. G. T., Tompa A., Weckers Th. H. Nonuniform emission of thermionic cathodes // J. Appl. Phys., 1966. V. 37. № 6. P. 2234-2245.
30. Richter K., Schmidtman H. Der Einfluss der Oberflächeneinheitigkeit von Kathoden auf Emissionseigenschaften // Wiss. Z. Hochschule Elektrotech. Ilmenau. 1962. 8. № 1. P. 75-79.
31. Бульгинский Л.Г., Добрецов Л.Н. Исследование распределения работы выхода по поверхности оксидного катода // АЭФ. 1956. Т. 26. № 6. С. 1141-1149.
32. Stalder J.T., Lee C. H. B. Work function patches on oxide-coated cathodes // T. Electron and Control. First series. 1964. V. XVI. № 5. P. 545-555.
33. Stalder J.T., Lee C. H. B. Work function patches on oxide-coated cathodes. II. Observation by a photoelectric emission technique // Internat. J. Electron. 1965. V. 18. № 5. P. 401-404.

34. Moss H. A. note on anomalous radial velocity spectra from rough thermionic emitters // J. Electron and Control. First series, 1961, V. II, №4. P. 289-295.
35. Кресинькова М.Б., Можжео Б.Я. Распределение электронов по энергиям при отборе тока с оксидного катода // ЭТФ, 1968, Т. 38, № II, С.1975-1978.
36. Козлов И.Г., Терпигорьев В.Г., Шаповалов А.С., Виненко Л.В. К исследованию распределения энергии электронов вдоль эмиттирующей поверхности оксидного катода // ЭТФ, 1968, Т. 38.
37. Dalka W., Dlonhy F. A cathode test utilizing noise measurements // Proc. Int. 1958, V. 46, №9, P. 1639-1645.
38. Набоков Ю.И., Авдеев Д.Е. Об аномальном дробовом эффекте в приборах с оксидным катодом // Изв. АН СССР. Сер. Физико-матем. 1969, Т. 33, № 3, С. 452-457.
39. Попов А.И., Колпачков Д.Е. О возможном механизме аномально высоких дробовых шумов в ЛЭТ // Электронная техника. Сер. 5. Полупроводниковые лампы, 1971, № 1, С. 35-42.
40. Tazianowaki A., Dorke H., Zbikowski A., Wadaia wlasnow katod termoelektronowych. Prace Fizykal. Inst. electron. 1960, V. I, №1, T. 20-34.
41. Zhang Er - Qin. Electron emission from practical thermionic cathodes // Acta Electron. Sin, 1965, V. 13, №5, P. 25-31.
42. Zhang Er - Qin. Instabilities of thermionic emission in oxide cathodes // Int. J. Electron, 1984, V. 56, №4, P. 457-465.
43. Трубицкий К.И., Марченко Ю.П., Шевчик В.И., Цумовые явления в лучевых усилителях магнетронного типа. Обзор по электронной технике. Сер. 1. Электроника СВЧ, М., 1970, Вып. 10 (204).
44. Шаповалов А.С., Толубенцев А.Ф., Денисов Ю.И. Эmission-онные и люминесцентные неоднородные эммитеры. Саратов, 1983.
45. Шаповалов А.С., Денисов Ю.И., Толубенцев А.Ф., Малоземов Л.А., Минкин Л.И. Спектре дробового шума лососков носителей заряда // Вопросы электроники СВЧ: Межвуз. науч. сб. Саратов, 1985, Вып. 16, С.15-16.
46. Минкин Л.И. Статистический анализ амплитудности многоостройного катода с учетом микроструктурной эммитирующей поверхности // Вопросы электроники СВЧ: Межвуз. науч. сб. Саратов, 1985, Вып. 16, С.10-14.

47. Хастингс Н., Ликок Дж. Справочник по статистическим распределениям. М., 1980.
48. Rack A. J. Effect of space charge and transit time on the shot noise in diodes // Bell System Techn. J. 1938, V. 17, №10, P. 592-619.
49. Толубенцев А.Ф. О спектральной плотности флуктуирующей скорости электронов на катоде электронной лампы // Вопросы электронной техники. Саратов, 1971, Вып. 2, С. 83-103.
50. Van Duzer T. Noise figure calculations for cross-field beam-wave amplifiers // IEEE Trans., 1963, V. ED-10, №6, P. 370-378.
51. Шевчик В.И., Трубицкий К.И. Аналитические методы расчета в электронике СВЧ. М., 1970.
52. Вингленд Е.С. Теория вероятностей. М., 1964.
53. Давенпорт В.Б., Рут В.Д. Введение в теорию случайных сигналов и шумов. М., 1960.
54. Аобргауз Г.Г., Тронь А.П., Коленин К.Н., Коровина И.А. Справочник по вероятностным расчетам. М., 1970.

УДК 621.373.826

С.А. Гольдман, В.Л. Макаров, Л.М. Минкин, Н.Г. Марченко  
**ОПРЕДЕЛЕНИЕ МИКРОСТРУКТУРНЫХ ПАРАМЕТРОВ ПОРИСТОГО ТЕЛА, ХАРАКТЕРИЗУЮЩИХ ЕГО ДИФФУЗИОННУЮ ГАЗПРОНИЦАЕМОСТЬ**

Определение газопроницаемости капиллярно-пористых материалов является одной из важных задач, встречающихся в широкой практике их использования. Характер массопереноса через пористую среду зависит от режима газотечения. Так, когда число Кнудсена  $K_n$  определяется как отношение длины свободного пробега молекул газа к радиусу поры, значительно больше единицы, то в такой поре имеет место молекулярный газоперенос (эффузия). Его спецификой является своеобразное условие равновесия между различными частями газа в замкнутом объеме. Если в двух сосудах с газом, соединенных микроканалом ( $\ll \lambda \gg$ ), первоначальные давления были равны ( $P_1(0) = P_2(0)$ ), а разность температур поддерживается постоянной ( $\Delta T = \text{const}$ ), то в результате массопереноса установится стационарное состояние, для которого (1-3)

$$D_1 \frac{dP_1}{dx} = D_2 \frac{dP_2}{dx} \quad (1)$$

эффузионный (ньютоновский) газоперенос пропорционален разности давлений  $P_1 - P_2$ , а его направление в рассматриваемом



случае совпадает с вектором термодиффузии, так что массоперенос осуществляется в газосодержащий объем (сосуд), находящийся при большей температуре (тепловая диффузия).

Рассмотрим газоперенос через плоскопараллельную капиллярно-пористую пластинку толщиной  $\delta$  и площадью поверхности  $S$ , представляющую собой твердую скелетную матрицу, пронизанную сквозными цилиндрическими микрокапиллярами эффективного радиуса  $r$ , перфорированными поверхностями образца. Поместим эту пластинку между двумя газосодержащими объемами  $V_1$  и  $V_2$ . Первоначально микропараметры в объеме  $V_1$  являются  $P_1(t)$  и  $T_1$ , а в объеме  $V_2 - P_2(t)$  и  $T_2$ ; причем, для определенности положим, что  $T_1 > T_2$ . В такой системе возникает кнуденовский газопоток  $j_c(t)$  из объема  $V_1$  в  $V_2$ , определяемый формулой (1,2)

$$j_c(t) = \frac{8}{3} S \sqrt{\frac{2}{\pi}} \frac{P_1(t) - P_2(t)}{2r} \left[ \frac{P_1(t)}{T_1} - \frac{P_2(t)}{T_2} \right]. \quad (2)$$

где  $j_c$  - молекулярная масса газа,  $r$  - универсальная газовая постоянная,  $\alpha$  - число микропор на единичной поверхности. Введем обозначения:

$$A = \frac{8}{3} S \sqrt{\frac{2}{\pi}} (2r); \quad \Gamma = \alpha \delta^2 / r.$$

Параметр  $\Gamma$  определяется только геометрическими (структурными) характеристиками капиллярно-пористого образца и, по существу, в рамках данной модели пористого тела определяет газотранспортную систему капиллярно-пористого материала. В связи с этим, видимо, целесообразно дать ему специальное название - интегральный параметр микропроницаемости. Очевидно, что измерение данного параметра представляет интерес для экспериментального и теоретического исследования различных типов капиллярно-пористых структур.

Использование формулы (2) для измерения интегрального параметра микропроницаемости требует определения величин плотности газопотока  $j_c / S$ , что в целом рше случаев представляется довольно затруднительным, а подчас и невозможным. Напротив, измерение давления газа, особенно в стационарном состоянии, не представляет особой трудности, и способы его определения разработаны достаточно хорошо. Это послужило основанием для создания метода определения  $\Gamma$ , базирующегося на контроле макропараметров (давления и температуры) системы. С этой целью можно использовать описанную выше систему, в которой упомянутые объемы  $V_1$  и  $V_2$  соединены искусственным макроканалом ( $V_1 - V_2$ ) известного радиуса  $r_c$  и длины  $l_c$ . Причем, если шле-

еся возможность, то микрокапилляр можно создать в самом пористом образце. В этом случае поток газа через искусственный макроканал (отверстие) является не молекулярным, а вязким (газодинамическим) (4), и соответствующий поток  $j_p(t)$  описывается в приближении вязкого газотечения формулой Пуазейля (1,2):

$$j_p(t) = \frac{P_1(t) - P_2(t)}{2r} \left[ \frac{P_1(t)}{T_1} - \frac{P_2(t)}{T_2} \right], \quad (3)$$

где  $\delta = 2r_c S / (P_1(t) - P_2(t))$  ( $r_c$  - вязкость газа).

Направление пуазейлевского массопотока противоположно  $j_c$ , так как он обусловлен наличием градиента давлений в искусственном макроканале. Последний же возбужден адиабатическим нагревом газа по микропорам образца из объема  $V_1$  в объем  $V_2$ , так что по макроотверстию газ вытесняется в противоположную сторону - из объема  $V_2$  в  $V_1$ . Таким образом в данной системе создается постоянный газодиффузия.

Суммарный газопоток  $j(t)$  в контрольном объеме  $V_2$  равен разности кнуденовского и пуазейлевского:

$$j(t) = j_c - j_p(t).$$

В стационарном состоянии массоперенос в рассматриваемой системе отсутствует, то есть  $j_{st} = 0$ , что соответствует равенству величин адиабатического и пуазейлевского газопотоков:

$$j_{st} = j_c - j_p(t). \quad (4)$$

Подставляя (4) в соотношения (2) и (3), получим:

$$\Gamma A \left( \frac{P_1}{T_1} - \frac{P_2}{T_2} \right) = \frac{8}{3} S \sqrt{\frac{2}{\pi}} (2r) \left( \frac{P_1}{T_1} - \frac{P_2}{T_2} \right), \quad (5)$$

где  $P_1$  и  $P_2$  - значения установившихся давлений в первом и втором объемах. (5) позволяет определить искомый параметр  $\Gamma$ :

$$\Gamma = \frac{8}{3} \sqrt{\frac{2}{\pi}} \frac{P_1(t) - P_2(t)}{r} \left[ \frac{P_1(t)}{T_1} - \frac{P_2(t)}{T_2} \right]. \quad (6)$$

Таким образом, измерил давления в газосодержащих объемах в стационарном состоянии, можно довольно легко определить интегральный параметр микропроницаемости, который содержит весьма существенную информацию о микроструктуре материала.

Для определения параметра  $\Gamma$  достаточно использовать одну камеру системы, если объем  $V_1$  бесконечно велик (одна поверхность пористого образца контактирует с атмосферой).

Для экспериментальной апробации принципа определения интегрального параметра микропроницаемости была собрана простая установка, соответствующая описанной выше методике для случая с одной камерой. В качестве пористого образца использовалась

пластинка толщиной 0,01 м, изготовленная из мелкоструктурированной необожженной глины типа ВГО-2.

Во время проведения опыта внешние и внутренние макроразмеры этой системы были следующими:  $L = 313$  К,  $R = 101325$  Н/м<sup>2</sup>,  $T_c = 333$  К,  $\frac{L}{R} = 2$  (температура контролировалась термометрическими датчиками).

Градиент температуры, создаваемый с помощью электронатрива, помещенного в газосодержащую камеру, обусловливал возникновение заданного газопотока из атмосферы в контролируемый замкнутый объем, отделяемый от нее пористым материалом. Возникшие избыточное давление в объеме контролировалось ртутным манометром.

В стационарном состоянии избыточное (максимальное) давление в камере достигало  $P_{sc} = 104046$  Н/м<sup>2</sup> ( $\Delta P_{sc} = 274$  мм вод. ст.), так что условие Кнудсена (1) выполнялось довольно точно. Это свидетельствует о том, что в порах лантанного глинистого образца выполнялось неравенство  $\lambda \gg r$ .

Затем в образце был сделан макроканал, перпендикулярный его поверхности, радиусом  $R_c = 0,25 \cdot 10^{-3}$  м, после чего давление в камере упало до  $P_{sc} = 102719$  Н/м<sup>2</sup> ( $\Delta P_{sc} = 138$  мм вод. ст.). Использование соотношения (6) позволило вычислить параметр  $\beta$ , который оказался равным  $6,8 \cdot 10^{-2}$ . В расчетах принималось  $\lambda = 29 \cdot 10^{-3}$  м/моль, а  $\beta = 1,8 \cdot 10^{-5}$  ч/м<sup>2</sup>·с.

**Л и т е р а т у р а**

1. Сивухин А.В. Социальный курс физики. Т.2. Термодинамика и молекулярная физика. М., 1975.
2. Кикоин И.К., Кикоин А.К. Молекулярная физика. М., 1976.
3. Поль Р.В. Механика, акустика и учение о теплоте. М., 1971.
4. Розанов Л.Н. Баклановская техника. М., 1982.

УДК 533.562.74

Ю.А. Малоземов, В.С. Гамус, В.Н. Артемьев

**ДИНАМИКА ПЛАЗМЫ**

**С ПОМОЩЬЮ ОТКРЫТОГО СЕКТОРИСТАННОГО РЕЗОНАНСА**

Сверхвысокочастотная (СВЧ) динамистная лампа позволяет исследовать плазму без ее возбуждения и загромождения, может применяться в широком диапазоне температур и плотностей и дает до-

статочно надежные результаты [1-8]. Одним из вариантов СВЧ диагностики являются методы, основанные на измерении сдвига собственных частот резонаторов при введении в него плазмы. Резонаторный метод характеризуется высокой чувствительностью и может применяться в широком диапазоне относительной диаметра плазмы  $2,2 \cdot 10^{-2}$  к рабочей длине волны  $\lambda$  [8]. Проанализируем некоторые особенности использования резонаторов для изучения плазменных пучков с центральной в диапазоне  $\lambda = 10^8 - 10^{15}$  см.

Проблема расширения динамического диапазона. Важнейшим параметром, определяющим возможности использования того или иного резонатора для диагностики плазмы, является плотность спектра его собственных частот, задаваемая отношением числа резонансов  $\Delta W$  к соизмеряемому их частотному интервалу  $\Delta W$ . Обратная величина  $\Delta W = \Delta W_s / \Delta W$  определяет среднее расстояние между соседними резонансами.

Согласно (9), для закрытых резонаторов

$$\Delta W / W = \lambda^2 / 4\pi R^2 \quad (2)$$

для резонаторов, открытых в одном измерении,

$$\Delta W / W = \lambda^2 / 4\pi R \lambda \quad (2)$$

для резонаторов, открытых в двух измерениях,

$$\Delta W / W = \lambda^2 / 4\pi R^2 \quad (3)$$

где  $V$  - объем резонатора,  $S$  - поперечное сечение резонатора в экваториальной плоскости,  $R$  - расстояние между зеркалами.

Полуширина резонансной кривой  $\Delta W$  связана с соответствующей добротностью  $Q$ :  $\Delta W = W_s / Q$ . Спектр резонансных колебаний оказывается сплошным при условии  $\Delta W / W \approx W_s / W$ . Значит, резонансный метод диагностики может применяться, когда

$$Q \gg W_s / W \quad \text{для (1),}$$

$$Q \gg W_s / W \quad \text{для (2),}$$

$$Q \gg W_s / W \quad \text{для (3).}$$

Рассмотрим теперь резонаторы, нагруженные плазмой. В первом приближении теории возмущений сдвиг собственных частот резонатора  $\Delta W$  определяется как (5)

$$\frac{\Delta W}{W} = \frac{\int \epsilon - 1 |E|^2 dV}{2W} \quad (5)$$

$$\frac{\Delta W}{W} = \frac{\int \epsilon - 1 |E|^2 dV}{2W} = \frac{\int \epsilon - 1 |E|^2 dV}{2W} = \frac{\int \epsilon - 1 |E|^2 dV}{2W}$$

где  $\rho_c = m \cdot v_{ph} / (Ze^2)$  — критическая концентрация электронов в плазме,  $\epsilon_s$  — напряженность электрического поля в резонаторе;  $\rho(\epsilon, \omega, z)$  — распределение концентрации электронов в плазме;  $1/2$  — объем плазмы, заключенной в резонатор;  $1/2$  — объем резонатора ( $\epsilon$  и  $\omega$  — заряд и масса электрона).

Соотношение (5) применимо в том случае, когда средние концентрации  $\bar{n} = \int n(z) dz / l$  значительно меньше критических. Следовательно, можно связать рабочую длину волны и среднюю концентрацию неравенством

$$\lambda \ll \lambda_{crit} = (\epsilon_0 m c^2 / (Ze^2 \bar{n}))^{1/2} \quad (6)$$

Условия (4) и (6) определяют для каждого резонатора рабочий диапазон для волн, зависящий также от средних измеренных концентраций. Ограничивает использование (5) и требование неперекрывания соседних резонансов при сдвиге собственной частоты резонатора, нагруженного плазмой. Такое ограничение, представляемое в форме

$$\Delta \omega_s / \omega_s \ll \Delta \omega / \omega - \Delta \omega_c / \omega_c \quad (7)$$

исключает возможность взаимодействия различных мод и сохраняет линейность соотношения (5).

Представим (5) в виде

$$\frac{\Delta \omega_s}{\omega_s} = \frac{\epsilon_s}{\epsilon_0} \frac{V_p}{V} \frac{C_p}{V} \quad (8)$$

где коэффициенты  $C_p$  определяются через заданное распределение электрического поля в резонаторе  $\epsilon_s(x, y, z)$  и функции распределения концентрации  $n(x, y, z)$ . Подставляя (8) в (7), находим ограничение на среднюю концентрацию электронов, доступную измерению с помощью конкретного резонатора на заданной рабочей частоте.

Анализ показывает, что переход к более коротким длинам волн отвечает переходу к более высоким средним концентрациям, но приводит к уменьшению среднего расстояния между резонансами. Для закрытых резонаторов (ЗР) спектр резонансных колебаний становится сплошным уже для сантиметровых волн. При  $n_0 \approx 10^{13} \text{ см}^{-3}$   $\lambda \approx 10^4$  условие (4) нарушается и их использование для СВЧ диагностики плазмы в последние время считается нецелесообразным. Применение открытых цилиндрических или сферических резонаторов (ОПР и ОБР) дает возможность продвинуться в область больших длин волн с целью более точного определения функции распределения концентрации плазмы. Из (2) видно, что спектры ОПР и ОБР становятся сплошным по мере увеличения длины волны на порядок приводит к уплотнению спектра в 100 раз.

Интересные возможности продвижения в область изучения более высоких концентраций при одновременном увеличении отношения  $\lambda / \rho_c$  предложены для ОПР и ОБР в работах [10, 11]. Селективно возбуждать вполне определенные резонансные колебания из области почти сплошного спектра позволяет система распределенной связи подводящего волновода с резонатором [10]. Отдельные моды могут быть выделены также с помощью тонких поглощающих колец, помещенных в нули электрического поля этих мод [11]. В обоих случаях плотность спектра оказывается того же порядка, что и для резонаторов, открытых в двух измерениях, что существенно расширяет динамический диапазон для ОПР и ОБР при одновременном переходе к более коротким длинам волн.

Тот же результат может быть достигнут [12] применением двухзеркальных резонаторов (типа Фабри-Перо, конфокальных или софокусных). В этом случае введение плазмы в резонатор оказывается достаточным простом из-за открытости резонатора в двух пространственных измерениях. Однако проследивание плазмы в одном направлении дает недостаточную информацию о распределении электронов в плазме. Возможность использования резонаторов, обладающих плотностью спектра (3) и дающих многолучевое излучение плазменного пучка, обсуждалась в работе [13].

Открытый секционированный резонатор (ОСР). Рассмотрим совокупность Р пар конфокальных зеркал, имеющих одинаковый радиус кривизны и симметрично расположенных относительно общего геометрического центра (рис. 1). Каждая пара зеркал  $R$  дает возможность исследовать распределение плазмы в направлении, параллельном ее оси. Такая информация не обходима при отсутствии аксиальной симметрии для функции распределения концентрации  $n(x, y, z)$  в поперечном сечении пучка плазмы (ось пучка параллельна оси  $Z$ ).

Возникает вопрос о плотности спектра колебаний, возбуждаемых в системе.

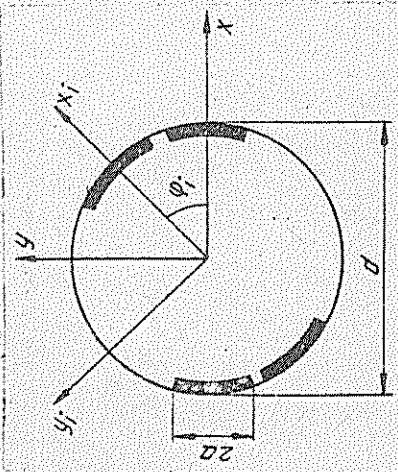


Рис. 1. Система конфокальных зеркал

Среднее расстояние между резонансами будет вида (3), если между соседними парами зеркал будет отсутствовать связь. Зависая расстояние между зеркалами  $2L$  в интервале 200 - 400 мм, будем варьировать число пар  $P$  и их апертуру  $\leq 2L$ . Число пар  $P$  будем определять, исходя из условия отсутствия связи между зеркалами. Оно определяется значением числа Френеля  $N = \frac{2L^2}{\lambda d}$ , где для конфокальных резонаторов  $d = 2L$ ;  $d = \frac{2L^2}{\lambda}$ .

Потери мощности за один проход электромагнитной волны между сферическими зеркалами конфокального резонатора для колебаний типа  $TEM_{00}$  дается формулой [14]

$$P = 8.776 \cdot 10^{-6} \cdot \frac{2L^2}{\lambda} \cdot \frac{200}{L} \cdot \frac{C_0}{C_0 - 200} \quad (9)$$

Дифракционные потери определяют дифракционную добротность резонатора  $Q = \frac{2L^2}{\lambda} \cdot \frac{200}{L} \cdot W$ , где действительная часть является круговой частотой ( $Q = W = 200/L$ ), а мнимая часть определяется через потери мощности за один проход волны от зеркала к зеркалу за время  $2L/c$ :  $W = 200/L \cdot \frac{2L}{c} \cdot \frac{200}{L}$  (изменение мощности представляется в виде  $\delta = 1 - 2 \cdot \frac{2L}{c} \cdot \frac{200}{L}$ ). Поэтому

$$Q = \frac{2L^2}{\lambda} \cdot \frac{200}{L} \cdot \frac{200}{L}$$

Приближенная оценка добротности, связанной с затуханием энергии при ее поглощении металлом зеркал, дается формулой

$$Q_{\text{погл}} = \frac{2L^2}{\lambda} \cdot \frac{200}{L} \cdot \frac{200}{L} \cdot (1 - \epsilon)$$

Ограничиваясь учетом потерь в проводящих стенках и потерь на дифракцию, получим:

$$Q = Q_{\text{погл}} \cdot (Q_{\text{дз}} - Q_{\text{диф}})$$

Проведем расчет значений апертуры, числа Френеля, добротностей для  $\lambda = 8$  мм и заданных значений радиуса кривизны конфокальных зеркал при различных числе пар зеркал (таблица).

Данные для расчета параметров конфокального резонатора

$2L$	$R$	$2L^2$	$N$	$Q_{\text{дз}}$	$Q_{\text{диф}}$	$Q_{\text{дз}}$	$Q$
21,651	3	12,500	2,255	$9,7 \cdot 10^{11}$	17000	17000	17000
23,097	4	9,567	1,238	$5,3 \cdot 10^7$	18100	18100	18000
25,776	5	7,725	0,785	28800	18700	18700	18300
24,149	6	6,470	0,542	20200	19000	19000	1800
34,841	3	20,000	3,608	$2,3 \cdot 10^{19}$	27200	27200	27200
36,955	4	15,307	1,982	$6,0 \cdot 10^{10}$	29000	29000	29000
35,042	5	12,361	1,255	$1,1 \cdot 10^7$	29900	29900	29800
38,637	6	10,353	0,867	$1,2 \cdot 10^5$	30900	30900	24200
38,997	7	8,901	0,035	8900	30800	30800	6900
39,231	8	7,804	0,485	1800	30200	30200	1700

При  $N = 1$  дифракционные потери составляют меньше 0,1% и резко уменьшаются с ростом  $N$ . При этом связь между соседними секциями практически отсутствует. С другой стороны, точность определения плотности плазмы пропорциональна числу пар зеркал. Учитывая эти замечания и пользуясь данными таблиц, можно выбрать оптимальные параметры ОФР. Например, чтобы добротность оказалась на уровне  $10^4$ , для рабочей длины волны 0,8 см следует использовать в нем при  $2L = 25$  см пять пар зеркал, а при  $2L \approx 40$  см - семь пар зеркал.

Отметим предпочтительность использования нечетного числа пар зеркал. ОФР в случае четного числа  $P$  обладает симметрией относительно  $X = (-X)$  и  $Y = (-Y)$ . При нечетных  $P$  только одна временная замена  $X = (-X)$ ,  $Y = (-Y)$  оставляет ОФР инвариантным (см. рис.1). Следовательно, сильнее вырождены в последнем случае может быть достигнута более простым способом (например, допонижительной парой зеркал, позволяющих отличить  $X$  от  $(-X)$  или  $Y$  от  $(-Y)$ ). В случае несонададения центров резонаторных секций проблема вырождения задачи не встает.

Анализ перемещения плазменного пучка с помощью ОФР. В качестве иллюстрации возможности диагностики плазмы с помощью ОФР рассмотрим случай перемещения плазменного шнура радиуса  $r_0$  по направлению, составляющему угол  $\varphi$  с осью  $X$ . (рис.2) относительно вогнутой пары зеркал.

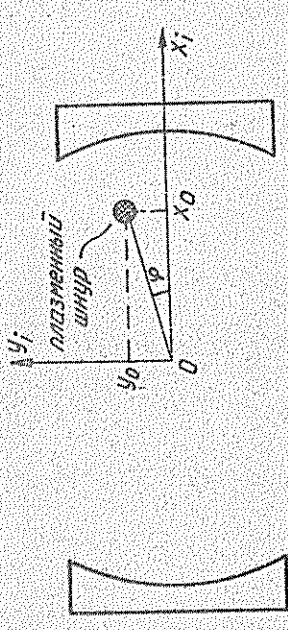


Рис. 2. Схема диагностического положения плазменного пучка

Для каждой пары зеркал распределение поля может быть записано в виде [15]

$$E_x = E_0 \cdot H_m \cdot H_n \cdot e^{-i\varphi} \left\{ \cos \varphi \cdot \frac{E_0}{2kR} - \frac{E_0}{2kR} \cdot \frac{E_0}{2kR} \cdot \frac{W_0}{W_0} \right\} \quad (10)$$

где  $H_m, H_n$  - полиномы Эрмита,  $\zeta_1 = y_1^2 + z_1^2$ ,  $\kappa = 2\sqrt{P}/R$ ,  
 $\zeta_2 = (m-n-1) \arctg \left[ \frac{z_2}{\sqrt{W_0^2} x_1} \right]$ ,

- набор фаз по сравнению с плоской волной;

$$R_2 = 2z_2 \left[ 1 + \left( \frac{z_2 W_0}{\lambda x_1} \right)^2 \right]$$

- радиус кривизны волнового фронта;

$$W_0 = \sqrt{W_0} \left[ 1 + \left( \frac{z_2 W_0}{\lambda x_1} \right)^2 \right]^{1/2}$$

- радиус гауссовки ( $m$  и  $n$  - индексы мод).

В большинстве экспериментов линии эквилиности хотя бы приближенно известны. Предположим, что они представляют собой концентрические окружности с центром в точке с координатами  $\zeta_0, y_0$ . Обозначим через  $r_j$  среднюю плотность плазмы между  $j$ -й и  $(j+1)$ -й линиями эквилиности. Для каждой секции резонатора соотношение (5) представим в виде

$$\text{где } N_0 = \int_{z_1}^{z_2} \epsilon_3(x, y, z) dz, \quad z_2 \approx z_0, N_0 \approx W_0 / W_0 = F_0^2,$$

где  $N_0 = \int_{z_1}^{z_2} \epsilon_3(x, y, z) dz$ , а фазовый коэффициент  $F_0^2$  зависит от типа вынужденных колебаний, конфигурации плазмы и числа колец  $\ell$ , на которые разбивается плазменный стол:

$$F_0^2 = n_0 \epsilon_0 \sum_{j=1}^{\ell} n_j / (F_j - F_{j-1}) \quad (11)$$

Соотношения (11) представляют собой  $\ell$  линейных уравнений по отношению к кондентрации  $n_j$ . В случае  $\ell=2$  система может быть решена однозначно.

Предположим, что в каждой секции возбуждается основная мода  $TEM_{00}$ . Подставляя упрощенное значение (10) в выражение для фазового фактора, после проведения интегрирования по  $z$  и ряда преобразований получим:

$$F_j = \epsilon_0 \frac{W_0}{2} \left[ \int_{z_1}^{z_2} \frac{W_0}{W_0^2} \cos(\kappa x - \varphi) e^{-2\epsilon_2 \frac{W_0}{W_0}} dx \int_{y_1}^{y_2} e^{-\frac{W_0^2}{2} dy} + \int_{z_1}^{z_2} \frac{W_0}{W_0^2} \cos(\kappa x - \varphi) e^{-2\epsilon_2 \frac{W_0}{W_0}} \cos \kappa x \int_{y_1}^{y_2} \frac{W_0^2}{W_0^2} \cos \frac{z^2}{2} dy + \int_{z_1}^{z_2} \frac{W_0}{W_0^2} \cos(\kappa x - \varphi) e^{-2\epsilon_2 \frac{W_0}{W_0}} \cos \kappa x \int_{y_1}^{y_2} \frac{W_0^2}{W_0^2} \cos \frac{z^2}{2} dy \right]$$

где  $\zeta_{02} = 2z_2 \pm R_j, R_j = 1/2 \sqrt{z_2^2 - 12z_2^2 - 12\kappa x_1^2}$ ,

$$\zeta = \frac{1}{2} \arctg \frac{z_2}{x_1}, \quad C = \left( 1 + \frac{z_2^2}{R_0^2} \right)^{1/4}$$

$R_0$  - радиус центрального пучка.

Будем считать  $\zeta_0$  достаточно малым для того, чтобы можно было взять  $\zeta_1(x, y, z) = \kappa = \text{const}$ . Тогда можно обойтись без разойденности плазменного пучка на коаксиальные цилиндры ( $\zeta = 1$ ). Результаты, полученные для пучка, перемещаемого под углами 0 и  $\pi/5$ , для  $\lambda = 0,8$  см,  $\kappa = 20$  см и  $P=5$  приведены на рис. 3.

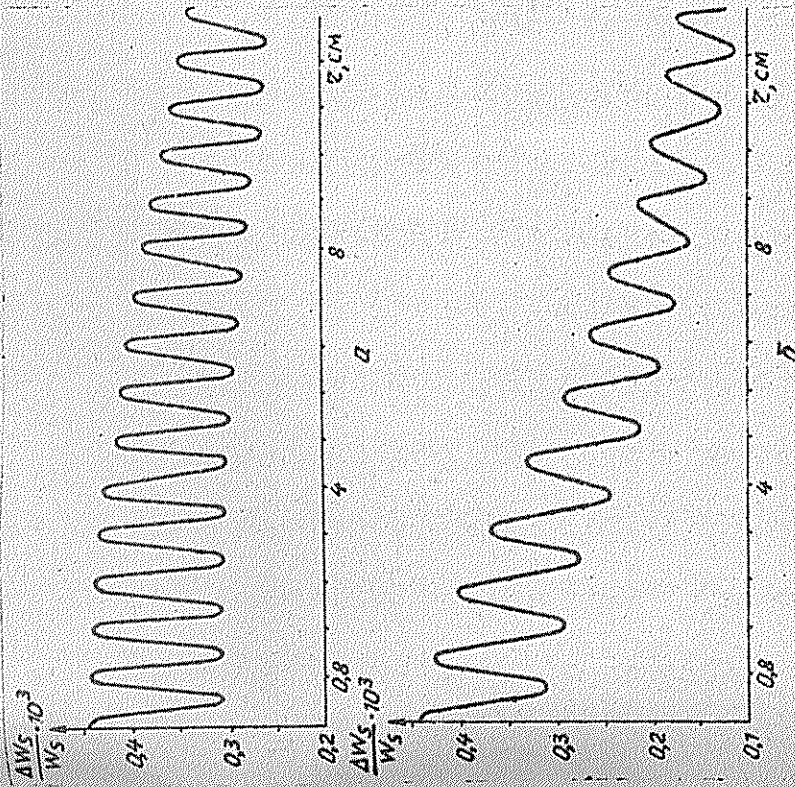


Рис. 3. Относительное смещение собственной частоты при перемещении плазменного пучка под углами (рад.): а - 0, б -  $\pi/5$

Анализ поданных графиков позволяет по скорости убывания максимумов (или минимумов) при удалении пучка от центра резонатора определить угол между направлением перемещения пучка и осью резонаторной секции. По отношению главного максимума к которому произвольному можно определить расстояние от пучка до центра с точностью до  $\lambda/2$ .

Расчет проводился для  $Z_p = \nu/c/20 \approx 0,088$  см, то есть для  $Z_p \sim 0,1 \lambda$ . При увеличении радиуса пучка положение максимумов и минимумов кривых меняться не должно, но расстояние между ними будет уменьшаться, пока  $Z_p$  не достигнет половины  $\lambda$ . Периодические кривые дают возможность графического определения координат центра пучка по экспериментально полученному сдвигу собственных частот.

#### Л и т е р а т у р а

1. Русанов В.Д. Современные методы исследования плазмы. М., 1962.
2. Черняцкий А.В., Зиньков О.А., Козлов О.В. Аппаратура и методы плазменных исследований. М., 1965.
3. Диагностика плазмы / Под ред. Р.Хаддадоуна и С.Леонарда. М., 1967.
4. Хедд М., Чортон С. Микроволновая диагностика плазмы. М., 1968.
5. Голант Р.Е. Сверхвысокочастотные методы исследования плазмы. М., 1968.
6. Методы исследования плазмы / Под ред. В.Локте-Кольцграуэна. М., 1971.
7. Кузнецов Э.И., Петров Д.А. Методы диагностики высокотемпературной плазмы. М., 1980.
8. Москалев И.Н., Стефановский А.М. Диагностика плазмы с помощью открытых цилиндрических резонаторов. М., 1985.
9. Вайнштейн Л.А. Открытые резонаторы для квазиопных генераторов света // Усп. 1963. Т.44. № 3. С.1050-1067.
10. Москалев И.Н., Стефановский А.М. О разработанном возбудителе открытого соосиального резонатора // Усп. 1971. Т.41. № 10. С.211-2120.
11. Москалев И.Н. Разделение спектра соосиального резонатора с помощью тонких поглощающих колец // Усп. 1976. Т.46. № 1. С.101-112.
12. Вайнштейн Л.А. Открытые резонаторы и открытие волновода. М., 1966.
13. Артемьев В.И., Гантсук М.С. О возможности использования открытых семипроволочных резонаторов // Вопросы теории ядерной и адронной физики. Саратов, 1986. С. 51-61.
14. Вайнсов Р.А. Физика субмиллиметровых волн. М., 1969.
15. Кочельник Д., Ля Т. Резонаторы и световые гудики лазеров // Зарубежная радиоэлектроника. 1967. № 3. С.102-133.

#### В.М. Анкин, А.Ф. Голубев О СПЕКТРЕ ФЛУКТУАЦИЙ АВТОЭМИССИОННОГО ТОКА

Особенностью низкочастотных шумов автоэлектронной эмиссии полупроводниковых катодов является зависимость интенсивности шума от структурных особенностей поверхности автоэммитера и участка вольт-амперной характеристики (ВАХ), на котором проводятся измерения [1]. Представляет в связи с этим интерес построение статистических моделей автоэммитеров с целью установления связей вероятностных характеристик структурных параметров эммитирующей поверхности со спектральными характеристиками флуктуаций автоэмиссионного тока. Наличие подосных моделей делает небесспортивной постановку обратных задач по оценке структурных и надежностных параметров автокатодов, по выявлению роли различных дестабилизирующих эмиссии факторов на основе измерений флуктуаций автоэмиссионного тока [2].

На стабильность автоэмиссионного тока влияют различные процессы, происходящие в автоэмиссионной поверхности [3-4]: десорбция и адсорбция газов и паров, миграция и диффузия атомов, ионная бомбардировка и так далее, в результате которых видоизменяется микрогеометрия эмитирующей поверхности, а также возникают эффекты, ингибирующие или тормозящие эмиссию. Так, наличие на катоде адсорбированного газа может приводить к эффекту, эквивалентному усилению в 2-3 раза алектрического поля (это связано с конкацией десорбированного газа при наличии большой плотности автоэмиссионного тока [5]). В [6] отмечаются явления самопроизвольных "отключений" и "включения" графитовой острой при взрывной эмиссии, а в качестве причины распада графитовой термодесорбция с поверхности острой при работе электронной пушки. Флуктуирующий характер числа центров эмиссии присущ также и автоэмиссионным режимам [1,3,7].

Введем для обозначения числа центров автоэмиссии (ЦАЭ), действующих в данный момент времени  $z$ , случайную функцию  $N(z)$ . Для задания ее статистических свойств воспользуемся марковской моделью процесса рождения и гибели. Пусть  $\lambda$  и  $\mu$  - интенсивности процессов "рождения" и "гибели" ЦАЭ. Поступити классического разрывного марковского процесса рождения и гибели [8] в нашем случае получат следующую интерпретацию:

а) вероятность восстановления эмиссионной способности од-

ного ЦАЭ на бесконечно малом интервале времени  $(z, z+\Delta z)$  является функцией состояния emitтирующей поверхности и равна  $\lambda_1(z) \Delta z + o(\Delta z)$ ;

- б) вероятность "отключения" одного ЦАЭ в малом интервале  $(z, z+\Delta z)$  равна  $\lambda_2(z) \Delta z + o(\Delta z)$ ;
- в) вероятность "резкого" (более, чем на один ЦАЭ) изменения числа функционирующих ЦАЭ на интервале  $(z, z+\Delta z)$  есть  $o(\Delta z)$  ( $\frac{d^2 P(z,t)}{dz^2} \Delta z^2 + o(\Delta z^2) = 0$ );
- г) вероятность сохранения постоянного числа ЦАЭ на интервале  $(z, z+\Delta z)$  равна  $1 - (\lambda_1 + \lambda_2) \Delta z + o(\Delta z)$ ;

д) развитие эмиссии прекращается при  $n(t) = 0$ .

Пусть  $P_n(z, t)$  - вероятность существования  $n$  ЦАЭ в момент  $t$ . Система коррелированных условий приводит к следующей системе уравнений Колмогорова относительно  $P_n(z, t)$  [8]

$$\frac{dP_n(z, t)}{dt} = \lambda_1(z) P_{n-1}(z, t) - (\lambda_1 + \lambda_2) P_n(z, t) + \lambda_2(z) P_{n+1}(z, t) \quad (1)$$

Предположим, что в начальный момент  $t=0$   $P_0(z, 0) = 1$  при  $n \neq 0$ ,  $P_n(z, 0) = 0$  при  $n \neq 0$ .

то есть с единичной вероятностью функционировало ЦАЭ.

Решение системы (1) с начальными условиями (2) может быть найдено методом производящей функции. В результате применения стандартной процедуры умножения каждого из уравнений системы (1) на  $S^n$  и суммирования по  $n$  полученных соотношений получается уравнение для производящей функции  $P(z, S, t) = \sum_{n=0}^{\infty} P_n(z, t) S^n$ :

$$\frac{\partial P(z, S, t)}{\partial t} = (\lambda_1(z) S - (\lambda_1 + \lambda_2) S + \lambda_2(z) S^2) P(z, S, t) \quad (3)$$

Общее решение (3) дается формулой [8]

$$P(z, S, t) = e^{(\lambda_1(z) S - (\lambda_1 + \lambda_2) S + \lambda_2(z) S^2) t} \quad (4)$$

где  $\lambda_1$  - производящая функция. Вид  $P$  конкретизирует начальные условия для производящей функции, получаемые на основании (2):

$$P(z, S, 0) = e^{(\lambda_1(z) S - (\lambda_1 + \lambda_2) S + \lambda_2(z) S^2) \cdot 0} = e^{\lambda_1(z) S} \quad (5)$$

так что

$$P(z, S, t) = \left( \frac{\lambda_1(z) S - \lambda_2(z) S^2}{\lambda_1(z) S - (\lambda_1 + \lambda_2) S + \lambda_2(z) S^2} \right)^{\lambda_1(z)} e^{(\lambda_1(z) S - (\lambda_1 + \lambda_2) S + \lambda_2(z) S^2) t} \quad (6)$$

Согласно (4) окончательно получаем для условия (2):

$$P_n(z, t) = \left[ \frac{\partial^n P(z, S, t)}{\partial S^n} \right]_{S=0} = P_n(z, t) \quad (7)$$

$$P_n(z, t) = \frac{d^n}{dz^n} \left( e^{(\lambda_1(z) S - (\lambda_1 + \lambda_2) S + \lambda_2(z) S^2) t} \right) \Big|_{S=0} = \lambda_1^n(z) e^{(\lambda_1(z) S - (\lambda_1 + \lambda_2) S + \lambda_2(z) S^2) t} \quad (8)$$

Для  $P_n(z, t) / S^n$  знаменатель (7) представим в виде ряда

$$\frac{1}{S^n} = \sum_{k=0}^{\infty} C_{n+k-1}^{n-1} \left( \frac{\lambda_2(z)}{\lambda_1(z)} \right)^k \left( \frac{\lambda_1(z)}{S} \right)^{n+k-1} \quad (9)$$

так что

$$P_n(z, t) = \sum_{k=0}^{\infty} C_{n+k-1}^{n-1} \lambda_1^{n+k-1}(z) \left( \frac{\lambda_2(z)}{\lambda_1(z)} \right)^k e^{(\lambda_1(z) S - (\lambda_1 + \lambda_2) S + \lambda_2(z) S^2) t} \quad (10)$$

исключив вероятности

$$P_n(z, t) = \sum_{k=0}^{\infty} C_{n+k-1}^{n-1} \lambda_1^{n+k-1}(z) \left( \frac{\lambda_2(z)}{\lambda_1(z)} \right)^k e^{(\lambda_1(z) S - (\lambda_1 + \lambda_2) S + \lambda_2(z) S^2) t} \quad (11)$$

( $k=0, 1, \dots, n$ ;  $v=0, 1, 2, \dots$ ).

По существу, в силу (2) формула (10) дает условные вероятности

$$P_n(z, t) = P\{n(t) = n; n(0) = n_0\} \quad (11)$$

Очевидно, что условные вероятности, относящиеся к произвольным моментам  $t_1$  и  $t_2$ , выражаются через вероятности (10)-(11):

$$P\{n(t_2) = n_2; n(t_1) = n_1\} = P_{n_2}(t_2 - t_1) \quad (12)$$

На основании (8), (10)-(12) могут быть определены статистические характеристики случайного числа ЦАЭ. Математическое ожидание

$$M\{n(t)\} = M\{n(t) | n(0) = n_0\} = n_0 e^{(\lambda_1 - \lambda_2) t} \quad (13)$$

дисперсия

$$D\{n(t)\} = M\{n^2(t) | n(0) = n_0\} - (M\{n(t) | n(0) = n_0\})^2 = n_0 \left( 1 - e^{(\lambda_1 - \lambda_2) t} \right) \quad (14)$$

момент второго порядка

$$M\{n^2(t_2) | n(t_1) = n_1\} = \sum_{k=0}^{\infty} M\{n(t_2) | n(t_1) = n_1\} P_k(t_2 - t_1) = n_1 e^{(\lambda_1 - \lambda_2) (t_2 - t_1)} + n_1^2 (e^{(\lambda_1 - \lambda_2) (t_2 - t_1)} - 1) \quad (15)$$

антокорреляционная функция

$$R_n(t_1, t_2) = M\{n(t_1) n(t_2) | n(t_1) = n_1, n(t_2) = n_2\} = e^{(\lambda_1 - \lambda_2) (t_2 - t_1)} \left( 1 + \frac{n_1 n_2 - n_1^2}{n_1} (e^{(\lambda_1 - \lambda_2) (t_2 - t_1)} - 1) \right) \quad (16)$$

Для дальнейшего преобразования (16) удобнее воспользоваться переменными [9]  $t = \tau_1 + \tau_2$ ,  $\tau_1 = t_1 - t_2$ . В новых переменных получим

$$R_{12}(t_1 - t_2, t_1 + t_2) = N_0 \int_{-\infty}^{\infty} \int_{-\infty}^{\infty} e^{i\omega_1 \tau_1} e^{i\omega_2 \tau_2} e^{i(\omega_1 + \omega_2)t} d\omega_1 d\omega_2 \quad (17)$$

Нестационарный спектр флуктуаций числа ЦАЭ  $S_{12}(\omega, t)$  находится однократным преобразованием Фурье соотношения (17) [10]:

$$S_{12}(\omega, t) = -N_0 \int_{-\infty}^{\infty} \int_{-\infty}^{\infty} \frac{d\omega_1 d\omega_2}{2\pi} e^{i\omega_1 \tau_1} e^{i\omega_2 \tau_2} e^{i(\omega_1 + \omega_2)t} \quad (18)$$

Намеренно оставив в стороне дробовые флуктуации и флуктуации, вызванные невоспроизводимостью геометрии ЦАЭ, соотнесем, следуя [11], с каждым ЦАЭ усредненное значение плотности тока автоэмиссии

$$j_0 = \int_{S_0} j_0(q, \varphi) f_0(q, \varphi) d\varphi d\varphi$$

и типичную площадь ЦАЭ

$$S_0 = \int_{S_0} S f_1(S) dS,$$

где  $j_0(q, \varphi)$  - плотность тока автоэмиссии, левая часть формулы Фейлера-Нордгейма [3-4];  $f_1(q, \varphi)$  - дифференциальный закон, описывающий вероятностное распределение коэффициента усиления наприженности электрического поля  $q$  и работы выхода электронов  $\varphi$  на поверхности автоэмиттера;  $f_1(S)$  - плотность распределения площади ЦАЭ.

Выражение для тока автоэмиссии будет аппроксимироваться выражением

$$\varphi(t) = j_0 S_0 N(t) \quad (19)$$

Случайная функция (19) характеризуется автокорреляционной функцией, отражающей статистическую независимость ЦАЭ,

$$R_{\varphi}(t_1 - t_2, t_1 + t_2) = j_0^2 S_0^2 N(t_1 - t_2) N(t_1 + t_2) \quad (20)$$

и спектральной плотностью

$$S_{\varphi}(\omega, t) = j_0^2 S_0^2 S_{12}(\omega, t) \quad (21)$$

Для статистически "равновесного" процесса "мерцания" ЦАЭ ( $\omega_1 = \omega_2$ ) в разложении, присутствующих в (18) и (21), сохраняются единственный член - первый, а спектр флуктуаций тока становится стационарным с частотной зависимостью  $f/\omega^2$ :

$$S_{\varphi} = \frac{j_0^2 S_0^2}{4\pi^2 \omega^2}, \quad \omega \neq 0, \quad (22)$$

где  $\omega_0 = j_0 S_0 N_0$  - среднее значение тока всего автоэмиттера.

Таким образом, мощность флуктуаций автоэмиссионного тока "мерцающего" катода пропорциональна квадрату среднего тока  $j_0^2$  (что согласуется с представлениями [12]), интенсивности "мерцания" ЦАЭ  $N_0$  и обратно пропорциональна среднему числу ЦАЭ  $N_0$  (это отвечает [1]). В экстремальном режиме зависимости  $S_{12}(\omega) \sim 1/\omega^2$  отвечает переходному (к области насыщения) участку ВАХ фоточувствительных автокатодов [1].

Обратимся теперь к рассмотрению импульсно-периодического режима функционирования автоэлектронного катода. Основное модальное предположение: будем считать импульсную реализацию автоэмиссионного тока  $i_{\text{имп}}(t)$  как полученную посредством "вырезания" гипотетического непрерывного стационарного процесса  $\varphi(t)$  автоэмиссии. Параметрами импульсов являются их постоянные длительности  $\tau$  и период повторения  $d\tau_0$  ( $d\tau_0 \gg \tau_0$ ), а также случайные амплитуды  $\varphi_0(\tau_1)$ , где  $\tau_0$  - момент начала  $\tau$ -го импульса. Если аппроксимировать форму импульса детерминированной функцией  $f(t, \tau_0)$ , то согласно результатам [13], полученным при рассмотрении амплитудно-импульсных модулированных процессов, спектр тока автоэмиссии в импульсном периодическом режиме выразится соотношением

$$S_{12}(\omega) = S_{12}(\omega) \sum_{n=-\infty}^{\infty} \delta(\omega - 2\pi n/d\tau_0) S_2(\omega), \quad (23)$$

где в нашем случае

$$S_2(\omega) = \varphi_0^2 / F_2(\omega, \tau_0) / d\tau_0^2 \quad (24)$$

- интенсивность дискретных спектральных линий на частотах  $\omega = 2\pi n/d\tau_0$ ,

$$S_2(\omega) = \frac{1}{d\tau_0^2} \int_{-\infty}^{\infty} \int_{-\infty}^{\infty} \varphi_0^2 f_2(\omega, \tau_0) f_2(\omega, \tau_0) e^{i\omega(t_1 - t_2)} dt_1 dt_2$$

$$= \frac{1}{d\tau_0^2} \int_{-\infty}^{\infty} \int_{-\infty}^{\infty} \varphi_0^2 f_2(\omega, \tau_0) f_2(\omega, \tau_0) e^{i\omega(t_1 - t_2)} dt_1 dt_2$$

- непрерывная часть спектральной плотности. В выражениях (23) - (25) присутствует  $F_2(\omega, \tau_0)$  - преобразование Фурье для  $f_2(t, \tau_0)$ .

В результате проведенного моделирования процесса автоэмиссии в рамках мерковской схемы "рождения" и "гибели" ЦАЭ определена связь статистических характеристик тока с микропараметрами аппроксимированного процесса. Последние могут быть связаны с независимыми характеристиками катода [14] - временем жизни эммиттера, временем существования определенного числа ЦАЭ.



Приближения введенной статистической структурно-эмиссионной модели катода приводят к фликкерному спектру флуктуаций автосмиссионного тока с зависимостью от частоты  $\sim 1/\omega^2$ .

#### Л и т е р а т у р а

1. Бакхизин Р.З., Гоц С.С. Фликкер-шум в полупроводниковых автокатадах // Изв. вузов. Радиофизика. 1981. Т. 24. № 10. С. 1276-1281.
2. Бакхизин Р.З., Гоц С.С., Ильясов Р.Г. Исследование шумовых и покрытых кислородом поверхностей монокристалла германия методом фликкер-шума // 18-я Всесо. конф. по эмиссионной электронике. М., 1981. С. 290.
3. *Kasper E. Field electron emission system // Advances in optical and electron microscopy, 1982, Vol. 9, p. 207-260.*
4. Бондаренко Б.В. Состояние и некоторые пути дальнейшего развития автосмиссионной электроники // Радиотехника и электроника. 1983. Т. 28. № 12. С. 2305-2312.
5. Литвинов Е.А., Мясц Г.А., Проскуровский Д.И. Автоэмиссионные и взрывоэмиссионные процессы при вакуумных разрядах // УЭН. 1983. Т. 139. № 2. С. 265-302.
6. Васильевская К.В., Васильевский М.А., Ройбе И.М., Энгелько В.И., Яковлев С.П., Якин Е.Г. Исследование многоострийного катода с эмиттерами из графитовых волокон в длительных импульсно-периодических режимах // ЭТФ. 1984. Т. 54. № 7. С. 1315-1319.
7. *Swenson L.H. Current fluctuations from vacuum crystal faces of deuterium target field emitter // J. Appl. Phys. 1978. V. 70. P. 165-180.*
8. Баруча-Фид А.Г. Элементы теории марковских процессов и их приложения. М., 1969.
9. Рытов С.М. Введение в статистическую радиофизику. М., 1976. Ч. I.
10. Малахов А.Н. Флуктуации в автоколебательных системах. М., 1968.
11. Козырев А.Б., Королев В.Д., Месля Г.А. Автоэмиссионные процессы и переход от тлеющего разряда к дуговому // ЭТФ. 1987. Т. 57. № 1. С. 58-64.
12. Ван дер Зил. Шум при измерениях. М., 1973.
13. Горяинов В.Т., Курячев А.Г., Тухонов В.И. Примеры и задачи по статистической радиотехнике. М., 1970.
14. Голубенцев А.Ф., Строткин О.Л., Лемисов В.И. Марковская модель фликкерного зрэнкта // ЭТФ. 1983. Т. 53. № 7. С. 1420-1422.

#### С О Д Е Р Ж А Н И Е

##### Теоретические исследования

- Аникин В.М., Голубенцев А.Ф. О статистическом описании рельефов квазипериодических радиофизических и оптических структур . . . . . 3  
 Скапцов А.А. Определение термостативных параметров разрушения динамическим нагружением . . . . . 12  
 Шаповалов А.С. Исследование шумов твердотельного СВЧ генератора в режиме синхронизации . . . . . 16  
 Гольдман С.Д., Денисов К.И., Минкин Л.М. К вопросу об установлении стационарного режима диффузии газа в твердом теле . . . . . 29  
 Цамбалов Г.М. Вычисление эффективного коэффициента теплопроводности для перфорированной цилиндрической оболочки . . . . . 31  
 Мокеев С.А., Дацковский В.А. Трехмерная нелинейная модель анализа теплового режима В4 пакета со спиральной замедляющей системой . . . . . 36
- Экспериментальные исследования
- Шаповалов А.С. Экспериментальные исследования и обобщенная модель неоднородного термостатива . . . . . 43  
 Гольдман С.Д., Макаров В.П., Минкин Л.М., Мясников Н.Г. Определение микроструктурных параметров пористого тела, характеризующих его диффузионную газопроницаемость . . . . . 61  
 Малозетов В.А., Гангнус Д.С., Артемьев В.Н. Диагностика плазмы с помощью открытого сендционированного резонатора . . . . . 64  
 Аникин В.М., Голубенцев А.Ф. О спектре флуктуаций автоэмиссионного тока . . . . . 73

ВОПРОСЫ ПРИКЛАДНОЙ ФИЗИКИ

Флуктуационные и диссипативные системы

Межузловский научный сборник

Выпуск I

Редактор И.В. Дарава  
Технический редактор Н.И. Добровольская  
Корректор Л.В. Володина  
И/К

---

Подписано к печати 14.06.89. Шр. 43344.  
Формат 60 x 84 I/16. Бумага типографская № 2. Печать офсетная.  
Усл. печ. л. 4,65 (5). Уч.-изд. л. 4,5. Тираж 300 экз.  
Заказ 5590 Цена 70к.

---

Издательство Саратовского университета.  
410601, Саратов, Университетская, 42  
ООП Управление статистики, 410830, Саратов, Саго и Венцетти,  
54/60.